

การแปลความยาวคลื่นโดยใช้เกรตติงใยแก้วนำแสง



นายทินกร นีวันติ
นายอรรถสิทธิ์ ปิพาสันต์

เลขหมู่.....
เลขทะเบียน...43949
วัน, เดือน, ปี 18 ต.ค. 2545

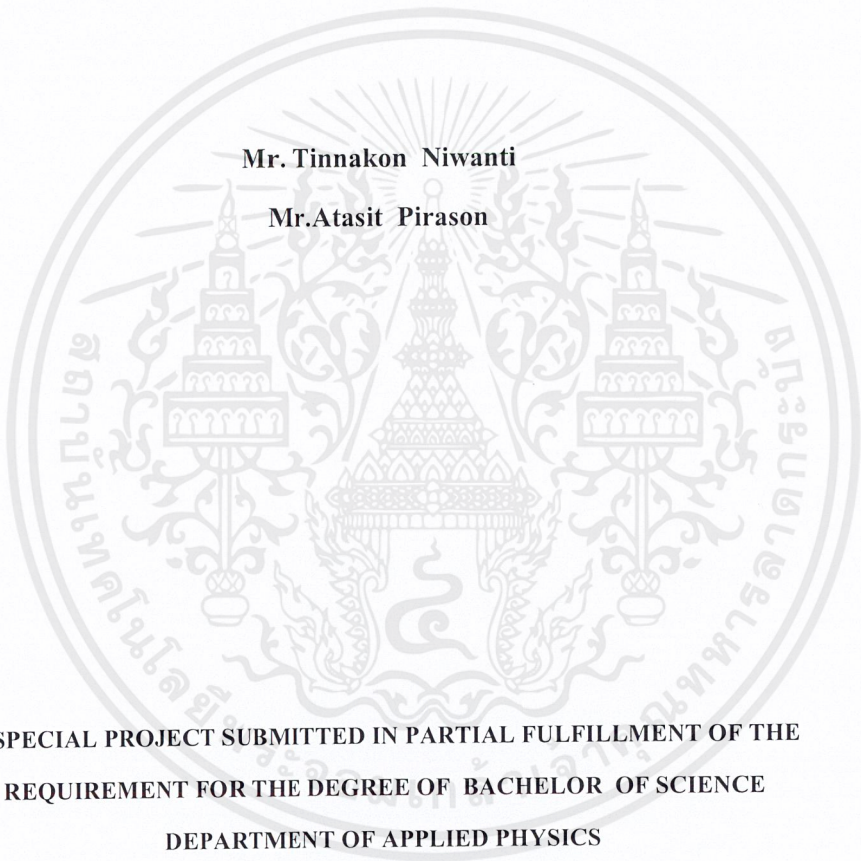
b.....
i.....

โครงการพิเศษนี้เป็นส่วนหนึ่งของการศึกษาตามหลักสูตรปริญญาวิทยาศาสตรบัณฑิต
สาขาวิชาฟิสิกส์ประยุกต์
คณะวิทยาศาสตร์
สถาบันเทคโนโลยีพระจอมเกล้าเจ้าคุณทหารลาดกระบัง
ปีการศึกษา 2544

Wavelength Converter Using Fiber Bragg Device

Mr. Tinnakon Niwanti

Mr. Atasit Pirason



A SPECIAL PROJECT SUBMITTED IN PARTIAL FULFILLMENT OF THE
REQUIREMENT FOR THE DEGREE OF BACHELOR OF SCIENCE
DEPARTMENT OF APPLIED PHYSICS
FACULTY OF SCIENCE
KING MONGKUT'S INSTITUTE OF TECHNOLOGY LADKRABANG

2001

เอกสารนี้เป็นเอกสารที่สงวนไว้สำหรับการใช้งานเพื่อการศึกษาเท่านั้น ไม่อนุญาตให้นำไปใช้ประโยชน์ด้านการค้า
ไม่ว่ากรณีใดๆ ทั้งสิ้น อีกทั้งห้ามมิให้ดัดแปลงเนื้อหาและต้องอ้างอิงถึงเจ้าของเอกสารทุกครั้งที่มีการนำไปใช้

หัวข้อโครงการพิเศษ การแปลงความยาวคลื่นโดยใช้เกรตติงใยแก้วนำแสง
โดย นายทินกร นรินทร์
 นายอรรถสิทธิ์ ปิพาสันต์
ภาควิชา ฟิสิกส์ประยุกต์
อาจารย์ที่ปรึกษา รองศาสตราจารย์ ดร.ปรีชา ยูพาพิน
 อาจารย์ ภารุจ บัณฑิตดาวิทย์

ภาควิชาฟิสิกส์ประยุกต์ คณะวิทยาศาสตร์ สถาบันเทคโนโลยีพระจอมเกล้าเจ้าคุณทหาร
ลาดกระบัง อนุมัติให้นำโครงการพิเศษฉบับนี้เป็นส่วนหนึ่งของการศึกษาตามหลักสูตรวิทยา
ศาสตร์บัณฑิต

(ผู้ช่วยศาสตราจารย์ วิชาญ เดชิตธีระ)

หัวหน้าภาควิชา

(รองศาสตราจารย์ ดร. ปรีชา ยูพาพิน)

ประธานกรรมการ

(อาจารย์ ภารุจ บัณฑิตดาวิทย์)

กรรมการ

(อาจารย์ สุรชาติ กมลดิถ)

กรรมการ

(อาจารย์ ภูมินทร์ จินดาจิวัฒน์)

กรรมการ

เอกสารนี้เป็นเอกสารที่สงวนไว้สำหรับการใช้งานเพื่อการศึกษาเท่านั้น ไม่อนุญาตให้นำไปใช้ประโยชน์ด้านการค้า
ไม่ว่ากรณีใดๆ ทั้งสิ้น อีกทั้งห้ามมิให้ดัดแปลงเนื้อหาและต้องอ้างอิงถึงเจ้าของเอกสารทุกครั้งที่มีการนำไปใช้

หัวข้อโครงการพิเศษ	การแปลงความยาวคลื่นโดยใช้เกรตติงใยแก้วนำแสง	
โดย	นายทินกร	นิวันติ
	นายอรรถสิทธิ์	ปิพาสันต์
อาจารย์ที่ปรึกษา	รศ.ดร.ปรีชา	ยุพาพิน
	อาจารย์ ภารุจ	บัณฑิตาวิทย์
ภาควิชา	ฟิสิกส์ประยุกต์	
ปีการศึกษา	2544	

บทคัดย่อ

โครงการพิเศษนี้เป็นการประยุกต์ใช้เกรตติงใยแก้วนำแสงในการเปลี่ยนความยาวคลื่นแสง โดยใช้การให้ความร้อนกับเกรตติงใยแก้วนำแสงแล้วใช้ผลของสัญญาณที่ทะลุผ่านออกจากเกรตติงใยแก้วนำแสงซึ่งเมื่ออุณหภูมิเพิ่มขึ้นค่าความยาวคลื่นกลางที่ผ่านออกมาก็จะมีค่าเพิ่มขึ้นซึ่งสามารถนำไปใช้ประโยชน์เป็นแหล่งกำเนิดใหม่ที่มีความยาวคลื่นกลางเปลี่ยนแปลงไปโดยใช้อุปกรณ์ติดตั้งเพิ่มเติมจากแหล่งกำเนิดเดิมหรือเซนเซอร์อุณหภูมิ

Special Project Title	Wavelength Converter Using Fiber Bragg Device	
Name	Mr.Tinnakon	Niwanti
	Mr.Atasit	Pirason
Special Project Advisors	Assoc.Prof. Dr.Preecha	Yupapin
	Mr.Parud	Buntitadavid
Department	Applied Physics	
Academic Year	2001	

ABSTRACT

This project presents the study of wavelength conversion technique using fiber grating as sensing unit, where system is aligned in the temperature controlled environment. The center wavelength of the output wavelength is change subjecting to the change in surrounding temperature. Results obtained have shown the potential of using such a system for wavelength converter or temperature sensor applications.

กิตติกรรมประกาศ

โครงการพิเศษฉบับนี้ข้าพเจ้ามีความภาคภูมิใจมากเนื่องจากเกิดจากกำลังปัญญา กำลังแรง และขาดเสียมิได้นั้นคือ กำลังทรัพย์ ที่ได้ทุ่มเทให้กับโครงการพิเศษฉบับสมบูรณ์เล่มนี้ แต่การกระทำใด ๆ จะสัมฤทธิ์นั้นจะต้องประกอบด้วยองค์ประกอบหลาย ๆ อย่างรวมเข้าไว้ด้วยกัน ดังนั้นข้าพเจ้าจะไม่สามารถกระทำโครงการพิเศษฉบับนี้สำเร็จมิได้ถ้าไม่ได้รับความกรุณาสำหรับ

บิดา มารดา ตายาย ผู้ให้กำเนิดชีวิตข้าพเจ้าและส่งเสริมให้ข้าพเจ้าได้เล่าเรียนจนถึงระดับนี้ รศ.ดร.ปรีชา ยูพาพิน อาจารย์ที่ปรึกษาโครงการพิเศษฉบับนี้ที่คอยให้คำปรึกษาและแนะนำเทคนิคต่างๆ

อาจารย์ผู้มีส่วนเกี่ยวข้องทุกท่าน ที่ให้ความช่วยเหลือในหลายๆด้าน เพื่อนๆ ภาควิชาฟิสิกส์ทุกคนสำหรับความร่วมมือทั้งด้านกำลังกายและกำลังใจ สุดท้ายนี้ข้าพเจ้าขอให้ผลแห่งความดีทั้งหมดที่ทุกท่านให้การช่วยเหลือข้าพเจ้าในการทำโครงการพิเศษฉบับนี้จงคลบนันดาลให้ทุกท่านประสบแต่ความสุขความเจริญ

นายทินกร นีวันติ
นายอรรถสิทธิ์ ปิฬาสันต์

สารบัญตาราง

หน้า

ตารางที่ 2.1 แสดงคุณลักษณะหัวข้อ เอสซี,เอสที และ เอฟซี.....30



สารบัญภาพ

หน้า

บทที่ 2 ทฤษฎีและหลักการ

รูปที่ 2.1 แสดงลักษณะหน้าคลื่น.....	5
รูปที่ 2.2 แสดงโครงสร้างของใยแก้วนำแสง.....	6
รูปที่ 2.3 แสดงลักษณะของใยแก้วนำแสง.....	7
รูปที่ 2.4 แสดงการสะท้อนกลับหมด.....	7
รูปที่ 2.5 แสดงรังสีของแสงตามกฎของสเนลล์.....	8
รูปที่ 2.6 แสดงลักษณะของดัชนีหักเหแบบต่าง ๆ.....	10
รูปที่ 2.7 แสดงใยแก้วนำแสงโหมดเดียวชนิดขั้นบันได.....	11
รูปที่ 2.8 แสดงใยแก้วนำแสงหลายโหมดชนิดขั้นบันได.....	11
รูปที่ 2.9 แสดงใยแก้วนำแสงแบบมน.....	12
รูปที่ 2.10 การเชื่อมต่อใยแก้วนำแสง.....	13
รูปที่ 2.11 เกรตติงที่เกิดจากการแทรกสอดของแสงอัลตราไวโอเล็ต 2 ลำ.....	14
รูปที่ 2.12 เกรตติงที่เกิดจากการยิงแสงเลเซอร์กระทบปลายเปิดหลายช่อง.....	14
รูปที่ 2.13 แสดงโครงสร้างภายในเส้นใยแก้วนำแสงของเซนเซอร์แบบแบรคเกรตติง.....	15
รูปที่ 2.14 แสดงลักษณะ เลนส์ดัชนีหักเหแบบมน (GRIN).....	16
รูปที่ 2.15 แสดงการรวมแสงเข้าสู่ใยแก้วนำแสง.....	17
รูปที่ 2.16 แสดงพัลส์ของแสงที่เดินทางไปและกลับภายในสายสัญญาณ.....	18
รูปที่ 2.17 แสดงการเดินทางย้อนกลับของแสงภายในเส้นใยแก้วนำแสงเนื่องจากการ กระเจิงกลับแบบเรย์ลี และการสะท้อนแบบเฟรสเนล.....	20
รูปที่ 2.18 แสดงการกระเจิงกลับของแสง.....	21
รูปที่ 2.19 แสดงรูปแบบการตรวจวัดบนหน้าจอดีอาร์.....	22
รูปที่ 2.20 แผนภาพต่อไปนี้แสดงโครงสร้างทั่วไปของระบบเครื่องดีอาร์.....	23
รูปที่ 2.21 แสดงการขยายมาตราส่วนบนหน้าจอดีอาร์.....	24
รูปที่ 2.22 แสดงการเชื่อมต่อใยแก้วนำแสงเชิงกลแบบต่าง ๆ.....	25
รูปที่ 2.23 แสดงการเชื่อมต่อแบบหลอมรวม.....	26
รูปที่ 2.24 แสดงการหลอมรวมแบบแอตไอดี.....	27
รูปที่ 2.25 แสดงการหลอมรวมในกรณีที่ต้องการเชื่อมต่อเส้นใยแก้วนำแสงหลาย ๆ เส้นพร้อมกัน (Ribbon Fiber) ซึ่งทำให้สามารถทำงานได้รวดเร็วขึ้นด้วย.....	27
รูปที่ 2.26 แสดงหัวต่อเอฟซี (FC).....	28
รูปที่ 2.27 แสดงหัวต่อเอสที (ST).....	29

เอกสารนี้เป็นเอกสารที่สงวนไว้สำหรับการใช้งานเพื่อการศึกษาเท่านั้น ไม่อนุญาตให้นำไปใช้ประโยชน์ด้านการค้า
ไม่ว่ากรณีใดๆ ทั้งสิ้น อีกทั้งห้ามมิให้คัดแปลงเนื้อหา และต้องอ้างอิงถึงเจ้าของเอกสารทุกครั้งที่มีการนำไปใช้

สารบัญญภาพ(ต่อ)

หน้า

รูปที่ 2.28 แสดงหัวต่อเอสซี (SC).....	29
รูปที่ 2.29 แสดงหัวต่อเอฟดีดีไอ (FDDI).....	30
รูปที่ 2.30 แสดงหัวต่อเอสเอ็มเอ (SMA)	31

บทที่ 3 การวิจัยและการดำเนินงาน

รูปที่ 3.1 แสดงระบบชุดการทดลอง.....	32
รูปที่ 3.2 แสดงสเปกตรัมการทะลุผ่าน.....	33
รูปที่ 3.3 แสดงไดอะแกรมโมนโคโรเมเตอร์.....	33
รูปที่ 3.4 แสดงการส่งคลื่นแสงจากเครื่องโอทีดีอาร์.....	34
รูปที่ 3.5 แสดงการจัดระบบการทดลอง.....	36
รูปที่ 3.6 แสดงการต่อใยแก้วนำแสงที่จับยึดโดยตัวจับยึดใยแก้วนำแสง เลนส์ โมนโคโรเมเตอร์ ดีเทคเตอร์.....	37
รูปที่ 3.7 แสดงการร้อยเกรตติงใยแก้วนำแสงผ่านหลอดแก้ว.....	37
รูปที่ 3.8 แสดงรูปสัญญาณที่วัดได้จากออสซิลโลสโคป.....	38
รูปที่ 3.9 แสดงการจับยึดเส้นไฟเบอร์โดยใช้ตัวจับยึดใยแก้วนำแสง ที่ปลายหลอดแก้วและที่ชุดติดตั้งเลนส์.....	38

บทที่ 4 ผลการวิจัยและวิจารณ์

รูปที่ 4.1 แสดงกราฟความยาวคลื่นกับความเข้มแสงที่อุณหภูมิ 25 องศาเซลเซียสครั้งที่ 1.....	41
รูปที่ 4.2 แสดงกราฟความยาวคลื่นกับความเข้มแสงที่อุณหภูมิ 30 องศาเซลเซียสครั้งที่ 1.....	41
รูปที่ 4.3 แสดงกราฟความยาวคลื่นกับความเข้มแสงที่อุณหภูมิ 40 องศาเซลเซียสครั้งที่ 1.....	42
รูปที่ 4.4 แสดงกราฟความยาวคลื่นกับความเข้มแสงที่อุณหภูมิ 50 องศาเซลเซียสครั้งที่ 1.....	42
รูปที่ 4.5 แสดงกราฟความยาวคลื่นกับความเข้มแสงที่อุณหภูมิ 25 องศาเซลเซียสครั้งที่ 2.....	43
รูปที่ 4.6 แสดงกราฟความยาวคลื่นกับความเข้มแสงที่อุณหภูมิ 30 องศาเซลเซียสครั้งที่ 2.....	43
รูปที่ 4.7 แสดงกราฟความยาวคลื่นกับความเข้มแสงที่อุณหภูมิ 40 องศาเซลเซียสครั้งที่ 2.....	44
รูปที่ 4.8 แสดงกราฟความยาวคลื่นกับความเข้มแสงที่อุณหภูมิ 50 องศาเซลเซียสครั้งที่ 2.....	44
รูปที่ 4.9 แสดงกราฟแอมพลิจูดของแสงที่ความยาวคลื่นต่าง ๆ ที่ 25,30,40,50 องศาเซลเซียส ครั้งที่ 1.....	45
รูปที่ 4.10 แสดงกราฟแอมพลิจูดของแสงที่ความยาวคลื่นต่าง ๆ ที่ 25,30,40,50 องศาเซลเซียส ครั้งที่ 2.....	46

เอกสารนี้เป็นเอกสารที่สงวนไว้สำหรับการใช้งานเพื่อการศึกษาเท่านั้น ไม่อนุญาตให้นำไปใช้ประโยชน์ด้านการค้า
ไม่ว่ากรณีใดๆ ทั้งสิ้น อีกทั้งห้ามมิให้ดัดแปลงเนื้อหาหรือข้อมูลต้องอ้างอิงถึงเจ้าของเอกสารทุกครั้งที่มีการนำไปใช้

สารบัญ

	หน้า
บทคัดย่อภาษาไทย.....	ก
บทคัดย่อภาษาอังกฤษ.....	ข
กิตติกรรมประกาศ.....	ค
สารบัญตาราง.....	ง
สารบัญรูป.....	จ
บทที่ 1 บทนำ	
1.1 ความสำคัญและความเป็นมาของโครงการพิเศษ.....	1
1.2 วัตถุประสงค์ของการทำโครงการพิเศษ.....	2
1.3 ขอบเขตของโครงการพิเศษ.....	2
1.4 ประโยชน์ที่ได้รับจากโครงการพิเศษ.....	3
บทที่ 2 ทฤษฎีและหลักการ	
2.1 ธรรมชาติของแสง.....	4
2.2 โยแก้วนำแสง.....	5
2.3 เกรตติงโยแก้วนำแสง.....	13
2.4 การส่งแสงเข้าไปในโยแก้วนำแสง.....	16
2.5 อุปกรณ์แหล่งกำเนิดแสง.....	17
2.6 เครื่องตรวจสอบเส้นโยแก้วนำแสงโอทีดีอาร์.....	17
2.7 การเชื่อมต่อเส้นโยแก้วนำแสง.....	25
บทที่ 3 การวิจัยและการดำเนินงาน	
3.1 การจัดการทดลอง.....	32
3.2 วิธีการทดลอง.....	39

สารบัญ(ต่อ)

หน้า

บทที่ 4 ผลการวิจัยและวิจารณ์

4.1 ผลการวิจัย.....	40
4.2 วิจารณ์.....	48

บทที่ 5 สรุปผลการวิจัยและข้อเสนอแนะ

5.1 สรุปผลการวิจัย.....	49
5.2 ข้อเสนอแนะ.....	49
5.3 แนวทางในการพัฒนา.....	49
5.4 ประโยชน์ที่ได้จากการวิจัย.....	50
ภาคผนวก.....	51
เอกสารอ้างอิง.....	60
ประวัติผู้เขียน.....	61

บทที่ 1

บทนำ

1.1 ความสำคัญและความเป็นมาของโครงการพิเศษ

จากความเจริญก้าวหน้าทางเศรษฐกิจและสังคม ทำให้มีความต้องการในการแลกเปลี่ยนข่าวสารและข้อมูลเพิ่มขึ้น เพื่อเป็นการตอบสนองต่อความต้องการทั้งปัจจุบันและอนาคต ระบบสื่อสารด้วยแสง (Optical Communication System) ซึ่งสามารถส่งข้อมูลข่าวสารต่าง ๆ ได้เป็นจำนวนมากในเวลาเดียวกันจึงได้ถูกนำมาใช้กันอย่างแพร่หลาย

ระบบการสื่อสารด้วยใยแก้วนำแสงเมื่อเปรียบเทียบกับระบบการสื่อสารที่ใช้สายเคเบิลที่ทำด้วยโลหะและมีข้อดีต่าง ๆ ที่เกิดจากคุณสมบัติของใยแก้วนำแสงมีดังนี้คือ

- 1.แบนด์วิดท์ (Bandwidth) ที่กว้างขึ้น กล่าวคือ การใช้คลื่นพาห้มีความถี่สูงในระบบสื่อสารทำให้ได้แบนด์วิดท์ (Bandwidth) ของสัญญาณกว้างมากขึ้น การสื่อสารด้วยใยแก้วนำแสงนั้นขึ้นกับคลื่นพาห้ที่มีความถี่อยู่ในช่วง 10^{13} ถึง 10^{14} เฮิร์ตซ์ (Hz) เมื่อเปรียบเทียบกับความถี่ของคลื่นวิทยุซึ่งมีความถี่ 10^6 ถึง 10^9 เฮิร์ตซ์ (Hz) แล้วจะเห็นว่าแบนด์วิดท์ (Bandwidth) ของสัญญาณกว้างขึ้นถึงประมาณ 10^6 หรือ 1 ล้านเท่า
- 2.ขนาดเล็กและน้ำหนักเบา ใยแก้วนำแสงเพียงเส้นเดียวสามารถแทนคู่สายทองแดงขนาดใหญ่แต่ละคู่ได้เช่น สายเคเบิลทางโทรศัพท์ที่มี 1000 คู่สายมีขนาดเส้นผ่านศูนย์กลางประมาณ 7 ถึง 10 เซนติเมตร จะสามารถใช้เคเบิลใยแก้วนำแสงเพียงเส้นเดียวที่มีเส้นผ่านศูนย์กลาง 1.5 เซนติเมตร แทนในการส่งช่องสัญญาณจำนวนที่เท่ากันได้
- 3.การสูญเสียต่ำใยแก้วนำแสงมีค่าการสูญเสียเนื่องจากการลดทอนน้อยกว่าสายเกลียวคู่ (Twisted Pair) หรือ หุ้มฉนวน (Coaxial Cable)
- 4.ไม่ถูกรบกวนจากคลื่นแม่เหล็กไฟฟ้าเนื่องจากใยแก้วนำแสงไม่ได้สร้างจากเส้นลวดโลหะเหมือนสายเคเบิลโลหะแต่สร้างจากแก้ว (Glass) หรือซิลิคอน (Silicon) ดังนั้นจึงไม่ถูกรบกวนโดยคลื่นแม่เหล็กไฟฟ้า และไม่ต้องใช้เทคนิคป้องกันด้วยวิธีการชิลด์ (Shield) ที่มีราคาแพงแล้วยุ่งยากเพื่อการป้องกันการรบกวนจากสนามแม่เหล็กไฟฟ้า
- 5.คงทนและไม่ถูกรบกวนโดยสภาพดินฟ้าอากาศ แก้วหรือซิลิคอนมีความแข็งกว่าโลหะถึง 20 เท่าโดยที่ซิลิคอนหรือแก้วก็เป็นธาตุเนื้อแข็งนั้นสภาพแวดล้อมจึงมีผลน้อยกว่าการใช้งานสายที่ทำด้วยโลหะ

6. มีความปลอดภัย ในระบบสายโลหะจำเป็นต้องป้องกันอันตรายให้กับอุปกรณ์หรือมนุษย์ จากไฟฟ้าลัดวงจร ระหว่างสายหรือระหว่างสายกับสายดินซึ่งเมื่อใช้เส้นใยแก้วนำแสงแล้วจะไม่มีปัญหาเกี่ยวกับสิ่งเหล่านี้

7. ราคาถูก ราคาของเส้นใยแก้วนำแสงในปัจจุบันมีราคาต่ำลงเรื่อย ๆ ในขณะที่ราคาของสายโลหะมีราคาเพิ่มมากขึ้นในทางปฏิบัติ ทุกวันนี้ราคาของการออกแบบระบบที่ใช้ใยแก้วนำแสงมีราคาต่ำกว่าระบบแบบใช้โลหะ

ในการสื่อสารเชิงพาณิชย์นั้นจำเป็นต้องส่งข้อมูลให้ได้ครั้งละมากๆ จึงต้องมีการใช้แหล่งกำเนิดแสงในการส่งแสงที่มีความถี่หลายค่าไปด้วยแต่ในการนำไปใช้งานนั้นเราจะไม่สามารถนำไปใช้งานได้ เนื่องจากการปรับแหล่งกำเนิดแสงเป็นเรื่องที่ยากมาก ๆ ดังนั้นจึงได้มีการพัฒนาการปรับความยาวคลื่น (λ ; มีความสัมพันธ์กับความถี่ตามสมการ $C = \lambda f$ ซึ่งการที่เราปรับความยาวคลื่นนั้นก็เสมือนว่าเรามีการปรับความถี่นั่นเอง) ซึ่งอุปกรณ์ชนิดนี้เรียกว่า การแปลงความยาวคลื่น (Wavelength Converter) โดยที่การปรับความยาวคลื่นนั้นก็จะมีหลากหลายชนิดวิธีที่แตกต่างกันออกไปแต่ในโครงการพิเศษฉบับนี้จะใช้เกรตติงใยแก้วนำแสง (Bragg Grating) ซึ่งจะสามารถปรับความยาวคลื่นได้ในระดับนาโนเมตร (nm) ทั้งยังสามารถนำไปประยุกต์ใช้กับแหล่งกำเนิดแสงทุกความยาวคลื่น

1.2 วัตถุประสงค์ของการทำโครงการพิเศษ

1. ศึกษาวิธีการและสามารถบังคับให้ปรับจูนความยาวคลื่นให้มีช่วงความยาวคลื่นที่เป็น FWHM (Full Width at Half Maximum) ที่แคบ ๆ ได้
2. สามารถปรับความยาวคลื่นที่จะส่งเข้าไปในสายใยแก้วนำแสงให้มีความละเอียดมากขึ้นซึ่งวิธีการนี้จะไม่สามารถปรับแต่งได้จากแหล่งกำเนิดแสงอื่น ๆ
3. สามารถแยกสัญญาณที่ส่งผ่านมาจากแหล่งกำเนิดคลื่นซึ่งมีหลายความยาวคลื่น โดยใช้แบรกกเรตติง (Bragg Grating) ให้ได้สัญญาณเอาต์พุตที่ออกมาจะมีความยาวคลื่นเพียงค่าเดียวและทำให้เกิดสัญญาณรบกวนน้อยที่สุดในค่าความยาวคลื่นนั้น ๆ
4. ศึกษากระบวนการวัดอุณหภูมิโดยการใส่เกรตติงใยแก้วนำแสง
5. สามารถประยุกต์ใช้คุณสมบัติของเกรตติงใยแก้วนำแสงในการใช้เปลี่ยนความยาวคลื่นกลางแสงจากแหล่งกำเนิดได้

1.3 ขอบเขตของโครงการพิเศษ

1. ศึกษาหลักการและทฤษฎีทางแสงตลอดจนเกรตติงใยแก้วนำแสง (Fiber Bragg Grating) ที่เกี่ยวกับโครงการพิเศษ
2. ศึกษาคุณสมบัติของไฟเบอร์แต่ละชนิดที่จะใช้ในโครงการพิเศษ
3. ศึกษาหลักการของประมวลผลของสัญญาณทางแสง (signal processing)

เอกสารนี้เป็นเอกสารที่สงวนไว้สำหรับการใช้งานเพื่อการศึกษาเท่านั้น ไม่อนุญาตให้นำไปใช้ประโยชน์ด้านการค้าไม่ว่ากรณีใดๆ ทั้งสิ้น อีกทั้งห้ามมิให้ดัดแปลงเนื้อหาและต้องอ้างอิงถึงเจ้าของเอกสารทุกครั้งที่มีการนำไปใช้

1.4 ประโยชน์ที่ได้รับจากโครงงานพิเศษ

โครงงานพิเศษนี้จะเป็นการประยุกต์เกรตติงใยแก้วนำแสง (Fiber Bragg Grating) อีกรูปแบบหนึ่งที่จะนำมาใช้เป็นการแปลงความยาวคลื่น (Wavelength converter) เพื่อเปลี่ยนความยาวคลื่นที่ใกล้เคียงกันเพื่อประยุกต์ใช้ในงานสื่อสารทางแสงและสามารถออกแบบให้ใช้กับความยาวคลื่นช่วงต่าง ๆ ได้อย่างหลากหลาย



เอกสารนี้เป็นเอกสารที่สงวนไว้สำหรับการใช้งานเพื่อการศึกษาเท่านั้น ไม่อนุญาตให้นำไปใช้ประโยชน์ด้านการค้า ไม่ว่าจะกรณีใดๆ ทั้งสิ้น อีกทั้งห้ามมิให้ดัดแปลงเนื้อหาและต้องอ้างอิงถึงเจ้าของเอกสารทุกครั้งที่มีการนำไปใช้

บทที่ 2

ทฤษฎีและหลักการ

2.1 ธรรมชาติของแสง

แสงเป็น “พลังงาน” ที่สามารถทำให้ประสาทตาของคนปกติเกิดความรู้สึกในการมองเห็นและสามารถเปลี่ยนรูปไปเป็นพลังงานในรูปแบบอื่นได้ ในราวกลางศตวรรษที่ 17 นั้น คนทั่วไปเชื่อว่าแสงประกอบด้วยลำของอนุภาคเล็ก ๆ โดยถูกปล่อยออกมาจากแหล่งกำเนิดแสง เช่น ดวงอาทิตย์ โดยอนุภาคเล็ก ๆ เหล่านี้จะเคลื่อนที่ออกจากแหล่งกำเนิดแสงเป็นแนวเส้นตรง และจะผ่านวัตถุโปร่งแสงไปได้ แต่ถ้าตกกระทบวัตถุทึบแสงจะสะท้อนกลับมาและเมื่ออนุภาคเล็ก ๆ เหล่านี้กระทบกับดวงตาจะทำให้เราสามารถมองเห็นวัตถุได้ และสามารถที่จะใช้เป็นทฤษฎีของอนุภาคนี้อธิบายการเดินทางเป็นเส้นตรง การสะท้อนกลับจากผิวเรียบเช่น กระจกเงา ด้วยมุมสะท้อนเท่ากับมุมตกกระทบ และการหักเหเมื่อเคลื่อนผ่านตัวกลางชนิดหนึ่งไปยังอีกตัวกลางหนึ่ง

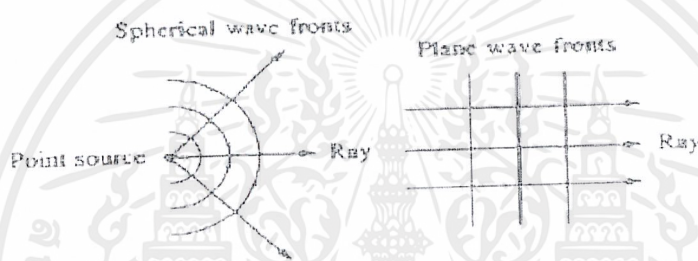
ในขณะที่เดียวกันนั้นนักวิทยาศาสตร์เกิดความคิดว่า แสงบางที่อาจจะไม่ได้ประกอบด้วยอนุภาคเล็ก ๆ อย่างเดียวแต่อาจจะเป็นคลื่นก็ได้ เขาก็คือ ฮอยเกนส์ (Huygens) อธิบายว่า กฎการสะท้อนและการหักเหสามารถอธิบายได้ด้วยทฤษฎีคลื่น และยังสามารถอธิบายปรากฏการณ์ใหม่ได้อีกด้วย เช่น การหักเหเชิงซ้อน แต่ในขณะนั้นยังไม่มีใครเชื่อและมีข้อขัดแย้งที่ว่า ถ้าแสงเคลื่อนที่เป็นคลื่นจริงแล้วก็ย่อมสามารถมองเห็นแสงอ้อมผ่านมุมห้องได้ทั้งนี้เพราะว่าคลื่นนั้นสามารถอ้อมผ่านวัตถุได้ อย่างไรก็ตามความยาวช่วงคลื่นของคลื่นแสงนั้นสั้นมากซึ่งแม้แสงจะสามารถหักเหผ่านสิ่งกีดขวางได้ก็ตามก็ยังไม่สามารถเห็นได้ ผู้สังเกตเห็นปรากฏการณ์อันนี้คือ กริมาลดี (Grimaldi) และเรียกปรากฏการณ์นี้ว่าการเลี้ยวเบนของแสง (diffraction of light)

ในปี ค.ศ. 1827 ยู้ง (Young) และเฟรสเนล (Fresnel) ได้ทำการทดลองเกี่ยวกับเรื่องการแทรกสอด (interference) และการวัดความเร็วของคลื่นแสงในของเหลว ซึ่งการทดลองนี้แสดงให้เห็นว่าการใช้ทฤษฎีของอนุภาคอย่างเดียวไม่เพียงพอ ต้องใช้ปรากฏการณ์แทรกสอดและเลี้ยวเบนของแสงอธิบายด้วย ต่อมา แมกซ์เวลล์ (Maxwell) ได้พิสูจน์ให้เห็นว่าวัตถุสามารถสั่นได้จะต้องแผ่รังสีคลื่นแม่เหล็กไฟฟ้าออกมา ความเร็วในการเคลื่อนที่ของคลื่นสามารถคำนวณได้ประมาณ 3×10^8 เมตร/วินาที ซึ่งค่านี้จะเท่ากับความเร็วในการเคลื่อนที่ของแสงที่วัดได้จริง ๆ จากหลักฐานที่ได้นี้จึงยืนยันได้ชัดเจนว่าแสงเป็นคลื่นแม่เหล็กไฟฟ้า ซึ่งมีความยาวช่วงคลื่นสั้นมากภายหลังจากการทดลองของแมกซ์เวลล์ (Maxwell) แล้วต่อมาเฮิร์ตซ์ (Hertz) ได้ใช้วงจรกำเนิดความถี่สร้างคลื่นที่มีความยาวคลื่นสั้นมาก เรียกว่า ไมโครเวฟ (Microwave) และแสดงให้เห็นว่าคลื่นนี้มีคุณสมบัติของคลื่นแสงครบทุกประการ กล่าวคือ สะท้อน หักเห โพกัสไปรวมที่จุดหนึ่งโดยใช้เลนส์ได้และมีสมบัติการโพลาไรซ์ (Polarize) ได้เช่นเดียวกับคลื่นแสง

เอกสารนี้เป็นเอกสารที่สงวนไว้สำหรับการใช้งานเพื่อการศึกษาเท่านั้น ไม่อนุญาตให้นำไปใช้ประโยชน์ด้านการค้าไม่ว่ากรณีใดๆ ทั้งสิ้น อีกทั้งห้ามมิให้ดัดแปลงเนื้อหาและต้องอ้างอิงถึงเจ้าของเอกสารทุกครั้งที่มีการนำไปใช้

ในปีค.ศ. 1905 ไอน์สไตน์ ได้ตั้งสมมุติฐานไว้ว่า พลังงานของลำแสงแทนที่จะถูกปล่อยออกมาผ่านบรรยากาศในรูปของสนามแม่เหล็กและสนามไฟฟ้านี้กลับรวมกันเป็นกลุ่มก้อนเรียกว่า โฟตอน (Photon)

เมื่อแสงเป็นคลื่นแม่เหล็กไฟฟ้า ดังนั้นเพื่อความสะดวกจึงพิจารณาคลื่นแสงด้วยการพิจารณาหน้าคลื่น โดยมีแหล่งกำเนิดของคลื่นแสงเล็ก ๆ เป็นจุดศูนย์กลางรวมอยู่ที่ต้นกำเนิดตามรูป 2.1 ซึ่งแสดงคลื่นแม่เหล็กไฟฟ้าที่แผ่ออกมาด้วยหน้าคลื่นทรงกลม (spherical wave fronts) และจุดที่อยู่ห่างจากแหล่งกำเนิดแสงมาก ๆ รัศมีของหน้าคลื่นทรงกลมก็จะใหญ่มาก ดังนั้นจึงสามารถที่จะมองเห็นคลื่นที่อยู่ห่างจากจุดกำเนิดมาก ๆ นี้เป็นหน้าคลื่นระนาบ (plane wave fronts) จากแนวความคิดนี้จึงทำให้สะดวกมากในการมองรังสีของแสง เพราะรังสีจะแสดงการไหลของพลังงานในลำแสง



รูป 2.1 แสดงลักษณะหน้าคลื่น

2.2 โยแก้วนำแสง

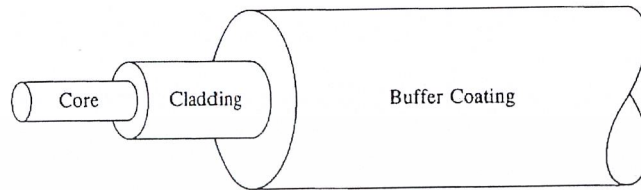
1. ประวัติความเป็นมาของโยแก้วนำแสง

การใช้แสงเป็นสื่อในการนำสัญญาณแล้วส่งไปในตัวกลางต่าง ๆ นั้น ได้เริ่มขึ้นจากที่นักวิทยาศาสตร์ชาวอังกฤษชื่อ จอห์น ทินดัล (John Tyndall) ได้พบว่า แสงสามารถส่งผ่านไปตามลำน้ำได้ ตั้งแต่ พ.ศ. 2413 จากจุดเริ่มต้นนี้ก็ได้รับความพยายามกันเป็นเวลานานที่จะทำให้ปรากฏการณ์นี้มีประโยชน์ในทางปฏิบัติให้ได้ จนกระทั่งปี พ.ศ. 2503 ก้าวสำคัญของการเปลี่ยนแปลงก็มาถึงเมื่อมีการทดลองใช้เลเซอร์เป็นครั้งแรก ต่อมาในปี พ.ศ. 2509 ก็มีนักวิทยาศาสตร์สองคนของสหราชอาณาจักรชื่อ ฮอคแคม (GA Hockham) และเกา (C.C. Kao) ได้ทำการศึกษาวิจัยว่าตัวกลางที่ทำด้วยโยแก้วนำแสงสามารถส่งผ่านแสงได้ 1 เปรอร์เซ็นต์ ของแสงอินพุตด้วยระยะทาง 1 กิโลเมตร และตัวกลางนี้จะเป็นคู่แข่งที่สำคัญกับสายทองแดงหรือสายหุ้มฉนวน (Coaxial Cable) จากนั้นมาด้วยความก้าวหน้าทางวัสดุศาสตร์ จึงทำให้ปัจจุบันสามารถมีโยแก้วนำแสงที่มีการส่งผ่านแสงได้อย่างมีประสิทธิภาพ หรือมีการสูญเสียต่ำได้ โยแก้วนำแสงบางชนิดมีการสูญเสียต่ำมากเพียง 0.1 เดซิเบลต่อกิโลเมตร (dB/km) เท่านั้น

เอกสารนี้เป็นเอกสารที่สงวนไว้สำหรับการใช้งานเพื่อการศึกษาเท่านั้น ไม่อนุญาตให้นำไปใช้ประโยชน์ด้านการค้าไม่ว่ากรณีใดๆ ทั้งสิ้น อีกทั้งห้ามมิให้ดัดแปลงเนื้อหาและต้องอ้างอิงถึงเจ้าของเอกสารทุกครั้งที่มีการนำไปใช้

2. โครงสร้างของใยแก้วนำแสง (Fiber Optic Structure)

ส่วนประกอบของใยแก้วนำแสงประกอบด้วยส่วนสำคัญ คือ ส่วนที่เป็นแกนอยู่ตรงกลางหรือชั้นในแล้วหุ้มด้วยส่วนที่เป็นเคลด (Clad) แล้วฉุ่กหุ้มด้วยส่วนป้องกัน (Coating) โดยที่แต่ละส่วนนั้นทำด้วยวัสดุที่มีค่าดัชนีหักเหของแสงที่มีค่าแตกต่างกัน ทั้งนี้ก็เพราะต้องคำนึงถึงหลักการหักเหและสะท้อนกลับหมดของแสง



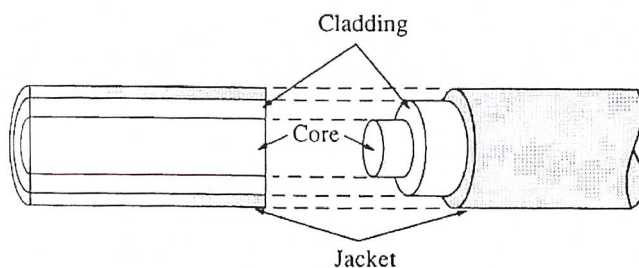
รูป 2.2 แสดงโครงสร้างของใยแก้วนำแสง

แกน: เป็นส่วนตรงกลางของเส้นใยแก้วนำแสงและเป็นส่วนนำแสงโดยดัชนีหักเหของแสงส่วนนี้ต้องมากกว่าของส่วนเคลด (Clad) แล้วลำแสงที่ผ่านไปภายในแกนจะถูกขังหรือเคลื่อนที่ไปตามเส้นใยแก้วนำแสงด้วยขบวนการสะท้อนกลับหมดภายใน

ส่วนป้องกัน: เป็นชั้นที่ต่อจากเคลด (Clad) ที่กันแสงจากภายนอกเข้าเส้นใยแก้วนำแสง และกันแสงจากเส้นใยแก้วนำแสงออกข้างนอก และยังไปใช้ประโยชน์เมื่อมีการเชื่อมต่อเส้นใยแก้วนำแสง โครงสร้างอาจจะประกอบไปด้วยชั้นของพลาสติกหลาย ๆ ชั้น นอกจากนั้นส่วนป้องกันยังทำหน้าที่เป็นตัวป้องกันการกระทำจากแรงภายนอกอีกด้วย ตัวอย่างของค่าดัชนีหักเห เช่น แกนมีค่าดัชนีหักเหประมาณ 1.48 ส่วนของเคลด (Clad) และส่วนป้องกันซึ่งทำหน้าที่ป้องกันแสงจากแกนออกจากภายนอกและป้องกันแสงภายนอกกรบกวนจะมีค่าดัชนีหักเหเป็น 1.46 และ 1.52 ตามลำดับ

3. คุณสมบัติของใยแก้วนำแสง

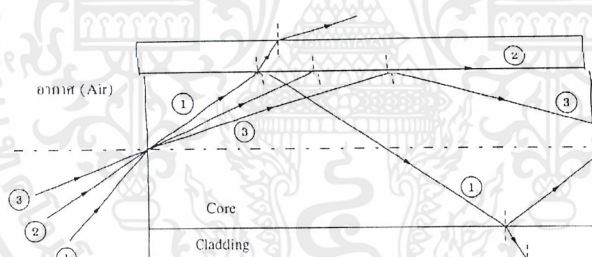
คุณสมบัติของใยแก้วนำแสงจะมีคุณสมบัติทั่ว ๆ ไป กล่าวคือ ส่วนประกอบที่สำคัญของใยแก้วนำแสงคือ แกน (core) และเคลดดิ้ง (cladding) และส่วนห่อหุ้ม (protective coating) ดังแสดงดังรูปที่ 2.3 โดยทั่ว ๆ ไปแล้วขนาดของแกนมีขนาดประมาณ 5 ถึง 50 ไมโครเมตร (μm) ทั้งนี้แล้วแต่เป็นใยแก้วนำแสงชนิดใด



รูป 2.3 แสดงลักษณะของใยแก้วนำแสง

3.1. การสะท้อนกลับหมดในใยแก้วนำแสง

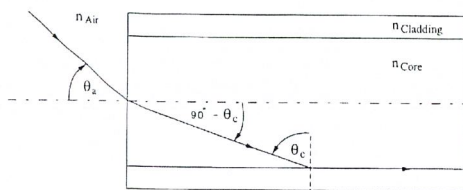
การสะท้อนกลับหมดของแสงในใยแก้วก็มีหลักการเช่นเดียวกับของแสงในตัวกลางอื่น ๆ ดังแสดงในรูปที่ 2.4 โดยหมายเลขแสดงรังสีของแสงเดินทางจากอากาศไปยังใยแก้วนำแสงเป็นหมายเลข แสดงว่าเป็นรังสีที่มาจากลำแสงเดียวกัน



รูปที่ 2.4 แสดงการสะท้อนกลับหมด

3.2. กรวยรับแสง (Acceptance Cone)

มุมรับแสง (acceptance angle , $2\theta_a$) คือมุมที่ฉายแสงเข้าไปยังแกนของใยแก้วนำแสงแล้วทำให้แสงที่ตกกระทบผิวรอยต่อระหว่างแกนกับเคลดดิ้งมีค่ามากกว่าหรือเท่ากับมุมวิกฤต ในกรณี 3 มิติ มุมรับแสงก็คือกรวยรับแสงดังรูป 2.5



รูป 2.5 แสดงรังสีของแสงตามทฤษฎีของสเนลล์

พิจารณาจากกฎของสเนลล์

$$\begin{aligned} n_{\text{Air}} \sin(\theta_a) &= n_{\text{core}} \sin(90^\circ - \theta_c) \\ \sin(\theta_a) &= n_{\text{core}} \cos(\theta_c) \\ \theta_c &= \sin^{-1} (n_{\text{core}} (1 - \sin^2(\theta_a))^{1/2}) \end{aligned} \quad (2.1)$$

พิจารณาที่ผิวรอยต่อระหว่างแกนและเคลดคิงจากกฎของสเนลล์จะได้

$$\begin{aligned} n_{\text{core}} \sin(\theta_c) &= n_{\text{clade}} \sin(90^\circ) \\ \sin(\theta_c) &= n_{\text{clad}} / n_{\text{core}} \end{aligned} \quad (2.2)$$

แทนค่าสมการ (2.2) ลงในสมการที่ (2.1)

$$\begin{aligned} \theta_a &= \sin^{-1} \{ n_{\text{core}} [1 - (n_{\text{clad}} / n_{\text{core}})^2]^{1/2} \} \\ \theta_a &= \sin^{-1} \{ [(n_{\text{core}})^2 - (n_{\text{clad}})^2]^{1/2} \} \end{aligned} \quad (2.3)$$

สมการ(2.3) เรียกว่าครึ่งมุมรับแสง (half acceptance angle)

3.3 ดัชนีหักเหสัมพัทธ์ (Relative Refractive Index Difference)

เป็นปริมาณที่แสดงค่าความแตกต่างของค่าดัชนีหักเหระหว่างแกนและเคลดคิงซึ่งมีค่าเท่ากับ

$$\Delta = (n_{\text{core}} - n_{\text{clad}}) / n_{\text{core}} \quad (2.4)$$

นิวเมอริคัลเอปอเจอร์ (Numerical Aperture)

เป็นปริมาณที่บอกถึงความสามารถในการรับแสง(light - collecting ability) ของใยแก้วนำแสงซึ่งมีค่าเท่ากับผลคูณระหว่างดัชนีหักเหของตัวกลางตกกระทบ (incident medium) กับค่าไซน์ (sine) ของครึ่งมุมรับแสง (half acceptance angle) พิจารณากรณีที่ตัวกลางตกกระทบเป็นอากาศ ($n_1 = 1$) จะได้

เอกสารนี้เป็นเอกสารที่สงวนไว้สำหรับการใช้งานเพื่อการศึกษาเท่านั้น ไม่อนุญาตให้นำไปใช้ประโยชน์ด้านการค้า ไม่ว่ากรณีใดๆ ทั้งสิ้น อีกทั้งห้ามมิให้ดัดแปลงเนื้อหาและต้องอ้างอิงถึงเจ้าของเอกสารทุกครั้งที่มีการนำไปใช้

$$NA = n_1 \sin(\theta_a) = [(n_{\text{core}})^2 - (n_{\text{clad}})^2]^{1/2} \quad (2.5)$$

เราสามารถแสดงค่า NA ในเทอมของ Δ ได้ดังนี้

จากสมการข้างต้น

$$NA = [(n_{\text{core}})^2 - (n_{\text{clad}})^2]^{1/2} = n_{\text{core}} \{(n_{\text{core}} + n_{\text{clad}})(n_{\text{core}} - n_{\text{clad}})/(n_{\text{core}})^2\}^{1/2} \quad (2.6)$$

เนื่องจากค่าดัชนีหักเหของแกนและเคลดดิ่งมีค่าใกล้เคียงกันดังนั้น $[(n_{\text{core}}) + n_{\text{clad}}] \approx 2n_{\text{core}}$ จะได้

$$NA = n_{\text{core}} \{(2n_{\text{core}})(n_{\text{core}} - n_{\text{clad}})/(n_{\text{core}})^2\}^{1/2}$$

$$NA = n_{\text{core}} (2\Delta)^{1/2} \quad (2.7)$$

จากสมการ(2.4) ถ้า $n_1=1$ แสดงว่า $NA \leq 1$

ถ้า NA มีค่ามากแสดงว่าใยแก้วนำแสงมีมุมรองรับแสงมากหรือแสงสามารถเดินทางในแกนของใยแก้วนำแสงได้มาก

จำนวนโหมดแสง (V- Number)

V-Number เป็นปริมาณที่ใช้บอกถึงจำนวนโหมดของแสงที่สามารถเดินทางในใยแก้วนำแสงได้โดยมีความสัมพันธ์คือ

$$V = [2\pi(a/\lambda)NA] \quad (2.8)$$

เมื่อ A คือรัศมีของแกน, λ คือความยาวคลื่นตามผลคลื่นแสง ถ้าค่า V-Number มีค่าน้อยกว่า 2.405 แสดงว่ามีเฉพาะแสงโหมดเดียวเท่านั้นที่สามารถเดินทางในแกนของใยแก้วนำแสงได้ ถ้ามีค่ามากกว่า 2.405 แสดงว่าแสงที่เดินทางในแกนของใยแก้วนำแสงมีลักษณะเป็นชนิดหลายโหมดหรือมัลติโหมดโดยสามารถหาจำนวนโหมดของแสงได้จากความสัมพันธ์ดังนี้

จำนวนโหมดในใยแก้วนำแสงแบบชั้นบันได คือ

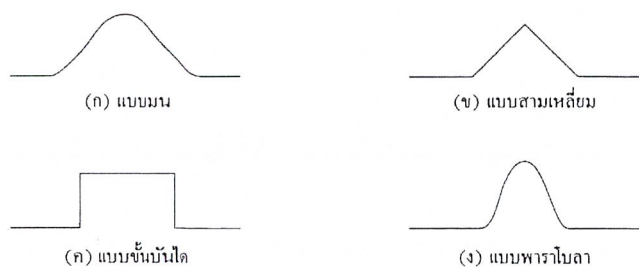
$$N = V^2 / 2 \quad (2.9)$$

จำนวนโหมดในใยแก้วนำแสงแบบมนคือ

$$N = V^2 / 4 \quad (2.10)$$

ลักษณะของดัชนีหักเห (Refractive Index Profile)

เป็นกราฟที่แสดงความสัมพันธ์ระหว่างดัชนีหักเหกับรัศมีแกน ซึ่งแสดงลักษณะโหมดของแสงที่เดินทางในแกนของใยแก้วนำแสงจะขึ้นอยู่กับรูปร่างของลักษณะของค่าดัชนีหักเห โดยลักษณะของดัชนีหักเหแสดงได้ดังรูปที่ 2.6 ซึ่งมีลักษณะต่างๆ กัน คือ



รูปที่ 2.6 แสดงลักษณะของดัชนีหักเหแบบต่าง ๆ

4. ชนิดของใยแก้วนำแสง (Type of Optical Fiber)

การแบ่งชนิดของใยแก้วนำแสงนั้นค่อนข้างยุ่งยากเนื่องจากได้มีการแบ่งชนิดของใยแก้วนำแสงออกไปหลากหลายแบบ เช่น แบ่งตามวัสดุที่ทำ แบ่งตามคุณสมบัติการสูญเสียกำลังแสง แบ่งตามองค์ประกอบของแกนใยแก้ว เป็นต้น อย่างไรก็ตามหัวข้อนี้จะกล่าวถึงการแบ่งชนิดของใยแก้วนำแสงตามคุณสมบัติการสูญเสียความเข้มแสงของตัวกลางที่นำมาสร้างใยแก้วนำแสง และ การแบ่งตามองค์ประกอบของแกนใยแก้วนำแสง

การแบ่งชนิดของใยแก้วนำแสงตามการสูญเสียความเข้มแสง ซึ่งเป็นผลสืบเนื่องมาจากตัวกลางแสงที่นำมาทำใยแก้วนำแสง ซึ่งสามารถแบ่งออกเป็น 3 ชนิด คือ ชนิดที่สูญเสียความเข้มแสงต่ำ (low-loss) ชนิดที่มีการสูญเสียความเข้มแสงปานกลาง (medium-loss) และชนิดที่มีการสูญเสียความเข้มสูง (higher-loss) โดยที่สองชนิดแรกมักจะใช้แก้วทำเป็นแกนและเคลดคิงของใยแก้วนำแสง

การแบ่งตามชนิดของใยแก้วนำแสงตามองค์ประกอบของแกนใยแก้วนั้น สามารถแบ่งออกได้เป็น 2 ชนิด คือ ชนิดสเต็ปอินเด็กซ์ (step-index fiber) และชนิดเกรดอินเด็กซ์ (grade-index fiber) โดยที่ใยแก้วนำแสงแบบสเต็ปอินเด็กซ์นั้นประกอบไปด้วยแกนของใยแก้วนำแสงที่มีองค์ประกอบเดียว โดยตลอดตามแนวเส้นผ่านศูนย์กลาง ส่วนใยแก้วนำแสงแบบเกรดอินเด็กซ์นั้นมีส่วนประกอบของแกนใยแก้วไม่สม่ำเสมอตามแนวเส้นผ่านศูนย์กลาง

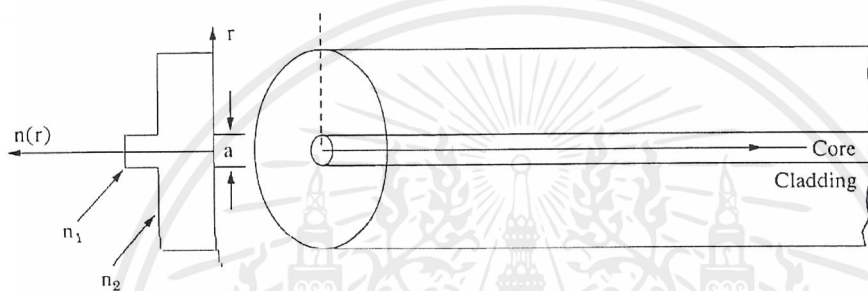
นอกจากนี้เรายังแบ่งใยแก้วนำแสงทั้งชนิดสเต็ปอินเด็กซ์ และเกรดอินเด็กซ์ ได้เป็น 2 แบบ คือ แบบโหมดเดียว (single-mode หรือ monomode) และแบบหลายโหมด (multi-mode) โดยนิยามว่า ใยแก้วนำแสงแบบโหมดเดียวคือ ใยแก้วนำแสงที่มีเพียงโหมดเดียวเท่านั้น ที่สามารถเคลื่อนที่ได้ภายในท่อใยแก้วนำแสง ส่วนใยแก้วนำแสงแบบหลายโหมดคือ ใยแก้วนำแสงที่มีอย่างน้อยสองโหมดขึ้นไปที่สามารถเคลื่อนที่ได้ภายในท่อใยแก้วนำแสง

ใยแก้วนำแสงชนิดขั้นบันได

แกนและเคลดดิ้งจะมีค่าดัชนีหักเหคงที่ โดยที่แกนมีค่าดัชนีหักเหมากกว่าเคลดดิ้ง ค่าดัชนีหักเหของแกนและเคลดดิ้งเป็นไปตามสมการ(2.5)

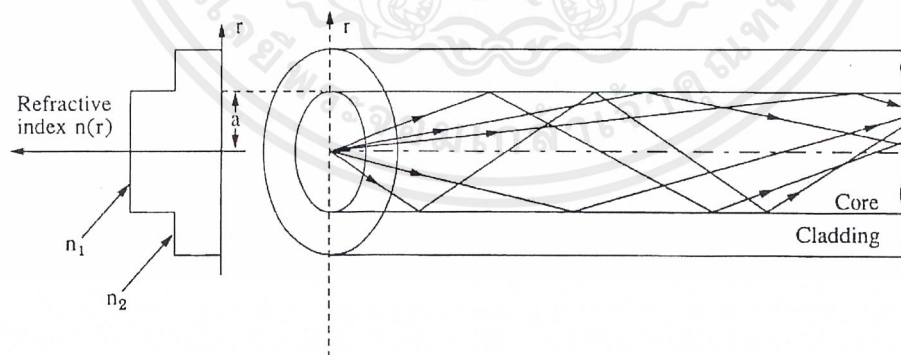
$$\begin{aligned}
 N(r) &= n_1; r < a \text{ (core)} \\
 &= n_2; r \geq a \text{ (cladding)}
 \end{aligned}
 \tag{2.11}$$

ใยแก้วนำแสงขั้นบันไดโหมคเดียวมีเส้นผ่านศูนย์กลางของแกนและเคลดดิ้งประมาณ 25 ถึง 100 ไมโครเมตร และ 125 ไมโครเมตร ตามลำดับ ดังรูปที่ 2.7



รูปที่ 2.7 แสดงใยแก้วนำแสงโหมคเดียวชนิดขั้นบันได

ใยแก้วนำแสงขั้นบันไดหลายโหมคมีเส้นผ่านศูนย์กลางของแกนและเคลดดิ้งประมาณ 50 ไมโครเมตร และ 125 ไมโครเมตร ตามลำดับ ดังรูป 2.8



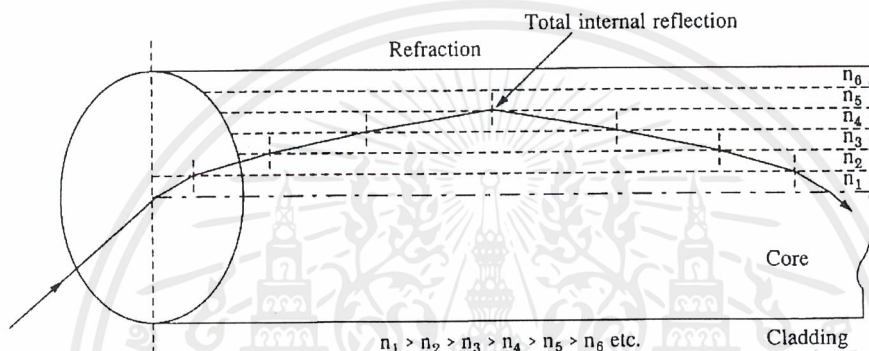
รูปที่ 2.8 แสดงใยแก้วนำแสงหลายโหมคชนิดขั้นบันได

ใยแก้วนำแสงแบบมน (Graded Index Fiber)

ค่าดัชนีหักเหของแกนมีค่าไม่คงที่และมีค่าลดลงตามรัศมีของแกนซึ่งเป็นไปตามสมการ(2.6)

$$\begin{aligned}
 n(r) &= n_1[1-2\Delta(r/a)\alpha]^{1/2} : r < a(\text{core}) \\
 &= n_1(1-2\Delta)^{1/2} = n_2 : r \geq a(\text{cladding}) \quad \text{_____} \quad (2.6)
 \end{aligned}$$

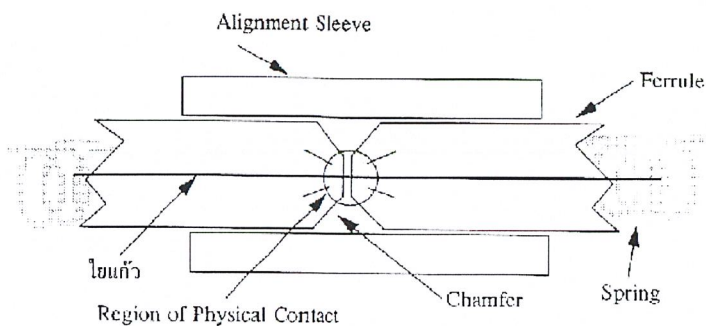
เมื่อ Δ คือ ดัชนีหักเหสัมพัทธ์ และ α คือ พารามิเตอร์โปรไฟล์ (profile parameter) ในการผลิตใยแก้วนำแสงชนิดนี้ไม่สามารถทำให้ขนาดของแกนเล็กมาก ๆ ได้เหมือนชนิดชั้นบันได ดังนั้นใยแก้วนำแสงชนิดนี้จึงมีขนาดของแกนที่ใหญ่ซึ่งเป็นโครงสร้างของใยแก้วชนิดหลายโหมด มีเส้นผ่านศูนย์กลางของแกนและเคลดดิ้งประมาณ 50 ไมโครเมตร และ 125 ไมโครเมตร ตามลำดับ ดังรูป2.9



รูปที่2.9 แสดงใยแก้วนำแสงแบบมน

การเชื่อมต่อและการสูญเสีย

รูปที่ 2.10ข้างล่าง เป็นระบบสื่อสารใยแก้วนำแสงทั่ว ๆ ไป ซึ่งในการประกอบกันเป็นระบบนั้นจะต้องมีการเชื่อมต่อในส่วนของใยแก้วนำแสงเสมอ โดยการเชื่อมต่อสายใยแก้วนำแสงนั้นอาจมีการคลาดเคลื่อนซึ่งทำให้เกิดการสูญเสียสัญญาณได้จากลักษณะต่าง ๆ ของใยแก้ว ดังตัวอย่างแสดงดังรูป2.10 ที่เป็นลักษณะของการวางตัวของใยแก้วในการเชื่อมต่อซึ่งเป็นสาเหตุของการสูญเสียสัญญาณซึ่งจะกล่าวในรายละเอียดแต่ละกรณีต่อไป



รูปที่ 2.10 การเชื่อมต่อของใยแก้วนำแสง

2.3 เกรตติงใยแก้วนำแสงหรือแบรกกเรตติง (Bragg Grating)

การพัฒนาทางด้านระบบการตรวจวัดโดยใช้เลเซอร์ส่งผ่านเส้นใยแก้วนำแสงได้มีการนำเซนเซอร์แบบเกรตติง (Bragg grating sensor) มาใช้ร่วมด้วยเพื่อเพิ่มประสิทธิภาพของการตรวจวัดโครงสร้างของวัสดุ ซึ่งระบบการตรวจวัดนี้เป็นระบบการตรวจวัดความเครียด (แรงที่กระทำกับวัตถุและระยะยืดที่เกิดขึ้นภายในวัตถุ) หรืออุณหภูมิของวัตถุ

1. เกรตติงบนเส้นใยแก้วนำแสง

เกรตติงเป็นอุปกรณ์ที่ตอบสนองความยาวคลื่นได้ในช่วงแคบๆ ใช้ในการสะท้อนความยาวคลื่นของแบรกก (bragg wavelength) ซึ่งความยาวคลื่นที่ใช้จะต้องสัมพันธ์กับช่องห่างระหว่างเกรตติงหรือที่เรียกว่า พิตช์ (Pitch : Λ) สามารถหาได้จากสมการ

$$\lambda_B = 2m n_c \Lambda \quad (2.12)$$

λ_B คือ ความยาวคลื่นของแบรกกที่เกิดการสะท้อนกลับ

m คือ อันดับของเกรตติงที่เกิดการสะท้อนกลับของความยาวคลื่น λ_B เช่น เลข 1, 2, 3,

n_c คือ ดัชนีหักเหของแสง

ผลกระทบทางอุณหภูมิของเกรตติงใยแก้วนำแสง

ค่าอุณหภูมิที่เปลี่ยนแปลงไปมีผลทำให้ค่าความยาวคลื่นแบรกกของเกรตติงใยแก้วนำแสงมีค่าเปลี่ยนแปลงไปตามสมการ

$$\Delta\lambda_B = \lambda_B (\alpha + \zeta) \Delta T \quad (2.13)$$

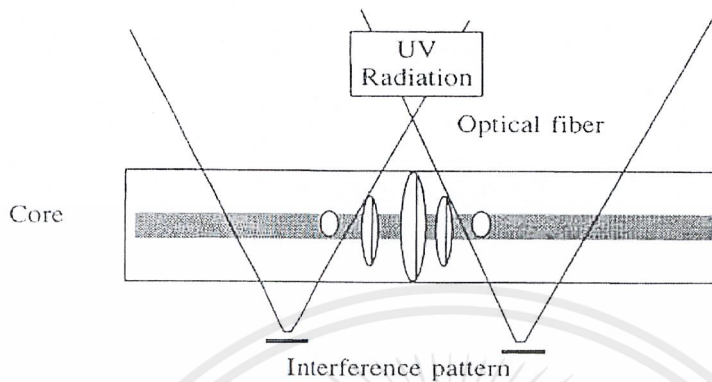
โดย $\alpha = (1/\Lambda)(\partial\Lambda/\partial T)$ เป็นค่าสัมประสิทธิ์การขยายตัวทางความร้อนของเกรตติงใยแก้วนำแสง

ζ คือ สัมประสิทธิ์เทอร์โม-ออปติก

ซึ่งค่า α, ζ นั้นมีค่าขึ้นอยู่กับวัสดุที่ใช้ทำเกรตติงใยแก้วนำแสง

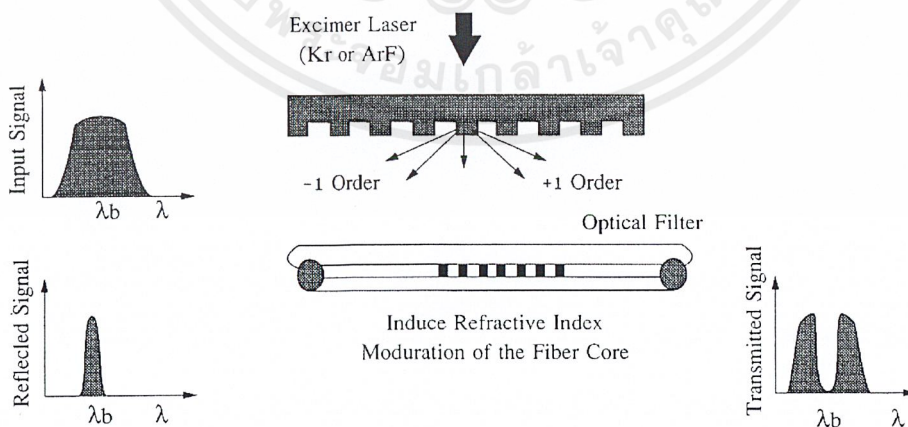
2. การสร้างเกรตติงบนใยแก้วนำแสงนี้มีวิธีสร้าง 3 วิธีด้วยกันคือ

2.1 การแทรกสอดจากแสงสองลำ (two beam interference) โดยการยิงลำแสงอัลตราไวโอเล็ต (ultraviolet) 2 ลำที่มีความเข้มสูงไปที่เส้นใยแก้วนำแสงแล้วทำให้เกิดการแทรกสอดของทั้งสองขึ้น เกิดเป็นแถบมืดแถบสว่างบนเส้นใยแก้วนำแสง



รูปที่ 2.11 เกรตติงที่เกิดจากการแทรกสอดของแสงอัลตราไวโอเล็ต 2 ลำ

2.2 การแทรกสอดจากช่องเปิดหลายช่อง (phase mark) โดยการฉายเลเซอร์เอกซ์ไซเมอร์ (excimer laser) คือ แสงซึ่งเกิดจากการกระตุ้นของธาตุในหมู่ VIIIA (ก๊าซเฉื่อย) มีความยาวคลื่นแสงประมาณ 175 ถึง 351 นาโนเมตร (nm) ให้ตกกระทบช่องเปิดหลายช่องจากนั้นแสงจะเลี้ยวเบนออกมาชนกันเกิดเป็นการแทรกสอดของแสงขึ้นจึงได้เป็นลายของเกรตติงขึ้นมา

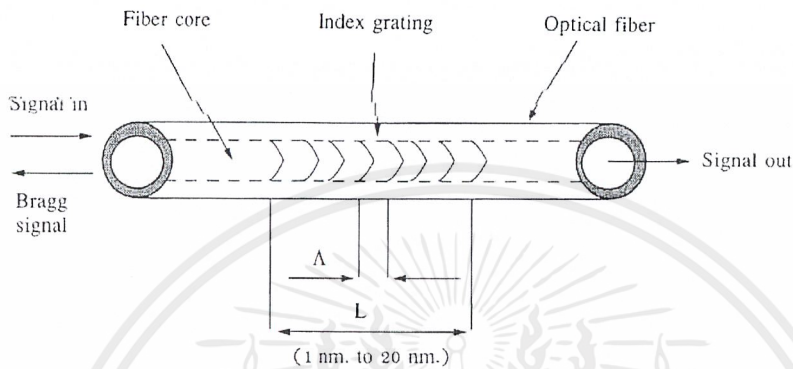


รูปที่ 2.12 เกรตติงที่เกิดจากการยิงแสงเลเซอร์กระทบปลายเปิดหลายช่อง

เอกสารนี้เป็นเอกสารที่สงวนไว้สำหรับการใช้งานเพื่อการศึกษาเท่านั้น ไม่อนุญาตให้นำไปใช้ประโยชน์ด้านการค้า ไม่ว่าจะกรณีใดๆ ทั้งสิ้น อีกทั้งห้ามมิให้ดัดแปลงเนื้อหาและต้องอ้างอิงถึงเจ้าของเอกสารทุกครั้งที่มีการนำไปใช้

2.3 การเขียนลงตรง ๆ โดยใช้เลเซอร์กำลังสูง (writing grating point by point) วิธีนี้จะใช้พัลส์เดียวของเลเซอร์แบบเอกซ์ไซเมอร์เขียนไปบนสลิทที่วางอยู่บนแกนของเส้นใยแก้วนำแสง ซึ่งค่าดัชนีหักเหของแกนเปลี่ยนแปลงตามความเข้มแสงจึงทำให้เกิดเป็นลายของเกรตติงขึ้นมา

3. โครงสร้างของแบรกกเรตติง (Bragg Sensor)



รูปที่ 2.13 แสดงโครงสร้างภายในเส้นใยแก้วนำแสงของเซนเซอร์แบบแบรกกเรตติง

แบรกกเรตติงเป็นระบบการตรวจวัดซึ่งอาศัยความยาวคลื่นแสงในการตรวจวัด โดยสามารถให้ความละเอียดในการวัดได้น้อยกว่า 10^{-3} นาโนเมตร (nm) แต่เดิมระบบตรวจวัดนี้ใช้ตัววิเคราะห์สเปกตรัมทางแสงซึ่งสิ่งเหล่านี้มีข้อจำกัดในการใช้งานและมีราคาสูง ต่อมาระบบการตรวจวัดดังกล่าว ได้มีการพัฒนาในด้านต่าง ๆ เช่น โครงสร้างของระบบตรวจวัดดังกล่าว ๆ ได้มีการพัฒนาในด้านต่าง ๆ เช่น โครงสร้างของระบบตรวจวัดรวมทั้งวิธีการดีมอดูเลชัน (demodulation) ซึ่งทำให้มีระดับความสามารถในการวัดสูงขึ้น และความคลาดเคลื่อนมีน้อยลง

ข้อดีของการตรวจวัดโดยใช้วิธีเซนเซอร์แบบแบรกกเรตติง (Bragg grating sensor)

1. มีค่าความละเอียดสูง (high resolution) ซึ่งมีค่าน้อยกว่า $1 \mu\text{strain}(\mu\epsilon)$, 10^{-6} เปอร์เซ็นต์ ต่อการเปลี่ยนแปลงความยาว 100 เมตร หรือ 0.1 องศาเซลเซียส
2. ค่าที่วัดได้จะเป็นฟังก์ชันเชิงเส้นของการวัด (เอาที่พูดที่ได้เป็นเส้นตรง)
3. สามารถทำการตรวจวัดอุณหภูมิได้หลายจุดรวมทั้งสามารถตรวจวัดปริมาณอย่างอื่นที่ต้องการความดันได้พร้อม ๆ กัน ภายในเส้นใยแก้ว 1 เส้น

เอกสารนี้เป็นเอกสารที่สงวนไว้สำหรับการใช้งานเพื่อการศึกษาเท่านั้น ไม่อนุญาตให้นำไปใช้ประโยชน์ด้านการค้าไม่ว่ากรณีใดๆ ทั้งสิ้น อีกทั้งห้ามมิให้ดัดแปลงเนื้อหาและต้องอ้างอิงถึงเจ้าของเอกสารทุกครั้งที่มีการนำไปใช้

การนำไปใช้ประโยชน์

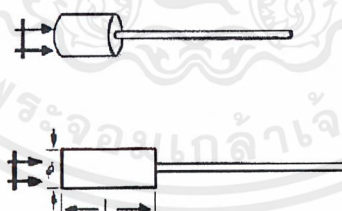
ปัจจุบันได้มีการนำมาใช้ประโยชน์มากมาย เช่น

- ในเมืองกาลกาจี รัฐฮัลเบอ์ตา ประเทศแคนาดา ได้มีการนำเส้นใยแก้วนำแสงใส่ไว้ในโครงสร้างของสะพานเบดดิ้งตันเทรลเพื่อตรวจสอบการรับน้ำหนักของสะพาน

- ได้มีการนำแบรคเซ็นเซอร์ใช้กับปีกของเครื่องบิน เพื่อตรวจสอบสภาพของปีกเครื่องบินว่ามีสภาพพร้อมที่จะทำงานได้หรือไม่ ซึ่งจะทำการตรวจสอบก่อนเครื่องจะขึ้นและระหว่างการบินด้วย ทั้งยังสามารถตรวจสอบอุณหภูมิ ความดัน และตำแหน่ง บริเวณที่มีการกระแทกได้ด้วย

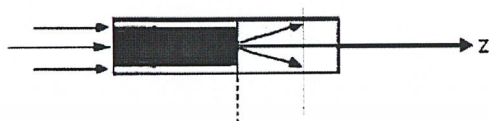
2.4 การส่งแสงเข้าไปในใยแก้วนำแสง

เนื่องจากตามปกติแสงที่มีความยาวคลื่น 1.55 นาโนเมตรนั้นมีเส้นผ่านศูนย์กลางของ Gaussian beam ประมาณ 10 ไมโครเมตรและใยแก้วนำแสงชนิดโหมดเดียนั้นมีเส้นผ่านศูนย์กลางของแกนในช่อง 8 ถึง 10 ไมโครเมตร วิธีหนึ่งของการส่งแสงเข้าไปในใยแก้วนำแสงนั้นคือ วางแหล่งกำเนิดแสงในตำแหน่งที่ติดใกล้ ๆ กับใยแก้วนำแสง ซึ่งถ้าแสงรวมเป็นจุดที่ค้อยู่ในแนวของแกน และมีเอมพลิจูดและการกระจายของเฟสพอดีกับโหมดที่เดินทางไปได้ในใยแก้วนำแสงแล้วกำลังของแสงที่ส่งเข้าไปจะสามารถส่งเข้าไปในใยแก้วนำแสงได้ทั้งหมด แต่ในความเป็นจริงแล้วการใช้วิธีดังกล่าวกำลังของแสงเพียงบางส่วนเท่านั้นที่จะสามารถส่งกำลังของแสงจากแหล่งกำเนิดให้เข้าไปสู่ใยแก้วนำแสงได้สูงขึ้น ซึ่งวิธีการใหม่ที่มีประสิทธิภาพสูงคือการใช้เลนส์ดัชนีหักเหแบบมม(GRIN) มีลักษณะดังรูปที่ 2.14



รูปที่ 2.14 แสดงลักษณะ เลนส์ดัชนีหักเหแบบมม(GRIN)

การออกแบบนั้นจะออกแบบให้มีค่าดัชนีหักเหในรูปฟังก์ชัน $n(r) = n_0 [1 - q(r/r_{max})^2]$ ซึ่ง n_0 , q และ r_{max} เป็นค่าคงที่โดยจะใช้หลักการรวมแสงใน Focal plane และเดินทางต่อไปยังบริเวณ Destination plane ซึ่งในระยะไกล ๆ แสงจะรวมเป็นจุดเข้าไปสู่ใยแก้วนำแสงดังรูปที่ 2.15



รูปที่ 2.15 แสดงการรวมแสงเข้าสู่ใยแก้วนำแสง

2.5 อุปกรณ์แหล่งกำเนิดแสง

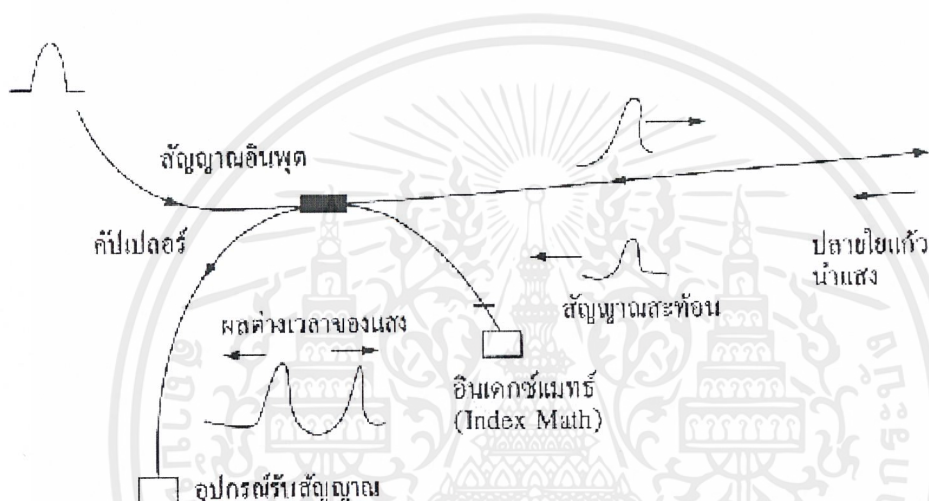
แหล่งกำเนิดแสงที่นิยมในปัจจุบันคือ ไดโอดเปล่งแสงชนิดสารกึ่งตัวนำและไดโอดเลเซอร์ เพราะไดโอดเหล่านี้เปล่งแสงที่มีความยาวคลื่นย่าน 0.8 ถึง 0.9 ไมครอน และ 1.3 ถึง 1.6 ไมครอน ซึ่งตรงกับย่านที่ใยแก้วนำแสงมีค่าสูญเสียต่ำและสามารถควบคุมกำลังขาออกได้อย่างรวดเร็วโดยการปรับค่ากระแสไบแอส (Bias Current) จึงง่ายต่อการผสมสัญญาณ อีกทั้งอายุการใช้งานก็มากกว่าหนึ่งล้านชั่วโมง ความแตกต่างที่สำคัญระหว่าง LED และ LD คือ LD มีมุมการเปล่งแสงที่แคบกว่าแต่มีความกว้างของสเปกตรัมมากกว่า จึงนิยมใช้กับการส่งสัญญาณแบบโคฮีเรนต์ (Coherent Transmission) นอกจากนี้ยังเปล่งแสงเมื่อมีการต่อกระแสขับดัน (Drive Current) ได้เร็วกว่า แต่เนื่องจาก LD เป็นอุปกรณ์เทรชฮ็อลด์ (Threshold Device) การเปล่งแสงจึงไม่คงที่และเป็นสัดส่วนโดยตรงกับกระแส จึงต้องมีวงจรควบคุมแบบป้อนกลับ (Feedback) เพื่อให้กำลังขาออกของเลเซอร์คงที่

2.6 เครื่องตรวจสอบเส้นใยแก้วนำแสงโอทีดีอาร์

6.1 เครื่องมือวัดการสะท้อนกลับเชิงเวลา

เมื่อสัญญาณคลื่นถูกส่งผ่านเข้าสู่ตัวกลางที่รู้ค่าความเร็ว ตัวอย่างเช่นเมื่อมีคลื่นแสงเดินทางในอากาศหรือในน้ำ คลื่นจะเคลื่อนที่โดยมีความเร็วแตกต่างกันซึ่งขึ้นอยู่กับความหนาแน่นของตัวกลางนั้น ๆ จากหลักการดังกล่าวนำมาสร้างเครื่องโซนาร์ (Sonar) ซึ่งสามารถบอกตำแหน่งหรือบอกระยะทางของวัตถุที่อยู่ลึกลงไปในน้ำได้โดยการบันทึกเวลาที่คลื่นเสียงเดินทางไปและกลับจากเรือไปยังวัตถุใต้น้ำและสะท้อนกลับมายังเรืออีกครั้งและทราบค่าความเร็วของเสียงน้ำ ในระบบเรดาร์ก็เช่นกัน คลื่นแม่เหล็กไฟฟ้าถูกส่งออกไปเป็นพัลส์จากแหล่งกำเนิดคลื่นไปยังวัตถุ ทำการตรวจวัดจำนวนพัลส์ของคลื่นที่สะท้อนกลับก็จะสามารถบอกระยะของตำแหน่งวัตถุได้เช่นกัน

สัญญาณพัลส์ทางไฟฟ้าที่เดินทางในสายนำสัญญาณด้วยความเร็วคงที่ (ประมาณ 90 เปอร์เซ็นต์ของความเร็แสงที่เดินทางในสุญญากาศ) เมื่อสัญญาณเดินทางมาถึงปลายทางจะมีสัญญาณบางส่วนสะท้อนกลับทางเดิม ถ้าทราบค่าความเร็วของพัลส์ที่เดินทางภายในสายและรู้เวลาไปและกลับก็จะสามารถบอกระยะทางระหว่างปลายทั้งสองได้ จากกระบวนการการนำสัญญาณเข้าสู่ปลายอินพุต ตรวจวัดการสะท้อนกลับ และใช้เวลาที่แตกต่างกันระหว่างสัญญาณที่ถูกส่งเข้าและสะท้อนกลับที่ปลายอีกด้านหนึ่งสามารถบอกระยะทางระหว่างปลายทั้งสองได้ วิธีการดังกล่าวเรียกว่าเครื่องมือวัดการสะท้อนกลับเชิงเวลา (Time Domain Reflectometry; TDR)



รูปที่ 2.16 แสดงพัลส์ของแสงที่เดินทางไปและกลับภายในสายสัญญาณ

วิธีการดังกล่าวไม่สามารถตรวจวัดเวลาจากพัลส์ส่งไปยังปลายสายได้โดยตรงแต่พิจารณาจากครึ่งหนึ่งของระยะเวลาระหว่างระยะทางที่ตรวจวัด ดังนั้นความยาวของสายอาจหาได้จากการคำนวณ

$$\text{ระยะทาง} = (\text{ความเร็ว})(\text{เวลา})$$

$$\text{ระยะทาง} = (\text{ความเร็ว})(\text{ผลต่างของเวลา})/2$$

การวัดการสะท้อนของแสงเชิงเวลา

เมื่อคลื่นแสงถูกส่งเข้าสู่เส้นใยแก้วนำแสงพัลส์ของแสงเดินทางผ่านเส้นใยแก้วนำแสงด้วยความเร็วที่ขึ้นกับดัชนีหักเหของแสงของเส้นใยแก้วนำแสงที่เป็นสายส่ง ซึ่งค่าดัชนีหักเหของแสงเป็นอัตราส่วนระหว่างความเร็วของแสงในสุญญากาศกับความเร็วแสงภายในเส้นใยแก้วนำแสงเคลื่อนที่มาถึง เอกสารนี้เป็นเอกสารที่สงวนไว้สำหรับการใช้งานเพื่อการศึกษาเท่านั้น ไม่อนุญาตให้นำไปใช้ประโยชน์ด้านการค้า ไม่ว่าจะกรณีใดๆ ทั้งสิ้น อีกทั้งห้ามมิให้ดัดแปลงเนื้อหาและต้องอ้างอิงถึงเจ้าของเอกสารทุกครั้งที่มีการนำไปใช้

บริเวณปลายทาง แสงบางส่วนจะสะท้อนกลับมายังตัวรับสัญญาณแสงที่อยู่ด้านเดียวกับแหล่งกำเนิดแสง เครื่องมือที่อาศัยหลักการวัดการสะท้อนของแสงซึ่งเวลาสามารถตรวจวัดพัลส์ของแสงที่สะท้อนกลับและคำนวณความยาวของเส้นใยแก้วนำแสง โดยพิจารณาดัชนีหักเหแสงของเส้นใยแก้วนำแสง และความแตกต่างของเวลาระหว่างพัลส์ที่ส่งเข้าไปและพัลส์ที่สะท้อนกลับมา เนื่องจากคุณสมบัติของเส้นใยแก้วนำแสงที่ทำการตรวจวัดถูกนำมาสร้างเป็นเครื่องมือโอทีดีอาร์ เพื่อใช้วัดค่าพารามิเตอร์ต่าง ๆ ภายในเส้นใยแก้วนำแสงสัมพันธ์กับความยาว โดยนำปลายคอนเนคเตอร์ (Connector) ด้านหนึ่งของเส้นใยแก้วนำแสงที่ต้องการวัดต่อเข้ากับเครื่องโอทีดีอาร์ (ดังรูปที่ 2.16)

ค่าต่าง ๆ ที่วัดได้จากเครื่องโอทีดีอาร์

- 1.สามารถตรวจวัดความยาวของเส้นใยแก้วนำแสง
- 2.สามารถตรวจวัดค่าการลดทอนกำลังของแสงภายในเส้นใยแก้วนำแสง เช่น
 - ค่าการลดทอนกำลังของแสงรวมของเส้นใยแก้วนำแสงตลอดทั้งเส้น
 - ค่าการลดทอนกำลังของแสงต่อหน่วยความยาว หน่วย (dB/km)
 - ค่าการลดทอนกำลังของแสงในแต่ละตำแหน่ง
- 3.สามารถตรวจวัดค่าการสูญเสียกำลังของแสงอันเนื่องมาจากการเชื่อมต่อ (Splice)
- 4.สามารถบอกได้ว่ามีการเชื่อมต่อแบบใดบ้างในสายทั้งเส้น
- 5.สามารถบอกระยะทางที่วัดได้ในแต่ละตำแหน่ง
- 6.สามารถตรวจสอบและค้นหาตำแหน่งที่มีปัญหาภายในเส้นใยแก้วนำแสงเช่นมีการขาดหรือปัญหาที่อาจเกิดขึ้นในกระบวนการผลิตเส้นใยแก้วนำแสงแต่ละเส้น

หลักการทำงานของเครื่องโอทีดีอาร์

หลักการทำงานของเครื่องโอทีดีอาร์ ในกระบวนการผลิตเส้นใยแก้วนำแสงชนิดแก้วที่ทำจากทรายซิลิกา โดยการหลอมด้วยความร้อนสูงและทำให้เย็นลงให้อยู่ในสภาพของแข็งซึ่งพบว่าแก้วยังไม่สามารถคงรูปเป็นของแข็งได้ ต้องเติมสารเจือลงไปทำให้แก้วแข็งแรงขึ้นและให้มีความหนาแน่นไม่เท่ากัน ความหนาแน่นที่ไม่เท่ากันนี้เองทำให้มีดัชนีหักเหแสงในตัวกลางแตกต่างกันในแต่ละส่วนของเส้นใยแก้วนำแสงซึ่งเส้นใยแก้วนำแสงมีส่วนประกอบ 2 ส่วนคือ ส่วนของแกน และเคลด แต่ภายในส่วนที่แสงเดินทางอยู่ภายในนั้นคือส่วนของแกนก็ยังมีดัชนีหักเหแสงของตัวกลางที่ไม่เท่ากันบ้างเล็กน้อยเนื่องจากความหนาแน่นของตัวกลางที่ไม่เท่ากันนี้เอง ซึ่งเป็นสาเหตุทำให้เกิดการกระเจิงกลับในระหว่างที่แสงเดินทางอยู่ภายในได้ เครื่องโอทีดีอาร์ อาศัยหลักการการสะท้อนของแสงที่เดินทางในเส้นใยแก้วนำแสงเทียบกับเวลาซึ่งแสงจะเดินย้อนกลับมายังด้านต้นทางที่แสงเข้าเนื่องมาจากสาเหตุ 2 ประการคือ การกระเจิงกลับ (Backscattering) และการสะท้อนแบบเฟรสเนล (Fresnel Reflection)

-การกระเจิงกลับ เมื่อแสงเดินทางผ่านเข้าไปในแกนของเส้นใยแก้วนำแสงที่มีดัชนีหักเหไม่สม่ำเสมออันเนื่องมาจากกระบวนการผลิต หรือกระทบอนุภาคที่มีขนาดใหญ่กว่าความยาวคลื่นของแสง

เอกสารนี้เป็นเอกสารที่สงวนไว้สำหรับการใช้งานเพื่อการศึกษาเท่านั้น ไม่อนุญาตให้นำไปใช้ประโยชน์ด้านการค้าไม่ว่ากรณีใดๆ ทั้งสิ้น อีกทั้งห้ามมิให้ดัดแปลงเนื้อหาและต้องอ้างอิงถึงเจ้าของเอกสารทุกครั้งที่มีการนำไปใช้

จะมีแสงบางส่วนสะท้อน หรือกระเจิงในแต่ละทิศทาง ปรากฏการณ์นี้เรียกว่าการกระเจิงแบบเรย์ลี (Rayleigh Scattering) โดยความเข้มแสงของการกระเจิงเป็นปฏิภาคตามกับปริมาตรของอนุภาคยกกำลังสอง และเป็นปฏิภาคกลับกับความยาวคลื่นของแสงยกกำลังสี่ ซึ่งแสงกระเจิงในทุกทิศทาง และมีแสงบางส่วนกระเจิงกลับมายังตัวรับสัญญาณแสงซึ่งอยู่ด้านเดียวกับแหล่งกำเนิดแสง การสะท้อนของแสงลักษณะนี้เรียกว่าการกระเจิงกลับ (Backscatter) ซึ่งดูได้จากสมการที่(2.7)

$$S_R \propto 1/\lambda^4 \quad (2.13)$$

เมื่อ S_R คือ การกระเจิงแบบเรย์ลี

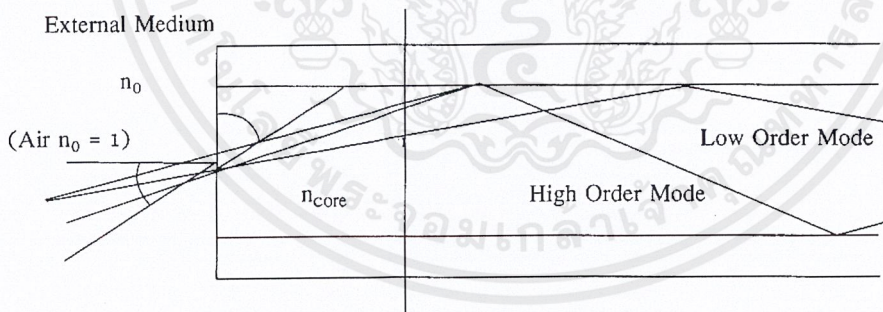
λ คือ ความยาวคลื่นของแหล่งกำเนิดแสง

-การสะท้อนแบบเฟรสเนล (Fresnel Reflection) เนื่องจากแสงเดินทางผ่านบริเวณรอยต่อที่มีดัชนีหักเหของแสงแตกต่างกัน เช่นบริเวณรอยต่อของปลายเส้นใยแก้วนำแสงกับอากาศ หรือการเชื่อมต่อเส้นใยแก้วนำแสงบางแบบจะเกิดการสะท้อนกลับ โดยค่าการสะท้อนแบบเฟรสเนลเป็นดังสมการที่ (2.8)

$$R_F = \left\{ \frac{n_1 - n_0}{n_1 + n_0} \right\}^2 \quad (2.14)$$

เมื่อ n_0 คือ ค่าดัชนีหักเหของอากาศ

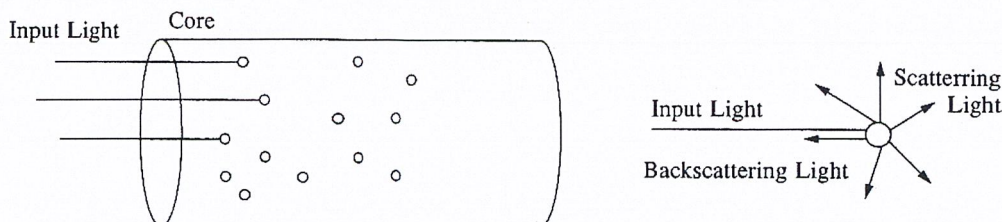
n_1 คือ ค่าดัชนีหักเหของแกนภายในเส้นใยแก้วนำแสง



รูปที่ 2.17 แสดงการเดินทางย้อนกลับมาของแสงภายในเส้นใยแก้วนำแสงเนื่องจากการกระเจิงกลับแบบเรย์ลี และการสะท้อนแบบเฟรสเนล

การกระเจิงกลับของแสงนั้นเป็นเพียงส่วนน้อยของปริมาณความเข้มแสงทั้งหมดหรือระดับกำลังของแสง (Power Level) ที่เดินทางเข้ามาในเส้นใยแก้วนำแสง การตรวจวัดแสงที่กระเจิงกลับมาสัมพันธ์กับเวลา (ซึ่งแปลงกลับมาเป็นระยะทางในเส้นใยแก้วนำแสง) แล้วนำมาเขียนกราฟความสัมพันธ์ระหว่าง

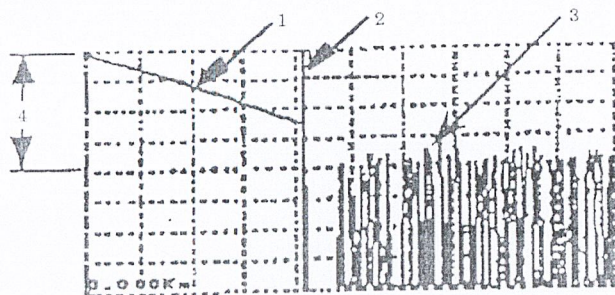
แสงที่กระเจิงกลับมาสัมพันธ์กับเวลาจะสามารถแสดงระดับกำลังของแสงที่แต่ละตำแหน่งของเส้นใย
 แก้วนำแสงที่ตรวจวัด(Fiber Signature) ดังรูปที่ 2.18



รูปที่ 2.18 แสดงการกระเจิงกลับของแสง

รูปแบบของการกระเจิงกลับของแสงภายในเส้นใยแก้วนำแสงแสดงดังรูปที่ 1.19 โดยมีความสัมพันธ์
 เป็นเชิงเส้น จากรูปแสดงความหมายจากด้านซ้ายไปยังด้านขวาที่ตำแหน่งเริ่มต้น(ด้านซ้าย) แสดง
 ตำแหน่งปลายคอนเนคเตอร์ของเส้นใยแก้วนำแสงต่อกับแหล่งกำเนิดแสงของเครื่องโอทีดีอาร์ซึ่ง
 ระหว่างรอยต่อดังกล่าวเป็นช่องอากาศ เมื่อแสงเดินทางผ่านจะเกิดการสะท้อนกลับมาแบบเฟรสเนล
 ประมาณ 4 เปอร์เซ็นต์(ที่รอยต่อของตัวกลางเส้นใยแก้วนำแสงกับอากาศ) อธิบายได้จากพิกของ
 สัญญาณที่เกิดขึ้นบนหน้าจอโอทีดีอาร์ และมีลักษณะเดียวกับตำแหน่งปลายของสาย (ด้านขวา) ที่
 ตำแหน่งต่อมาความชันคงที่อธิบายได้ว่าระดับกำลังของแสงลดลงอย่างคงที่สัมพันธ์กับความยาว นั้น
 คือขณะนั้นเกิดการลดทอน ความเข้มของพัลส์ของแสงที่ลดลงนี้จะลดลงตามความยาวของเส้นใยแก้ว
 นำแสง หากทำการเปรียบเทียบระดับกำลังของแสงที่ระหว่างตำแหน่ง 2 ตำแหน่งในเครื่องโอทีดีอาร์ ก็
 จะสามารถบอกค่าการลดทอนของเส้นใยแก้วนำแสงระหว่างตำแหน่ง 2 ตำแหน่งในเส้นใยแก้วนำแสง
 ได้

โดยปกติหากโครงสร้างภายในของเส้นใยแก้วนำแสงมีค่าดัชนีหักเหสม่ำเสมอ การลดทอน
 ของแสงภายในเส้นใยแก้วนำแสงจะแสดงความชันอันเนื่องจากการกระเจิงกลับแบบเรย์ลีนบนหน้าจอ
 ของเครื่องโอทีดีอาร์เป็นเส้นตรงคงที่ หากพบว่าความชันมีการเปลี่ยนแปลงอย่างกระทันหันแสดงว่า
 ขณะนั้นตรวจพบบางสิ่งที่ทำให้ระดับการกระเจิงกลับเปลี่ยนแปลง เช่นตรวจพบจุดที่เชื่อมต่อของเส้น
 ใยแก้วนำแสง และสามารถบอกชนิดของจุดที่เชื่อมต่อได้ด้วยซึ่งให้ผลแสดงบนเครื่อง โอทีดีอาร์แตก
 ต่างกัน



รูปที่ 2.19 แสดงรูปแบบการตรวจวัดบนหน้าจอ โอทีดีอาร์

ตำแหน่งที่ 1. แสดงความชันของการลดทอนของแสงใยแก้วนำแสง

ตำแหน่งที่ 2. เกิดการสะท้อนแบบเฟรสนลที่รอยต่อระหว่างปลายของเส้นใยแก้วนำแสงกับอากาศของแหล่งกำเนิดแสงบนเครื่องโอทีดีอาร์

ตำแหน่งที่ 3. แสดงสัญญาณรบกวนที่อยู่ในระยะที่พื้นปลายใยแก้วนำแสง

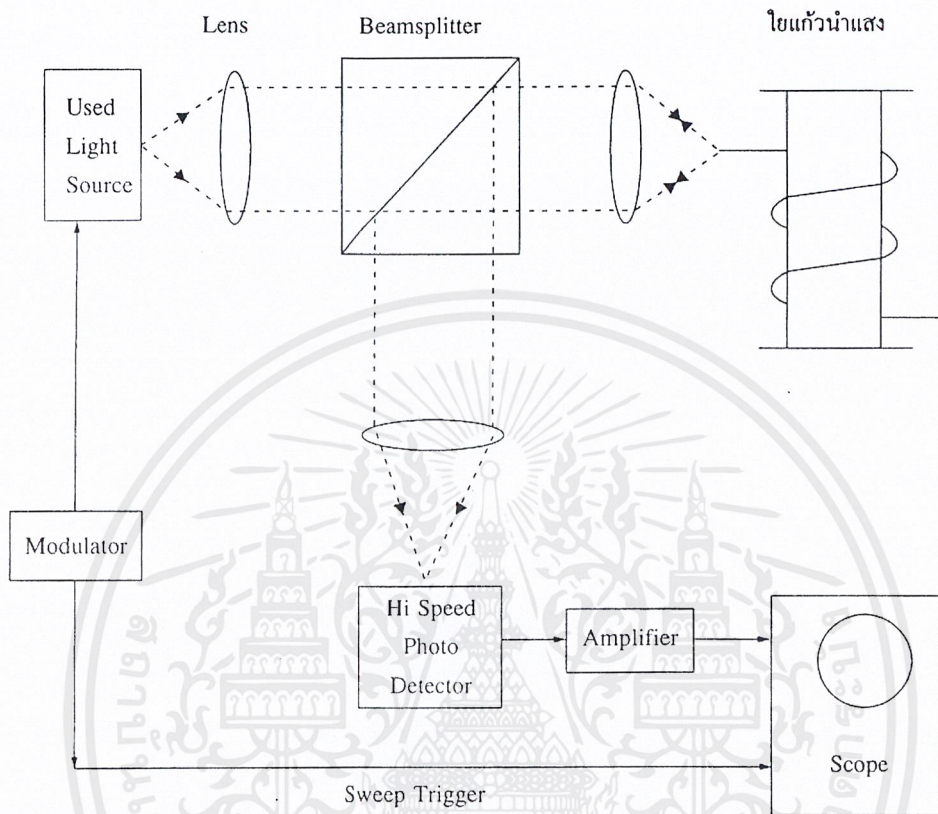
ตำแหน่งที่ 4. แสดงระดับกำลังสูงสุดของเครื่องโอทีดีอาร์

โอทีดีอาร์พารามิเตอร์ (OTDR Parameters)

ก่อนการตรวจวัดเส้นใยแก้วนำแสงจำเป็นต้องกำหนดการทำงานของเครื่องก่อน โดยการกำหนดพารามิเตอร์ต่างๆ ของเครื่องซึ่งจะต้องเลือกหรือทำการปรับฟังก์ชันต่างๆ ให้เหมาะสมเพื่อการวัดค่าได้ถูกต้องมากที่สุด ซึ่งพารามิเตอร์ต่าง ๆ ขึ้นอยู่กับรุ่นของเครื่องโอทีดีอาร์ ในส่วนต่อไปนี้จะแสดงพารามิเตอร์ต่าง ๆ ของโอทีดีอาร์ รุ่นต่างๆ ไป

-ความยาวคลื่น (Wavelength) เครื่องโอทีดีอาร์สามารถเลือกความยาวคลื่นแสงที่ใช้สำหรับตรวจสอบเส้นใยแก้วนำแสงได้ ปกติความยาวคลื่นแสงที่นิยมใช้อยู่ในช่วง 1,310 และ 1,550 นาโนเมตร ขึ้นกับชนิดของเส้นใยแก้วนำแสงที่ต้องการตรวจสอบ

-ดัชนีหักเหแสง (Reflection Index) เครื่องโอทีดีอาร์จะให้ระบุค่าดัชนีหักเหแสงของเส้นใยแก้วนำแสงที่ใช้ในการตรวจสอบด้วย เนื่องจากความเที่ยงตรงของการวัดระยะทางของเครื่องโอทีดีอาร์จะขึ้นอยู่กับความเที่ยงตรงของการกำหนดค่าดัชนีหักเหแสงของเส้นใยแก้วนำแสงที่ใช้



รูปที่ 2.20 แผนภาพต่อไปนี้แสดงโครงสร้างทั่วไปของระบบเครื่องโอทีดีอาร์

-ช่วงกว้างของพัลส์ (Pulse Width) เครื่องโอทีดีอาร์ สามารถเลือกช่วงกว้างของพัลส์ของแสงที่ส่งเข้าไปในเส้นใยแก้วนำแสงได้อยู่ในช่วงตั้งแต่ 1 ถึง 1,000 เมตร ขึ้นกับความต้องการให้ค่าความละเอียดในการวัดหากเลือกช่วงกว้างของพัลส์กว้างส่งผลให้กำลังของแสงที่ส่งเข้าไปในเส้นใยแก้วนำแสงเพิ่มขึ้นทำให้ย่านการวัดของเครื่องโอทีดีอาร์ หรือระยะทางที่สามารถวัดได้ยาวขึ้น อย่างไรก็ตาม ช่วงกว้างของพัลส์ที่เพิ่มขึ้นนี้จะส่งผลให้ระยะเดคโคชอนเพิ่มขึ้นด้วย จึงทำให้ยากต่อการตรวจวัดสิ่งที่อยู่ภายในระยะเดคโคชอนหากเลือกช่วงกว้างของพัลส์แคบ ทำให้ย่านการวัดของเครื่องโอทีดีอาร์หรือระยะทางที่สามารถวัดได้สั้นลงแต่เพิ่มความละเอียดของการวัดมากขึ้น ระยะทางของการวัดมีความเที่ยงตรงมากขึ้นเนื่องจากระยะเดคโคชอนอยู่ในช่วงแคบ ๆ

เอกสารนี้เป็นเอกสารที่สงวนไว้สำหรับการใช้งานเพื่อการศึกษาเท่านั้น ไม่อนุญาตให้นำไปใช้ประโยชน์ด้านการค้าไม่ว่ากรณีใดๆ ทั้งสิ้น อีกทั้งห้ามมิให้ดัดแปลงเนื้อหาและต้องอ้างอิงถึงเจ้าของเอกสารทุกครั้งที่มีการนำไปใช้

-ระยะของเส้นใยแก้วนำแสง (Fiber Range) ในการกำหนดค่าการวัดที่อาศัยหลักการของเวลานี้ การกำหนดค่าระยะของการวัดนี้ควรจะกำหนดให้มีค่าระยะมากกว่าความยาวจริงที่ต้องการวัด ค่านี้มีความสำคัญมาก หากกำหนดระยะให้กับเครื่องสั้นเกินไปจะทำให้เครื่องเริ่มส่งพัลส์ใหม่ และรอบของการตรวจวัดการกระเจิงกลับก่อนที่

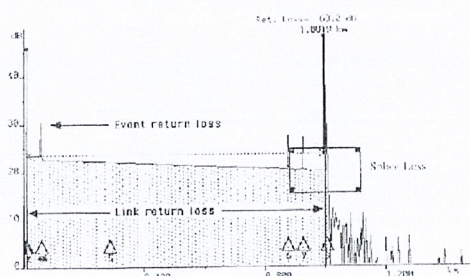
การสะท้อนที่ปลายจากการตรวจสอบก่อนหน้าที่ได้รับ เป็นสาเหตุให้ปลายที่สะท้อนผิดพลาดไป หรือปรากฏบางสิ่งทีบริเวณตรงกลางของเส้นใยแก้วนำแสงแต่หากกำหนดระยะให้กับเครื่องยาวเกินไปก็จะทำการวัดผิดพลาดเช่นกัน ถ้าหากกำหนดระยะมากกว่าเป็น 2 เท่าของความยาวของเคเบิลจริง อาจเกิดการสะท้อนซ้ำ (Ghost Reflection) เกิดขึ้นหลังจากการสะท้อนที่ปลายของเคเบิลแล้วปรากฏบนหน้าจอของเครื่องโอทีดีอาร์ อีกด้วย อีกทั้งยังทำให้การวัดซ้ำลงอีกด้วย โดยทั่วไปควรกำหนดค่าระยะสัมพันธ์กับความยาวของเคเบิลที่จะทำการวัด

-ค่าเฉลี่ย (Averaging) ค่าเฉลี่ยของการวัดเป็นตัวเลขที่บอกถึงว่าในการตรวจวัดแต่ละครั้งจะทำการเฉลี่ยกับค่าที่ทำการตรวจสอบครั้งที่แล้ว การเลือกค่าเฉลี่ยที่ใช้ในการวัดทำให้ค่าของการวัดดีขึ้นลดสัญญาณรบกวนลงได้

-สัมประสิทธิ์การกระเจิงกลับ (Backscattering Coefficient) ค่านี้ถูกกำหนดขึ้นจากระบวนการผลิตเส้นใยแก้วนำแสง โดยปกติเครื่องจะกำหนดเป็น Normal ที่ความยาวคลื่นและช่วงกว้างของพัลส์ที่กำหนดให้ ซึ่งถูกใช้สำหรับคำนวณความเที่ยงตรงของการสะท้อน

-หน่วย (Unit) เครื่องสามารถเลือกได้ว่าจะวัดหน่วยของความยาวเป็น เมตร กิโลเมตร ฟุต กิโลฟุต และไมล์ เป็นต้น

-สเกล (Scale) การแสดงผลบนหน้าจอโอทีดีอาร์ มาตรฐานในแนวแกน Y แสดงค่ากำลังของแสง หน่วยเดซิเบลต่อช่อง ซึ่งอาจเปลี่ยนให้มามีค่ามากขึ้นหรือลดลงได้ เช่นสามารถกำหนดมาตราส่วน 10 เดซิเบลต่อช่อง มาตรฐานในแนวแกน X ซึ่งแสดงระยะทาง ปกติมีหน่วยกิโลเมตร(ไมล์ หรือ ฟุต) ต่อช่องสามารถเปลี่ยนให้มามีขนาดเพิ่มขึ้นหรือลดลงก็ได้เช่นกัน เช่นกำหนดมาตราส่วน 5 กิโลเมตรต่อช่อง เป็นต้น จากรูปที่ 2.21 แสดงมาตราส่วนในแนวแกน Y เป็น 10 dB/div และแนวแกน X เป็น 4,000 km/div



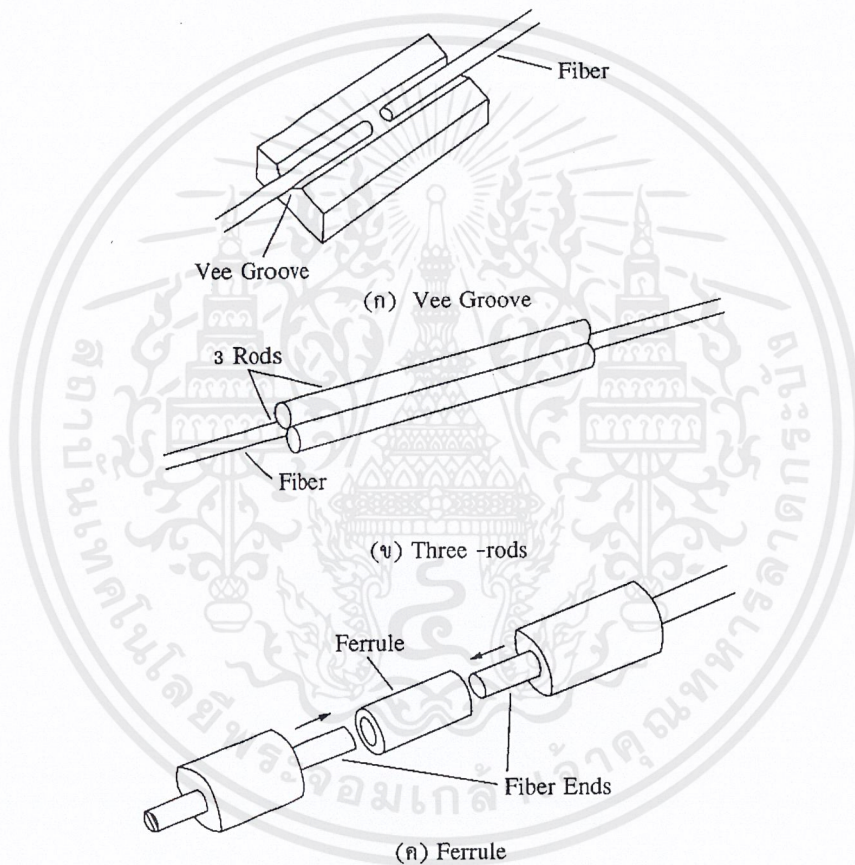
รูปที่ 2.21 แสดงการขยายมาตราส่วนบนหน้าจอโอทีดีอาร์

เอกสารนี้เป็นเอกสารที่สงวนไว้สำหรับการใช้งานเพื่อการศึกษาเท่านั้น ไม่อนุญาตให้นำไปใช้ประโยชน์ด้านการค้า ไม่ว่าจะกรณีใดๆ ทั้งสิ้น อีกทั้งห้ามมิให้ดัดแปลงเนื้อหาและต้องอ้างอิงถึงเจ้าของเอกสารทุกครั้งที่มีการนำไปใช้

2.7 การเชื่อมต่อเส้นใยแก้วนำแสง

การเชื่อมต่อเส้นใยแก้วนำแสงมีหลายวิธี ซึ่งจะเลือกวิธีใดก็ได้แล้วแต่ความเหมาะสมกับงานต่างๆ ที่ต้องการที่ต้องการติดตั้งในระบบสื่อสาร ดังรายละเอียดดังต่อไปนี้

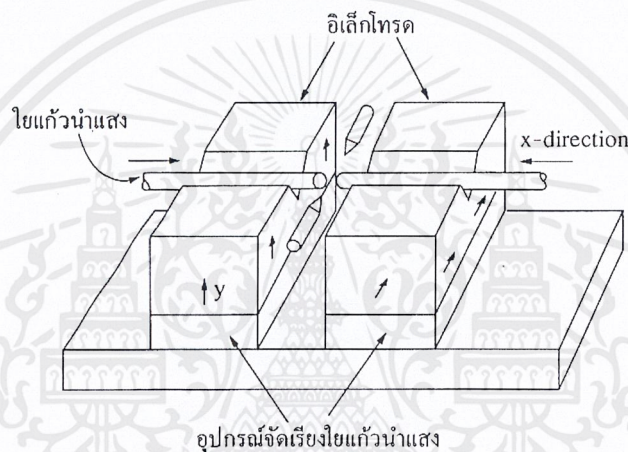
2.7.1 การเชื่อมต่อด้วยวิธีการเชื่อมต่อเชิงกล(Mechanical Splice) หลักการทั่วไปของการเชื่อมต่อเชิงกลคือการวางเส้นใยแก้วนำแสงให้อยู่ในแนวเดียวกัน โดยใช้อุปกรณ์ที่เหมาะสมและพยายามทำให้ปลายทั้งสองของใยแก้วนำแสงอยู่ชิดกันมากที่สุด ซึ่งการออกแบบอุปกรณ์ต่างๆ ในการเชื่อมต่อนี้จะช่วยลดการสูญเสียแสงเนื่องจากการติดตั้งจากการเบี่ยงเบนในแนวต่างๆ ลง



รูปที่ 2.22 แสดงการเชื่อมต่อใยแก้วนำแสงเชิงกลแบบต่าง ๆ

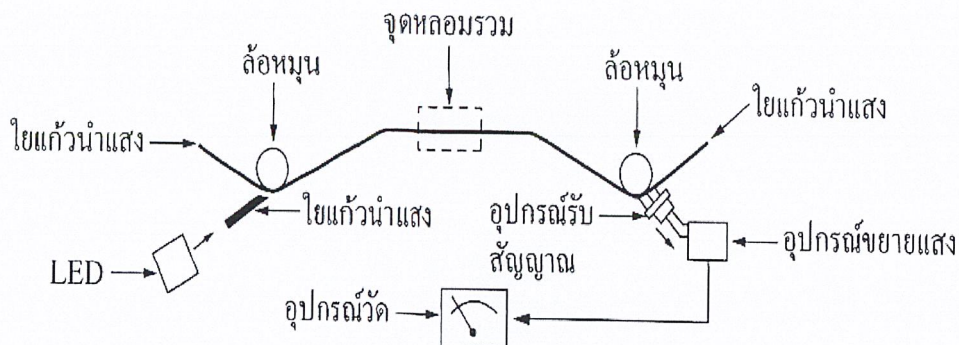
2.7.2 การเชื่อมต่อด้วยวิธีหลอมรวม (Fusion Splice)

การเชื่อมต่อด้วยวิธีหลอมรวมเป็นวิธีการเชื่อมต่อเส้นใยแก้วนำแสงเส้นเข้าด้วยกันโดยการให้ความร้อนปลายเส้นใยแก้ว จากนั้นปลายของเส้นใยแก้วนำแสงจะถูกดันมาเชื่อมกัน การเชื่อมต่อลักษณะนี้เป็นการเชื่อมต่อแบบถาวร เส้นใยแก้วที่เชื่อมต่อกันแล้วจะดูเหมือนว่าเป็นเส้นเดียวกัน การสูญเสียที่เกิดจากการเชื่อมต่อแบบนี้มีค่าอยู่ระหว่าง 0.0102 dB ในขั้นตอนของการเชื่อมต่อนั้นความร้อนที่ทำให้ปลายเส้นใยแก้วนำแสงอ่อนตัวมาจากประกายไฟที่เกิดจากการอาร์กกระหว่างขั้วอิเล็กโทรดในการหลอมรวม ดังรูปที่ 2.23



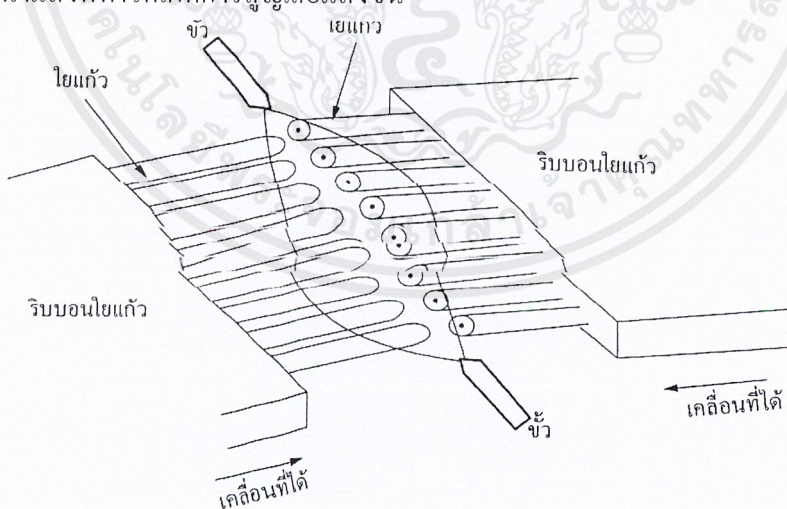
รูปที่ 2.23 แสดงการเชื่อมต่อแบบหลอมรวม

สำหรับการเชื่อมต่อแบบหลอมรวมแบบเดิมนั้นการปรับตำแหน่งการวางตัวของเส้นใยแก้วนำแสง 2 เส้น อาศัยวิธีการปรับฐานรองด้วยการสังเกตผ่านกล้องขยาย แต่ในปัจจุบันมีการใช้วิธีการทางแสงมาช่วยในการจัดวางดังกล่าว ทั้งนี้เพื่อให้การดำเนินงานเป็นไปอย่างอัตโนมัติ วิธีการนี้มีชื่อว่า แอลไอดี (Light Injection Detection) แสดงดังรูปที่ 2.24



รูปที่ 2.24 แสดงการหลอมรวมแบบแอลไอดี

โดยอาศัยหลักการตรวจวัดปริมาณแสงที่ได้จากเส้นใยแก้วนำแสงเส้นที่ 2 ซึ่งส่งผ่านมาจากเส้นใยแก้วเส้นที่ 1 ถ้าพบว่าการวางตัวของเส้นใยแก้วทั้งสองอยู่ในตำแหน่งที่เหมาะสม ปริมาณแสงที่ตรวจวัดได้จะมีค่ามากที่สุดพร้อมที่จะทำการหลอมรวม แสงที่ใช้ในการตรวจสอบมาจากการส่งผ่านแสงของแอลไอดี เข้าไปในบริเวณที่เส้นใยแก้วนำแสงถูกทำให้โค้ง โดยท่อทรงกระบอกซึ่งมีรัศมีเล็กประมาณ 2-3 มิลลิเมตร และการตรวจวัดแสงก็อาศัยอุปกรณ์รับแสง ซึ่งวางชิดบริเวณที่ถูกทำให้โค้งของเส้นใยแก้วนำแสง วิธีการฉายแสงและตรวจวัดแสงดังกล่าว อาศัยคุณสมบัติของใยแก้วนำแสงเกี่ยวกับการโค้งงอของเส้นใยแก้วนำแสงที่ทำให้เกิดการสูญเสียแสงขึ้น



รูปที่ 2.25 แสดงการหลอมรวมในกรณีที่ต้องการเชื่อมต่อเส้นใยแก้วนำแสงหลาย ๆ เส้นพร้อมกัน (Ribbon Fiber) ซึ่งทำให้สามารถทำงานได้รวดเร็วขึ้นด้วย

เอกสารนี้เป็นเอกสารที่สงวนไว้สำหรับการใช้งานเพื่อการศึกษาเท่านั้น ไม่อนุญาตให้นำไปใช้ประโยชน์ด้านการค้า ไม่ว่ากรณีใดๆ ทั้งสิ้น อีกทั้งห้ามมิให้ดัดแปลงเนื้อหาและต้องอ้างอิงถึงเจ้าของเอกสารทุกครั้งที่มีการนำไปใช้

2.7.3 การเชื่อมต่อด้วยหัวเชื่อมต่อ (Connector)

การเชื่อมต่อเส้นใยแก้วนำแสงแบบใช้หัวเชื่อมต่อซึ่งอำนวยความสะดวกให้กับผู้ใช้ในการถอดเปลี่ยนได้ตามความจำเป็น ในปัจจุบันมีการผลิตหัวเชื่อมต่อสำหรับใยแก้วนำแสงออกมาหลายรูปแบบ ซึ่งการเลือกใช้แบบใดก็ขึ้นอยู่กับสภาพการใช้งานเป็นหลัก โดยทั่วไปแล้วหัวเชื่อมต่อได้ถูกออกแบบมาเพื่อช่วยทำให้ปลายเส้นใยแก้วนำแสงสองเส้นอยู่ใกล้กันมากที่สุดเท่าที่จะทำได้ นอกจากนี้หัวเชื่อมต่อยังต้องมีคุณสมบัติอื่น ๆ เช่น แข็งแรง ทนทาน เมื่อใช้งานทำให้เกิดการสูญเสียของแสงต่ำและมีราคาถูก เป็นต้น

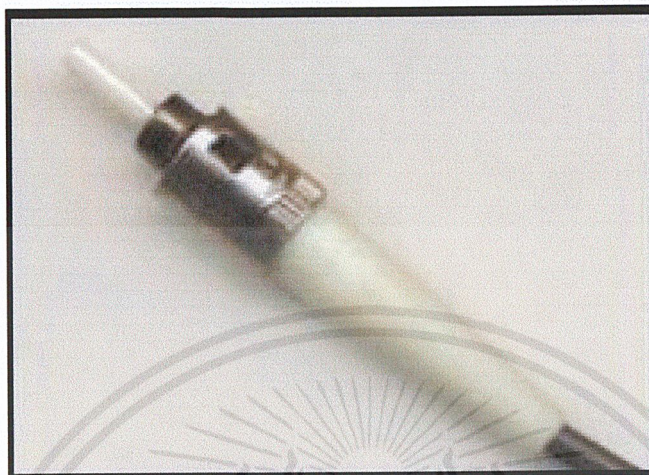
1. หัวต่อเอฟซี (FC) หัวต่อ FC ได้รับการออกแบบและผลิตออกมาครั้งแรกโดยบริษัท เอ็น ที ที ของญี่ปุ่น ดังรูปที่ 2.26



รูปที่ 2.26 แสดงหัวต่อเอฟซี (FC)

ซึ่งนอกจากจะได้รับความนิยมใช้ในญี่ปุ่นแล้วยังมีการใช้หัวต่อชนิดนี้อย่างมากในยุโรปและสหรัฐอเมริกา ส่วนมากหัวต่อชนิดนี้จะนำไปใช้งานด้านเครือข่ายโทรศัพท์ เนื่องจากหัวต่อชนิดนี้อาศัยการขันเกลียวเพื่อยึดติดกับหัวปรับ ข้อดีของหัวต่อชนิดนี้คือทำให้การเชื่อมต่อแน่นหนาแต่ข้อเสียก็คือการเชื่อมต่อเสียเวลามาก

2. หัวต่อเอสที (ST) หัวต่อนี้ได้รับการออกแบบโดยบริษัท เอ ที แอนด์ ที นิยมใช้กับการเชื่อมต่อเส้นใยแก้วนำแสงภายในตึกหรือสำนักงาน ซึ่งเป็นเครือข่ายท้องถิ่น เหมาะกับงานที่ต้องการถอดเปลี่ยนหัวต่ออย่างรวดเร็ว โดยไม่สนใจความหนาแน่นของหัวต่อ ดังรูปที่2.27



รูปที่2.27 แสดงหัวต่อเอสที(ST)

3. หัวต่อเอสซี (SC) ได้รับการออกแบบครั้งแรกโดยบริษัทเอ็นทีที (NTT)แห่งญี่ปุ่น หัวต่อชนิดนี้ใช้งานง่ายแค่ดันหัวต่อเข้าไปก็ใช้งานได้แล้ว หัวต่อชนิดนี้ได้ถูกออกแบบมาให้ใช้แทนหัวต่อเอฟซี(FC)ในงานด้านสื่อสารและหัวต่อเอสที (ST) ในงานเครือข่ายคอมพิวเตอร์อีกด้วยดังรูปที่2.28



รูปที่2.28 แสดงหัวต่อเอสซี (SC)

เอกสารนี้เป็นเอกสารที่สงวนไว้สำหรับการใช้งานเพื่อการศึกษาเท่านั้น ไม่อนุญาตให้นำไปใช้ประโยชน์ด้านการค้าไม่ว่ากรณีใดๆ ทั้งสิ้น อีกทั้งห้ามมิให้ดัดแปลงเนื้อหาและต้องอ้างอิงถึงเจ้าของเอกสารทุกครั้งที่มีการนำไปใช้

Series	Dimension (mm)	Features	Insertion Loss		Loss Repeat Ability
			MM	SM	
SC	57(L)x 7(H)x6 (W)	Push-pull Anti-corrosive High Reliability	<0.4 dB	<0.4 dB	1,000 Times
FC	42(L)x ϕ 15	Screw High Reliability Maintaining Stability	<0.4 dB	<0.5 dB	1,000 Times
ST	45(L)x ϕ 8	Bayonet Quick Interconnect High Reliability	<0.6 dB	<0.7 dB	1,000 Times

ตารางที่ 2.1 แสดงคุณลักษณะหัวต่อ เอสซี,เอสที และ เอฟซี

4. หัวต่อเอฟดีดีไอ (FDDI) ได้รับการออกแบบโดยสถาบันมาตรฐานอเมริกา (American National Standard Institute ANSI) สำหรับใช้ในเครือข่าย FDDI (Fiber Optic Distributed Data Interfacing) แสดงดังรูปที่ 2.29



รูปที่ 2.29 แสดงหัวต่อเอฟดีดีไอ (FDDI)

เอกสารนี้เป็นเอกสารที่สงวนไว้สำหรับการใช้งานเพื่อการศึกษาเท่านั้น ไม่อนุญาตให้นำไปใช้ประโยชน์ด้านการค้า
ไม่ว่ากรณีใดๆ ทั้งสิ้น อีกทั้งห้ามมิให้ดัดแปลงเนื้อหาและต้องอ้างอิงถึงเจ้าของเอกสารทุกครั้งที่มีการนำไปใช้

5. หัวต่อเอสเอ็มเอ (SMA) เป็นหัวต่ออีกชนิดหนึ่งที่นิยมใช้กันอย่างมาก โดยเฉพาะในงานของนาโต (NATO) และกิจการทหารของประเทศสหรัฐอเมริกา หัวต่อ SMA นี้ได้รับการออกแบบโดยบริษัทแอมเฟินอล คอร์ปอเรชัน (Amphenol Corporation) แสดงดังรูปที่ 2.30



รูปที่ 2.30 แสดงหัวต่อเอสเอ็มเอ (SMA)

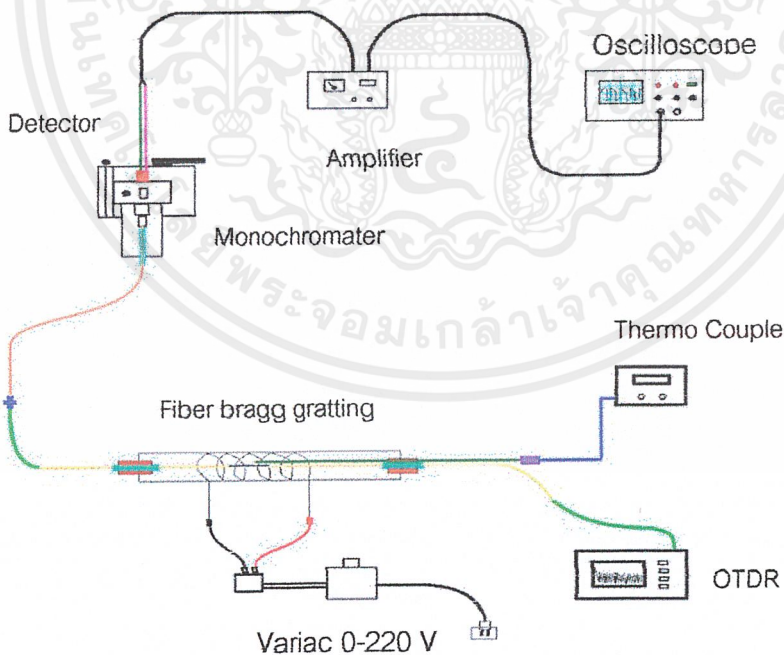
เอกสารนี้เป็นเอกสารที่สงวนไว้สำหรับการใช้งานเพื่อการศึกษาเท่านั้น ไม่อนุญาตให้นำไปใช้ประโยชน์ด้านการค้า ไม่ว่าจะกรณีใดๆ ทั้งสิ้น อีกทั้งห้ามมิให้ดัดแปลงเนื้อหาและต้องอ้างอิงถึงเจ้าของเอกสารทุกครั้งที่มีการนำไปใช้

บทที่ 3

การวิจัยและการดำเนินงาน

3.1 การจัดการทดลอง

เกรตติงใยแก้วนำแสงนั้นสามารถนำไปใช้ประยุกต์ในการทำเป็นเซ็นเซอร์ เช่น เซนเซอร์อุณหภูมิ ความดัน แรง ซึ่งส่วนใหญ่จะใช้หลักการในการวัดความยาวคลื่นที่เปลี่ยนแปลงไปเมื่อเกรตติงใยแก้วนำแสงได้รับความร้อน ความดัน หรือแรง ที่ทำให้ระยะความห่างของริ้วค้ำนี้หักเหในเกรตติงใยแก้วนำแสงหรือพิทช์(Pitch Λ) มีการเปลี่ยนแปลงก็จะทำให้ความยาวคลื่นที่สะท้อนและทะลุผ่านออกมามีการเปลี่ยนแปลง ซึ่งหากเรานำเกรตติงใยแก้วนำแสงมาประยุกต์ใช้ในการเปลี่ยนความยาวคลื่นของแหล่งกำเนิดแสง โดยในโครงงานพิเศษนี้คณะผู้ค้นคว้าเลือกใช้การให้ความร้อนแก่เกรตติงใยแก้วนำแสงเพื่อเปลี่ยนความยาวคลื่นแสง โดยเลือกใช้สัญญาณที่ทะลุผ่านออกมาจากเกรตติงใยแก้วนำแสง ซึ่งจะเกิดการสูญเสีย(Loss)ของสัญญาณน้อยกว่าเลือกใช้สัญญาณสะท้อนเนื่องจากไม่ต้องต่อคัปเปิลเลอร์(coupler)และการสะท้อนของความยาวคลื่นแบรกก์ก็มีการสะท้อนไม่ถึง 100% จึงทำให้สัญญาณที่สะท้อนออกมามีการสูญเสียสูงกว่าสัญญาณที่ทะลุผ่านออกมา ทางผู้ค้นคว้าจึงเลือกใช้สัญญาณที่ทะลุผ่านออกมา โดยจัดระบบการทดลองดังรูปที่ 3.1 มีส่วนประกอบต่างๆคือ

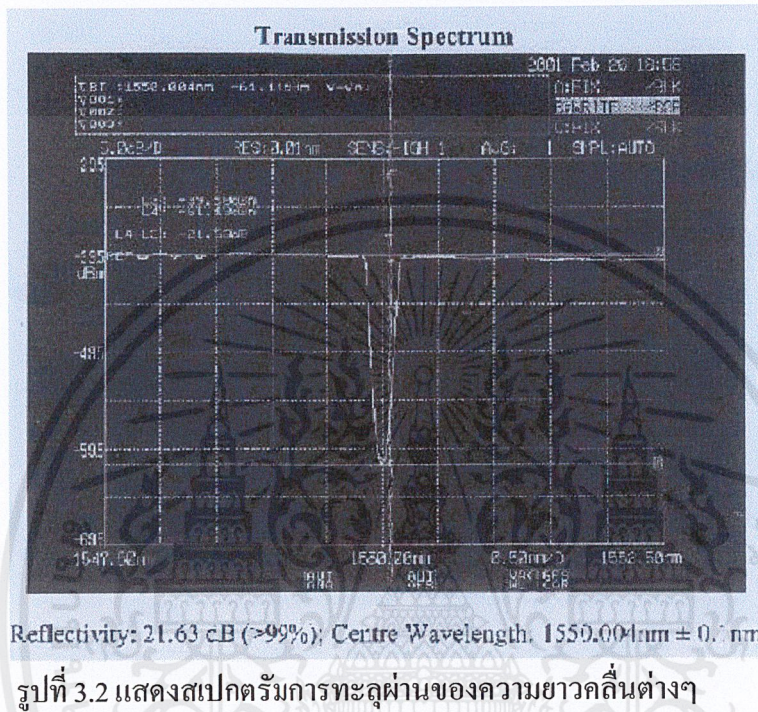


รูปที่ 3.1 ระบบชุดการทดลอง

เอกสารนี้เป็นเอกสารที่สงวนไว้สำหรับการใช้งานเพื่อการศึกษาเท่านั้น ไม่อนุญาตให้นำไปใช้ประโยชน์ด้านการค้า ไม่ว่าจะกรณีใดๆ ทั้งสิ้น อีกทั้งห้ามมิให้ดัดแปลงเนื้อหาและต้องอ้างอิงถึงเจ้าของเอกสารทุกครั้งที่มีการนำไปใช้

3.1.1 เกรตติงใยแก้วนำแสง

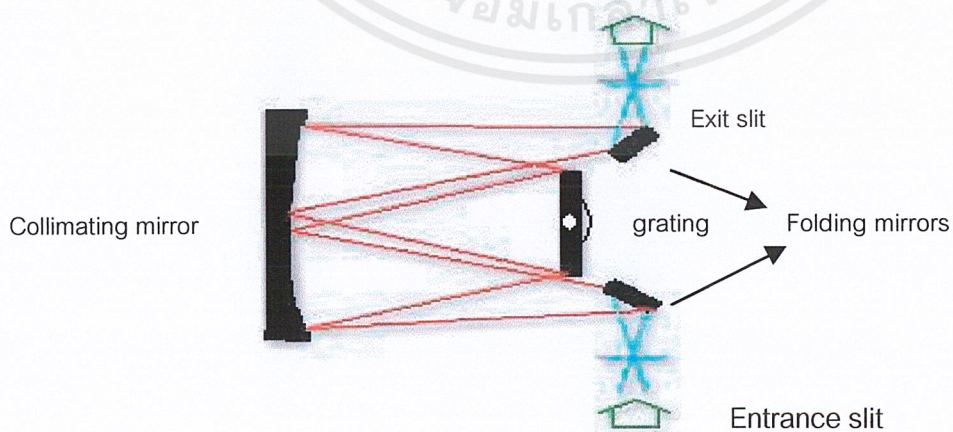
เกรตติงใยแก้วนำแสงที่ใช้มีค่าความยาวคลื่นกลาง(Centre Wavelength)ที่ 1550.004 นาโนเมตร ± 0.1 นาโนเมตร ค่าการสะท้อน 21.63 dB โดยรูปที่ 3.2 แสดงการทะลุผ่านของสัญญาณจากเกรตติงใยแก้วนำแสงที่ใช้



3.1.2 โมโนโครเมเตอร์(monochromator)

ทำหน้าที่แยกแสงที่ความยาวคลื่นต่างๆ โดยไดอะแกรมของโมโนโครเมเตอร์แสดงดังรูป

ที่ 3.3



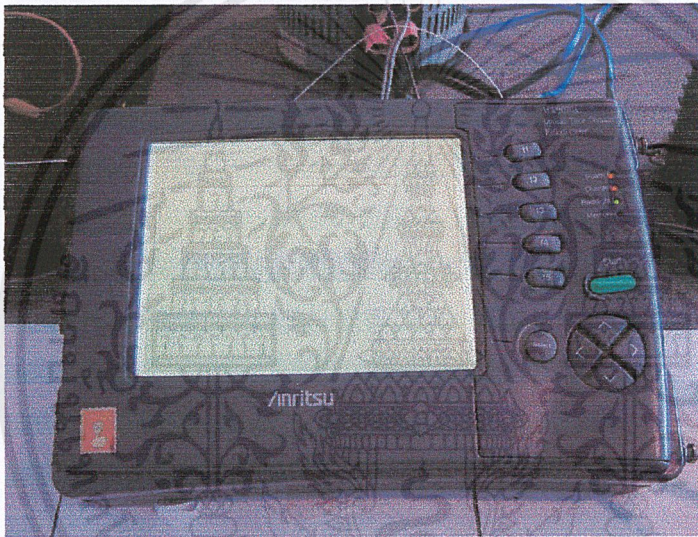
รูปที่ 3.3 ไดอะแกรมโมโนโครเมเตอร์

เอกสารนี้เป็นเอกสารที่สงวนไว้สำหรับการใช้งานเพื่อการศึกษาเท่านั้น ไม่อนุญาตให้นำไปใช้ประโยชน์ด้านการค้า ไม่ว่าจะกรณีใดๆ ทั้งสิ้น อีกทั้งห้ามมิให้ดัดแปลงเนื้อหาและต้องอ้างอิงถึงเจ้าของเอกสารทุกครั้งที่มีการนำไปใช้

หลักการของโมโนโครเมเตอร์คือเมื่อแสงเข้ามาทางสลิต(entrance slit)จะสะท้อนผ่านกระจก (folding mirror) ไปตกกระทบบนที่กระจกคอลลิเมตติง(collimating mirror) และสะท้อนไปยังเกรตติง จะให้แสงที่มีความยาวคลื่นต่างตามการตกกระทบบนเกรตติง ซึ่งสามารถปรับเลือกความยาวคลื่นที่ออกจากโมโนโครเมเตอร์ได้ แสงจากเกรตติงจะสะท้อนกลับไปยังกระจกคอลลิเมตติงสะท้อนออกไปยังสลิต(exit slit) โมโนโครเมเตอร์ที่ใช้ในการทดลองเป็นของบริษัทเอ็ดมุนด์ ออปติก(Edmund Industrial Optics™) รุ่น ดีเอ็มซี1-05 (DMC1-05)

3.1.3 แหล่งกำเนิดคลื่น

ใช้สัญญาณจากเครื่องออปติคอลไทม์โดเมนรีเฟล็กโตมิเตอร์(Optical Time Domain Reflectometer)หรือโอทีดีอาร์(OTDR) ของบริษัทแอนริส คอรัเปอร์เรชั่น(Anritsu Corp.) รุ่นเอ็มดับเบิลยู9070เอ(MW 9070A) ให้ความยาวคลื่นกลางที่ 1336 นาโนเมตร



รูปที่ 3.4 แสดงการส่งคลื่นแสงจากเครื่อง โอทีดีอาร์

3.1.4 ตัวตรวจจับสัญญาณ(detector)

ทำหน้าที่วัดความเข้มแสงที่ความถี่ต่างๆจากการปรับจากโมโนโครเมเตอร์ โดยตัวตรวจจับสัญญาณที่นิยมใช้มีทั้งชนิดที่ทำจากซิลิกอน(Si)และเจอร์มาเนียม(Ge) ซึ่งมีช่วงใช้งานต่างกันคือ

- Si-detector ตรวจจับได้ที่ความยาวคลื่น 350 – 1100 นาโนเมตร
- Ge-detector ตรวจจับได้ที่ความยาวคลื่น 600 – 1720 นาโนเมตร

เนื่องจากในโครงการพิเศษนี้ใช้แหล่งกำเนิดคลื่นที่มีความยาวคลื่นกลาง 1336 นาโนเมตร จึงใช้ตัวตรวจจับที่ทำจากเจอร์มาเนียม ชนิดพิน(PIN)

3.1.5 ตัวจับยึดเส้นใยแก้วนำแสง(fiber shuck)

ใช้จับยึดเส้นเกรตติงใยแก้วนำแสงที่ปลายหลอดแก้วทั้ง 2 ด้านและจับยึดเส้นใยแก้วนำแสงหน้าเลนส์สำหรับทำให้แสงออกมาเป็นลำแสงขนาน

3.1.5 แท่นเลื่อน(translation stage)

ใช้จับยึดและปรับตำแหน่งของโมโนโครเมเตอร์ ที่รับแสงที่ออกจากเลนส์ที่ทำให้แสงออกมาเป็นแสงขนาน เพื่อให้โมโนโครเมเตอร์สามารถรับแสงได้ในตำแหน่งที่เหมาะสม

3.1.6 เทอร์โมคัปเปิล(Thermo couple)

ใช้ในการวัดอุณหภูมิภายในหลอดแก้วที่บรรจุเกรตติงใยแก้วนำแสง

3.1.7 ตัวปรับแรงดันไฟฟ้า(Variac)

ใช้ปรับแรงดันที่ให้กับขดลวดความร้อน ซึ่งใช้ลวดนิโครม ขนาด 600 วัตต์ ปรับแรงดันไฟฟ้ากระแสสลับได้ในช่วง 0 – 220 โวลต์

3.1.8 ออสซิลโลสโคป(oscilloscope)

ใช้วัดแอมพลิจูดของความเข้มแสง โดยวัดแอมพลิจูดแบบยอดคลื่นถึงยอดคลื่น(Peak-Peak)

3.1.9 ส่วนขยายสัญญาณ(Amplifier)

ใช้ในการขยายสัญญาณที่ได้รับจากตัวตรวจจับสัญญาณ(detector) โดยใช้สัญญาณที่ต่อจากเครื่อง บรอดแบนด์ เพาเวอร์/เอนเนอร์จี มิเตอร์(Broadband Power/Energy Meter) ซึ่งให้สัญญาณออกมาในรูปแรงดัน

3.1.10 เลนส์ขยายลำแสง

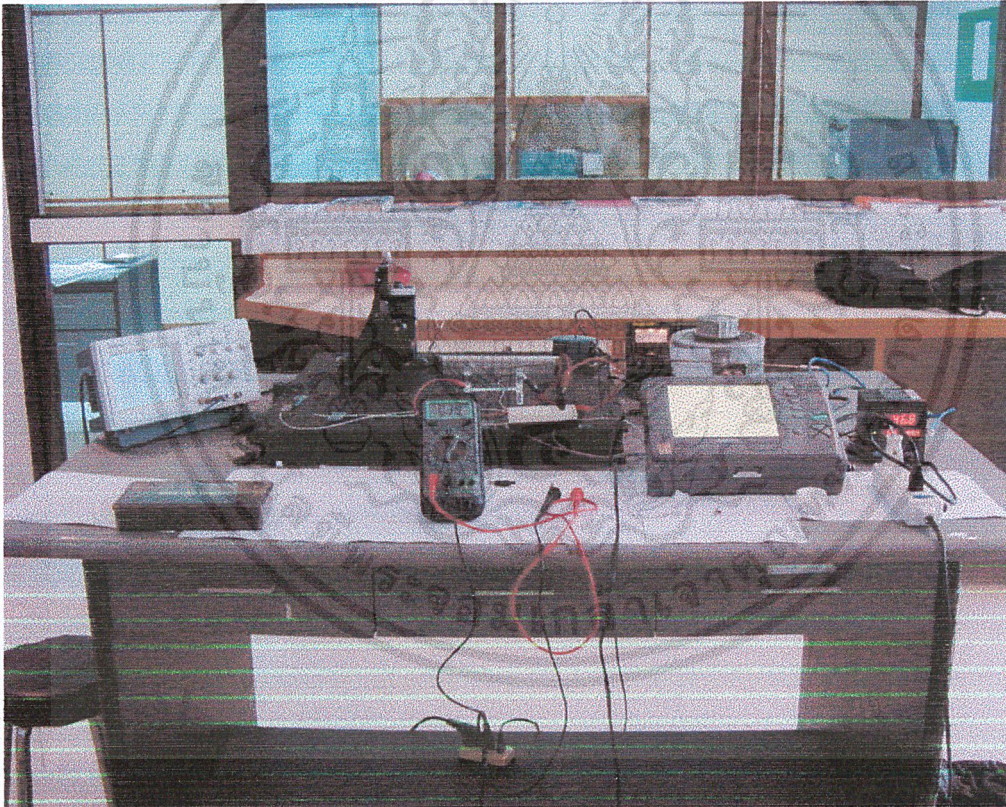
ใช้ในการขยายลำแสงจากสัญญาณที่ทะลุผ่านจากเกรตติงใยแก้วนำแสงก่อนเข้าสู่โมโนโครเมเตอร์และทำให้แสงออกเป็นแสงขนาน

3.1.11 หลอดแก้วทนความร้อน

ใช้ในการบรรจุเกรตติงใยแก้วนำแสงเพื่อให้ความร้อน โดยใช้แก้วกวางชนิดโบโรซิลิเกต ขนาด 3.2 เซนติเมตร ปลายเปิดทั้งสองด้านและใช้แก้วกวางขนาด 1.7 เซนติเมตรเพื่อให้คอนเนคเตอร์ของเกรตติงใยแก้วนำแสงสามารถร้อยผ่านได้และยึดเส้นเกรตติงใยแก้วนำแสงด้วยตัวจับยึดเส้นใยแก้วนำแสง (fiber shuck) ช่องว่างระหว่างแก้วใช้วางทนความร้อนในการยึดหลอดแก้วทั้ง 2 ขนาดและตัวจับยึดเส้นไฟเบอร์(fiber shuck) โดยด้านหนึ่งเจาะรูไว้สำหรับสอดหัววัดอุณหภูมิจากเทอร์โมคัปเปิลด้วย

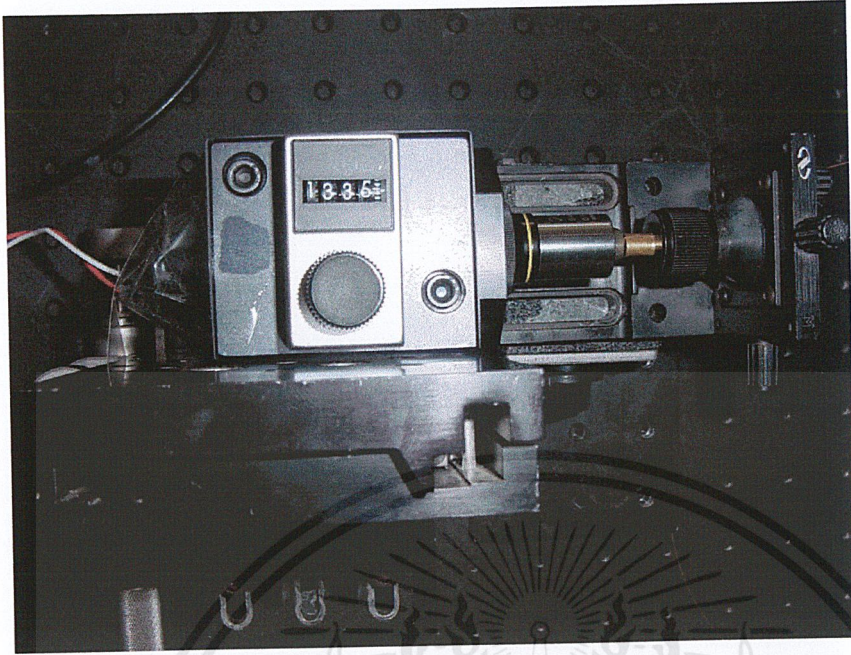
หลักการทํางานของระบบ

ให้แสงจากเครื่อง OTDR ผ่านเข้าไปในเส้นเกรตติงใยแก้วนำแสง ซึ่งใส่ไว้ในหลอดแก้วทนความร้อน ซึ่งภายในมีขดลวดนิโครมสำหรับให้ความร้อนอยู่ภายใน โดยความร้อนปรับได้จากการปรับจกตัวปรับแรงดันไฟฟ้า และวัดอุณหภูมิจากเทอร์โมคัปเปิล เมื่อสัญญาณแสงผ่านออกไปอีกด้านของเกรตติงใยแก้วนำแสงต่อสัญญาณที่ออกจากแบรคเกรตติงเข้ายังเส้นใยแก้วนำแสงอีกเส้นซึ่งมีหัวคอนเนคเตอร์เพียงด้านเดียว อีกด้านหนึ่งตัดปลายให้เรียบจับยึดโดยตัวจับยึดใยแก้วนำแสงที่แสงที่ออกมาเข้าสู่เลนส์ขยายลำแสงและทำให้แสงออกเป็นแสงขนานผ่านเข้าไปยัง โมโน โครเมเตอร์เพื่อปรับเลือกความยาวคลื่นที่ต้องการให้ทะลุผ่านและวัดความเข้มแสงที่ความยาวคลื่นต่างๆ โดยตัวตรวจจับสัญญาณ(detector) สัญญาณจะถูกขยายและส่งต่อมายังเครื่องออสซิลโลสโคปเพื่อวัดแอมพลิจูดของความเข้มแสง

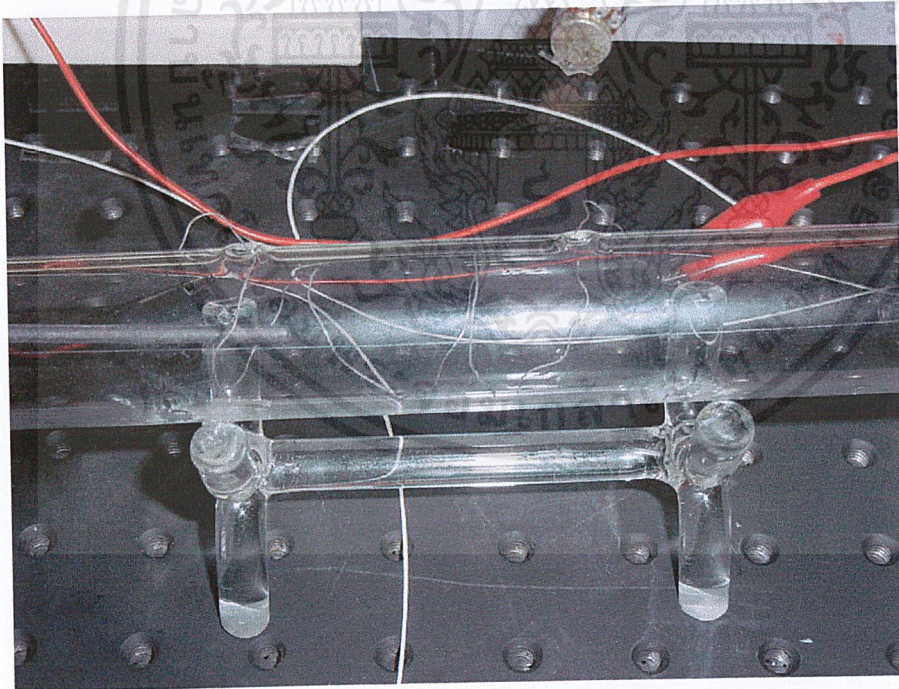


รูปที่ 3.5 แสดงการจัดระบบการทดลอง

เอกสารนี้เป็นเอกสารที่สงวนไว้สำหรับการใช้งานเพื่อการศึกษาเท่านั้น ไม่อนุญาตให้นำไปใช้ประโยชน์ด้านการค้า ไม่ว่าจะกรณีใดๆ ทั้งสิ้น อีกทั้งห้ามมิให้ดัดแปลงเนื้อหาและต้องอ้างอิงถึงเจ้าของเอกสารทุกครั้งที่มีการนำไปใช้

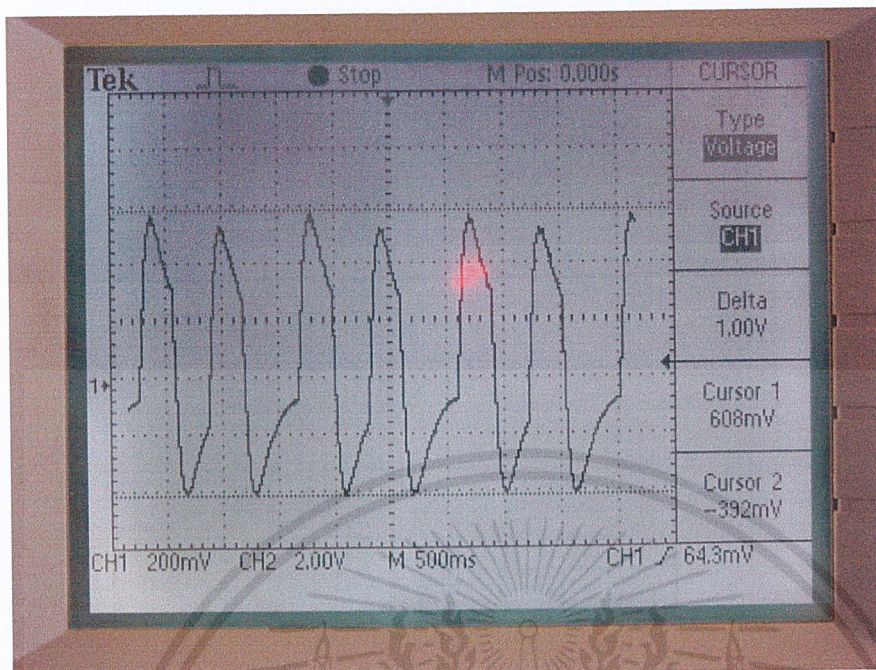


รูปที่ 3.6 แสดงการต่อใยแก้วนำแสง ที่จับยึด โดยตัวจับยึดใยแก้วนำแสง เลนส์ โมโนโครเมเตอร์ ดีเทคเตอร์

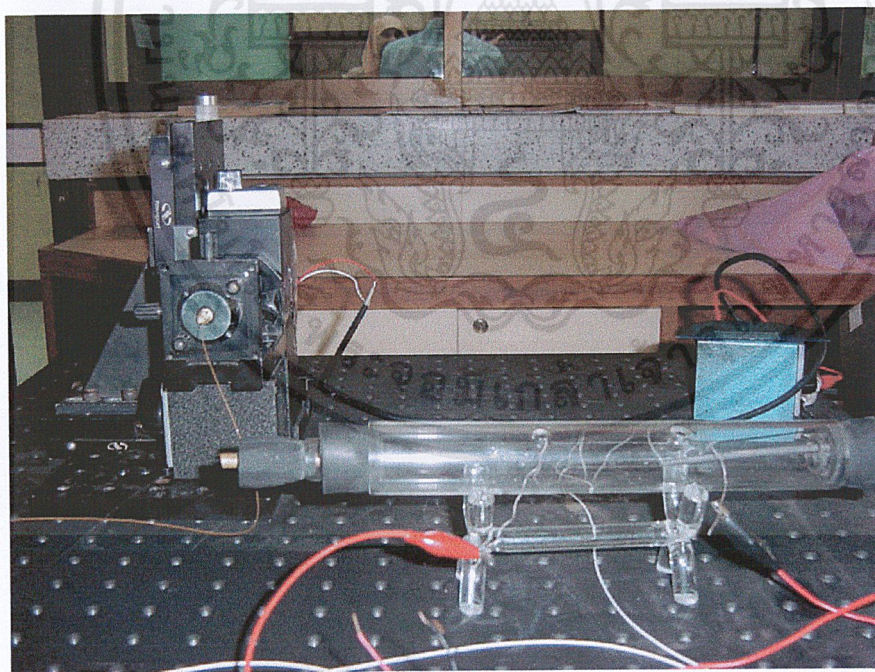


รูปที่ 3.7 แสดงการร้อยเกรตติงใยแก้วนำแสงผ่านหลอดแก้ว

เอกสารนี้เป็นเอกสารที่สงวนไว้สำหรับการใช้งานเพื่อการศึกษาเท่านั้น ไม่อนุญาตให้นำไปใช้ประโยชน์ด้านการค้า ไม่ว่าจะกรณีใดๆ ทั้งสิ้น อีกทั้งห้ามมิให้ดัดแปลงเนื้อหาและต้องอ้างอิงถึงเจ้าของเอกสารทุกครั้งที่มีการนำไปใช้



รูปที่ 3.8 แสดงรูปสัญญาณที่วัดได้จากออสซิลโลสโคป



รูปที่ 3.9 แสดงการจับยึดเส้นใยแก้วนำแสงโดยใช้ตัวจับยึดใยแก้วนำแสงที่ปลายหอดแก้วและที่ชุดติดตั้งเลนส์

เอกสารนี้เป็นเอกสารที่สงวนไว้สำหรับการใช้งานเพื่อการศึกษาเท่านั้น ไม่อนุญาตให้นำไปใช้ประโยชน์ด้านการค้า ไม่ว่าจะกรณีใดๆ ทั้งสิ้น อีกทั้งห้ามมิให้ดัดแปลงเนื้อหาและต้องอ้างอิงถึงเจ้าของเอกสารทุกครั้งที่มีการนำไปใช้

3.2 วิธีการทดลอง

- 1.จัดระบบการทดลองดังรูปที่ 3.1 โดยยังไม่ต้องเสียบปลั๊กของตัวปรับแรงดันไฟฟ้า (Variac)และปรับเริ่มต้นไว้ที่ 0 โวลต์ ปรับโมโนโครเมเตอร์เริ่มต้นไว้ที่ 1330 นาโนเมตร
- 2.เปิดเครื่องโอทีดีอาร์ กดปุ่ม start เปิดเครื่องบรอดแบนด์ เพาเวอร์/เอนเนอร์จี มิเตอร์ (Broadband Power/Energy Meter) และออสซิลโลสโคป ปรับตำแหน่งของโมโนโครเมเตอร์จากแท่นเลื่อน(translation stage) ให้สามารถอ่านค่าให้ได้แอมพลิจูดสูงสุดบันทึกอุณหภูมิเริ่มต้นของการทดลองจากเทอร์โมคัปเปิล และปรับโมโนโครเมเตอร์ลงไปที่ 1270 นาโนเมตร
- 3.บันทึกค่าแอมพลิจูด ที่ความยาวคลื่นตั้งแต่ 1270 นาโนเมตรและปรับเพิ่มโมโนโครเมเตอร์ ทีละ 1 นาโนเมตรบันทึกค่าสัญญาณจะเพิ่มขึ้นเรื่อยๆจนกระทั่งสัญญาณน้อยลงอีกครั้งจนอ่านค่าแอมพลิจูดไม่ได้ โดยใช้อัตราขยายจากเครื่องบรอดแบนด์ เพาเวอร์/เอนเนอร์จี มิเตอร์ (Broadband Power/Energy Meter) ค่าเดียวกันตลอดการทดลอง
- 4.เสียบปลั๊กตัวปรับแรงดันไฟฟ้า (Variac)อย่าเพิ่งปรับตัวปรับแรงดันไฟฟ้า(Variac) อุณหภูมิจะเริ่มเพิ่มขึ้นเนื่องจากแรงดัน จากตัวปรับแรงดันไฟฟ้า(Variac)จะไม่อยู่ที่ 0 โวลต์พอดี รองจนกว่าอุณหภูมิจะคงที่ที่อุณหภูมิหนึ่งค่อยๆปรับตัวปรับแรงดันไฟฟ้า (Variac) เพิ่มขึ้นช้าๆรองจนกว่าอุณหภูมิจะคงที่ จนได้อุณหภูมิกงที่ที่ 30,40 และ 50 องศาเซลเซียส บันทึกค่าแอมพลิจูดดังการทดลองข้อ 3.ทำการทดลองซ้ำ
- 5.นำค่าแอมพลิจูดกับความยาวคลื่นไปเขียนกราฟที่อุณหภูมิต่างๆ

บทที่ 4

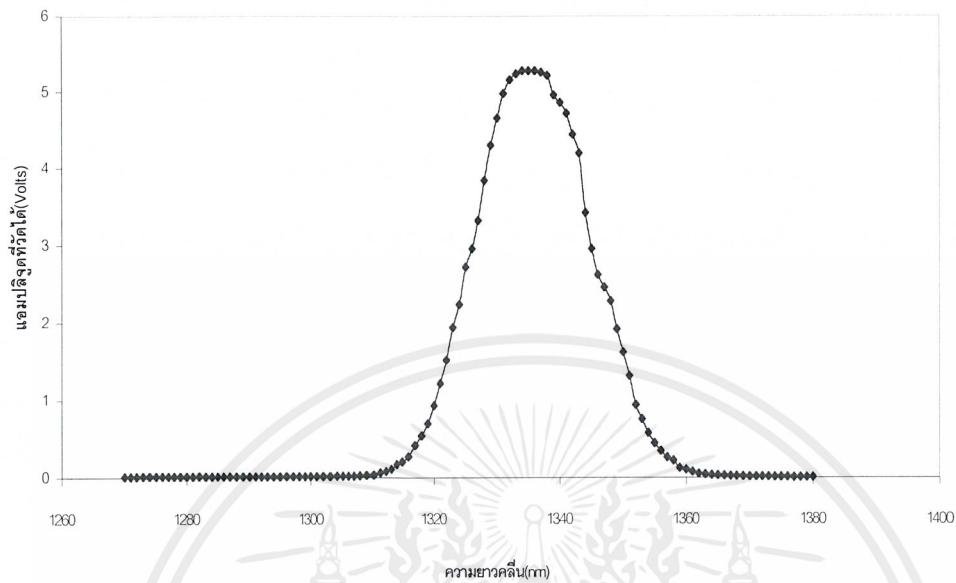
ผลการวิจัยและวิจารณ์

4.1 ผลการวิจัย

เป็นผลจากการวัดแอมพลิจูดของความเข้มแสงที่ความยาวคลื่นต่างๆของแต่ละอุณหภูมิเป็นดังผลจากการวิเคราะห์ห้ข้อมูลออกมาในรูปกราฟที่ 4.1 - 4.10 ซึ่งเป็นผลที่ได้จากการสลับเปลี่ยนการอ่านค่าของผู้วิจัยและทำการทดลองคนละวันกัน โดยค่าอุณหภูมิมีค่าเปลี่ยนแปลงอยู่ในช่วงระหว่าง ± 0.2 องศาเซลเซียส

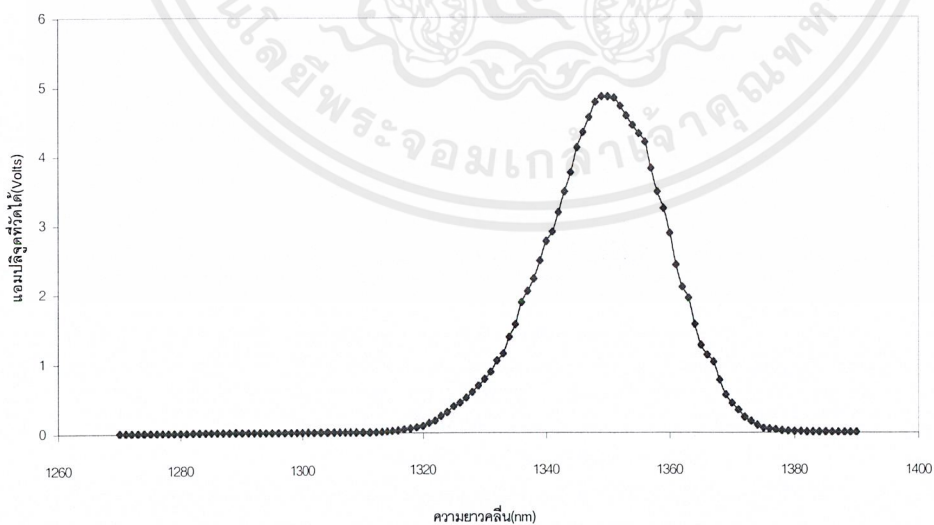


กราฟความยาวคลื่นกับความเข้มแสงที่อุณหภูมิ 25 องศาเซลเซียส



รูปกราฟที่ 4.1 กราฟความยาวคลื่นกับความเข้มแสงที่อุณหภูมิ 25 องศาเซลเซียสครั้งที่ 1
ค่าความยาวคลื่นกลางอยู่ที่ 1335 -1337 นาโนเมตร

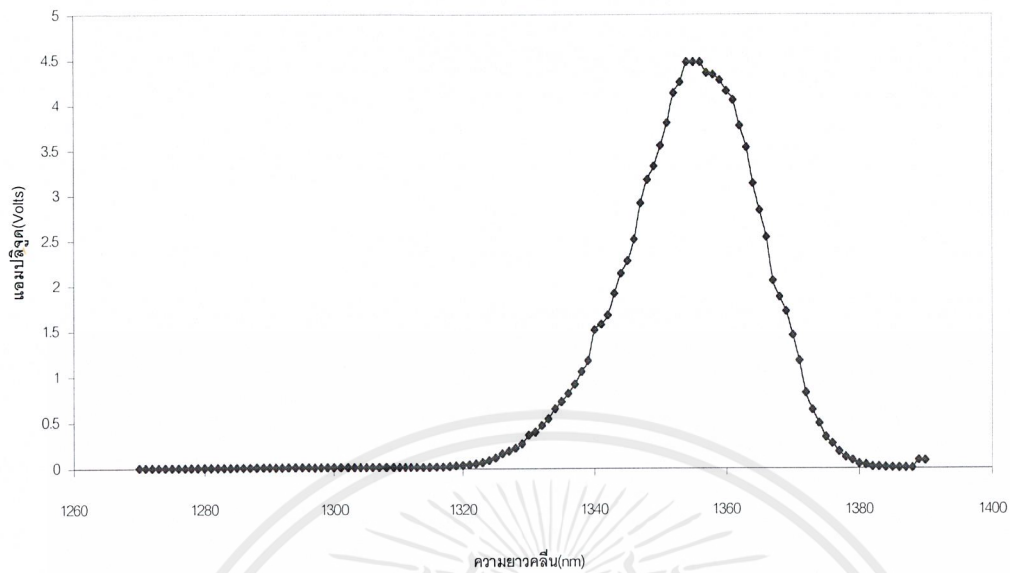
กราฟความเข้มแสงกับความยาวคลื่นต่างๆที่อุณหภูมิ 30 องศาเซลเซียส



รูปกราฟที่ 4.2 กราฟความยาวคลื่นกับความเข้มแสงที่อุณหภูมิ 30 องศาเซลเซียสครั้งที่ 1
ค่าความยาวคลื่นกลางอยู่ที่ 1350 -1352 นาโนเมตร

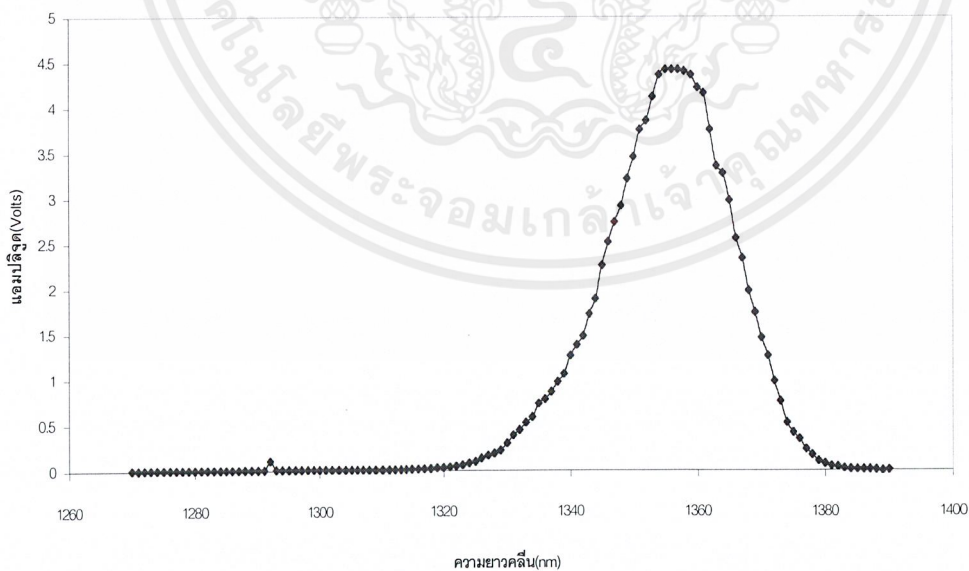
เอกสารนี้เป็นเอกสารที่สงวนไว้สำหรับการใช้งานเพื่อการศึกษาเท่านั้น ไม่อนุญาตให้นำไปใช้ประโยชน์ด้านการค้า
ไม่ว่ากรณีใดๆ ทั้งสิ้น อีกทั้งห้ามมิให้ดัดแปลงเนื้อหาและต้องอ้างอิงถึงเจ้าของเอกสารทุกครั้งที่มีการนำไปใช้

กราฟความยาวคลื่นกับความเข้มแสงที่อุณหภูมิ 40 องศาเซลเซียส



รูปกราฟที่ 4.3 กราฟความยาวคลื่นกับความเข้มแสงที่อุณหภูมิ 40 องศาเซลเซียสครั้งที่ 1
ค่าความยาวคลื่นกลางอยู่ที่ 1354 -1356 นาโนเมตร

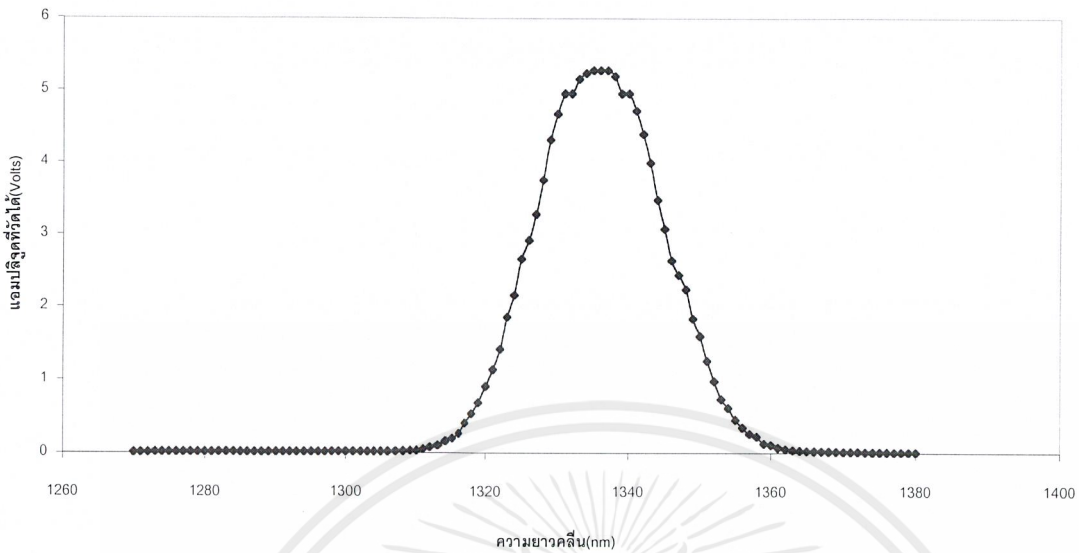
กราฟความยาวคลื่นกับความเข้มแสงที่อุณหภูมิ 50 องศาเซลเซียส



รูปกราฟที่ 4.4 กราฟความยาวคลื่นกับความเข้มแสงที่อุณหภูมิ 50 องศาเซลเซียสครั้งที่ 1
ค่าความยาวคลื่นกลางอยู่ที่ 1356 -1358 นาโนเมตร

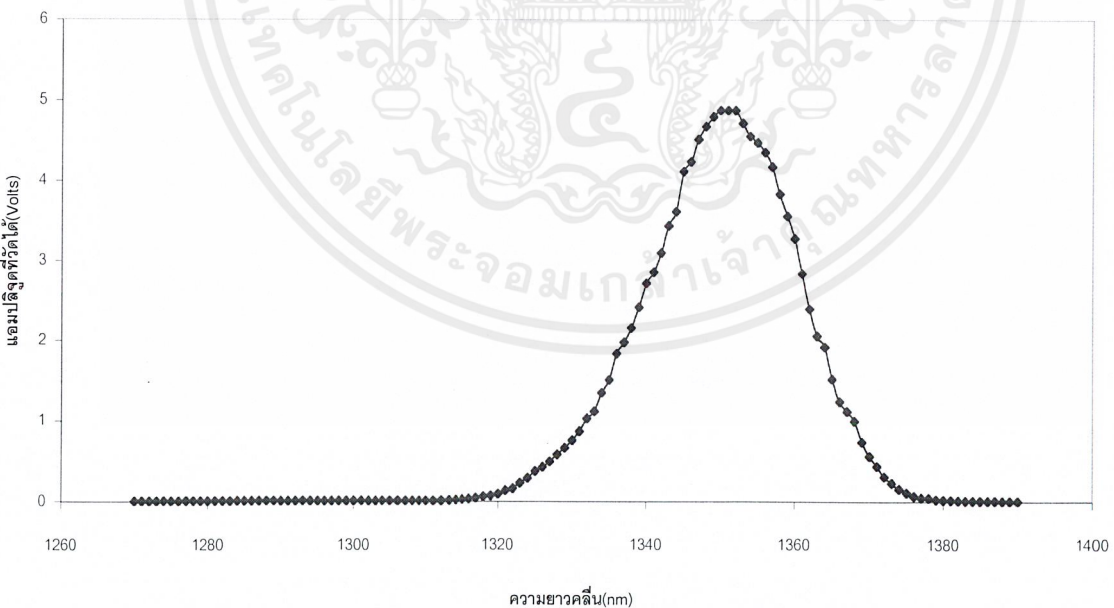
เอกสารนี้เป็นเอกสารที่สงวนไว้สำหรับการใช้งานเพื่อการศึกษาเท่านั้น ไม่อนุญาตให้นำไปใช้ประโยชน์ด้านการค้า
ไม่ว่ากรณีใดๆ ทั้งสิ้น อีกทั้งห้ามมิให้ดัดแปลงเนื้อหาและต้องอ้างอิงถึงเจ้าของเอกสารทุกครั้งที่มีการนำไปใช้

กราฟความยาวคลื่นกับความเข้มแสงที่อุณหภูมิ 25 องศาเซลเซียส



กราฟที่ 4.5 กราฟความเข้มแสงกับความยาวคลื่นต่างๆที่อุณหภูมิ 25 องศาเซลเซียสครั้งที่ 2 ค่าความยาวคลื่นกลางอยู่ที่ 1334 -1336 นาโนเมตร

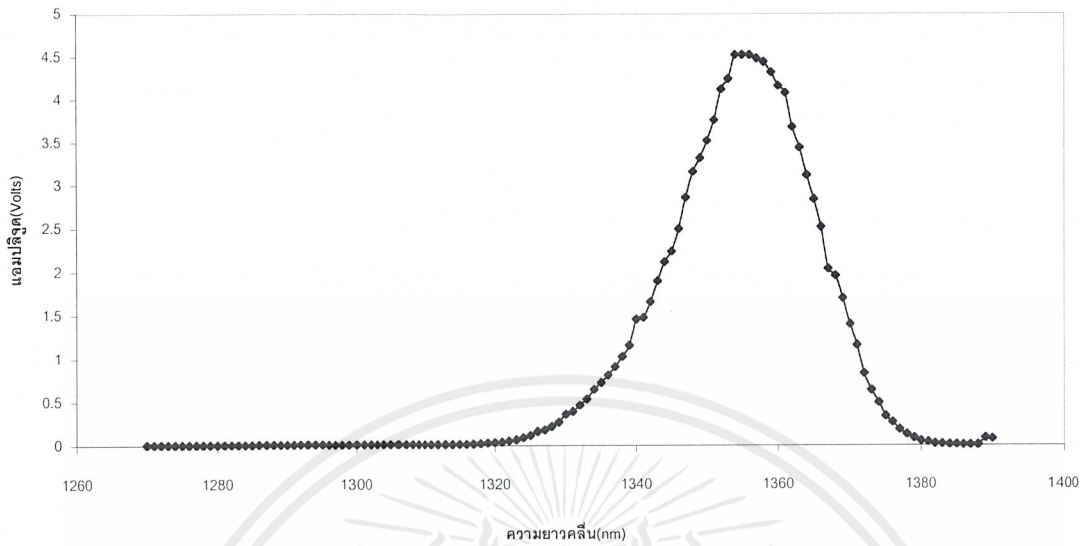
กราฟความเข้มแสงกับความยาวคลื่นต่างๆที่อุณหภูมิ 30 องศาเซลเซียส



กราฟที่ 4.6 กราฟความเข้มแสงกับความยาวคลื่นต่างๆที่อุณหภูมิ 30 องศาเซลเซียสครั้งที่ 2 ค่าความยาวคลื่นกลางอยู่ที่ 1349 -1351 นาโนเมตร

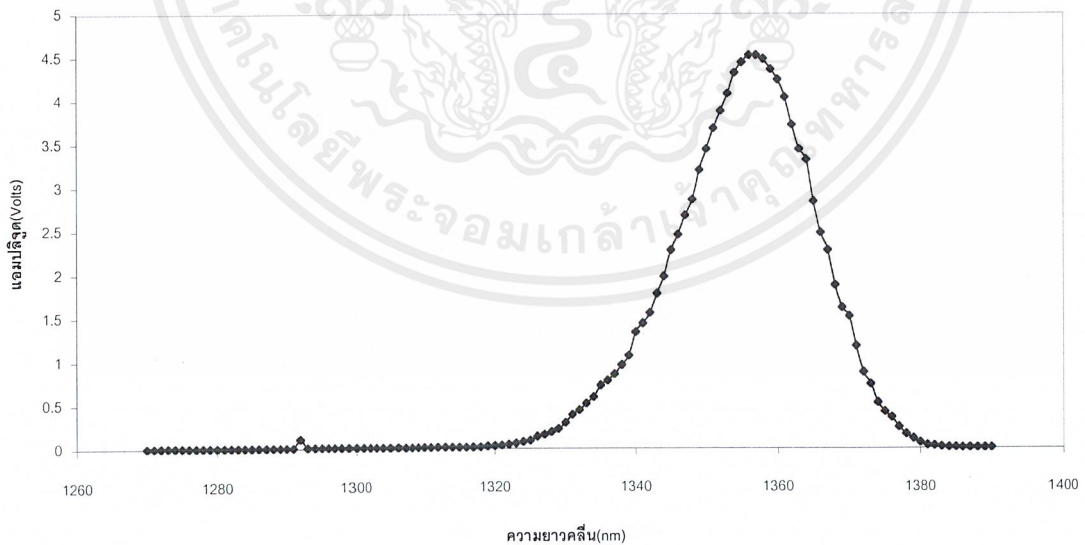
เอกสารนี้เป็นเอกสารที่สงวนไว้สำหรับการใช้งานเพื่อการศึกษาเท่านั้น ไม่อนุญาตให้นำไปใช้ประโยชน์ด้านการค้า ไม่ว่าจะกรณีใดๆ ทั้งสิ้น อีกทั้งห้ามมิให้ดัดแปลงเนื้อหาและต้องอ้างอิงถึงเจ้าของเอกสารทุกครั้งที่มีการนำไปใช้

กราฟความยาวคลื่นกับความเข้มแสงที่อุณหภูมิ 40 องศาเซลเซียส



กราฟที่ 4.7 กราฟความเข้มแสงกับความยาวคลื่นต่างๆที่อุณหภูมิ 40 องศาเซลเซียสครั้งที่ 2 ค่าความยาวคลื่นกลางอยู่ที่ 1354-1356 นาโนเมตร

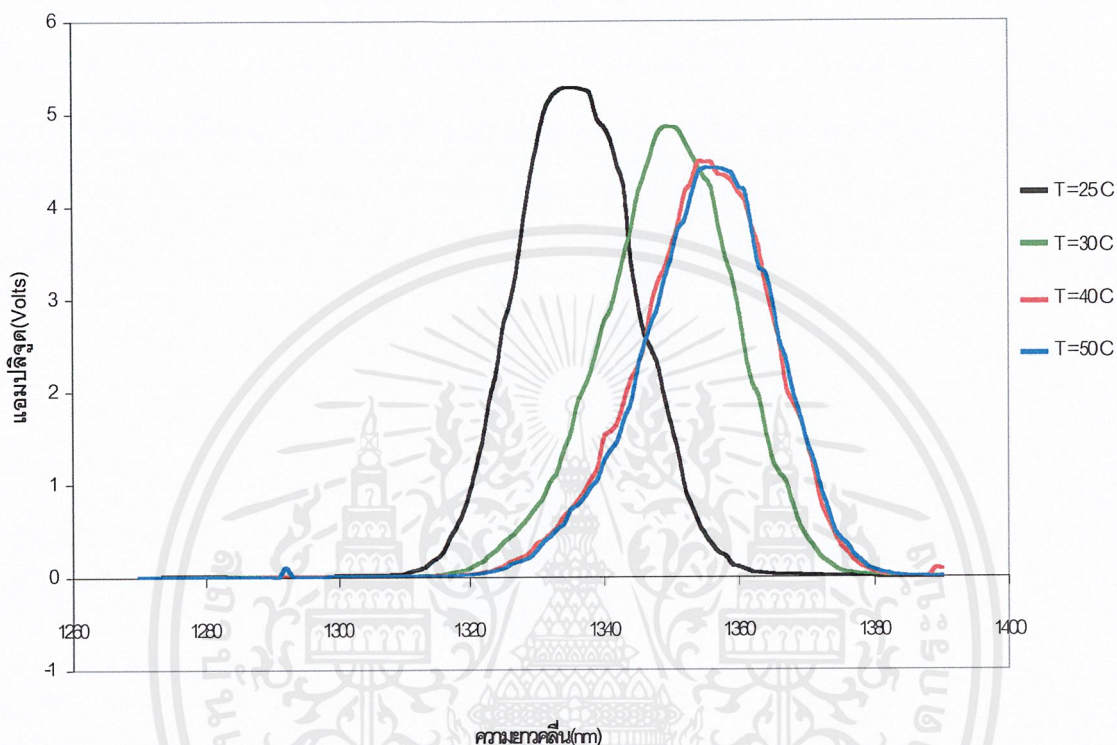
กราฟความยาวคลื่นกับความเข้มแสงที่อุณหภูมิ 50 องศาเซลเซียส



กราฟที่ 4.8 กราฟความเข้มแสงกับความยาวคลื่นต่างๆที่อุณหภูมิ 50 องศาเซลเซียสครั้งที่ 2 ค่าความยาวคลื่นกลางอยู่ที่ 1355-1357 นาโนเมตร

เอกสารนี้เป็นเอกสารที่สงวนไว้สำหรับการใช้งานเพื่อการศึกษาเท่านั้น ไม่อนุญาตให้นำไปใช้ประโยชน์ด้านการค้า ไม่ว่าจะกรณีใดๆ ทั้งสิ้น อีกทั้งห้ามมิให้ดัดแปลงเนื้อหาและต้องอ้างอิงถึงเจ้าของเอกสารทุกครั้งที่มีการนำไปใช้

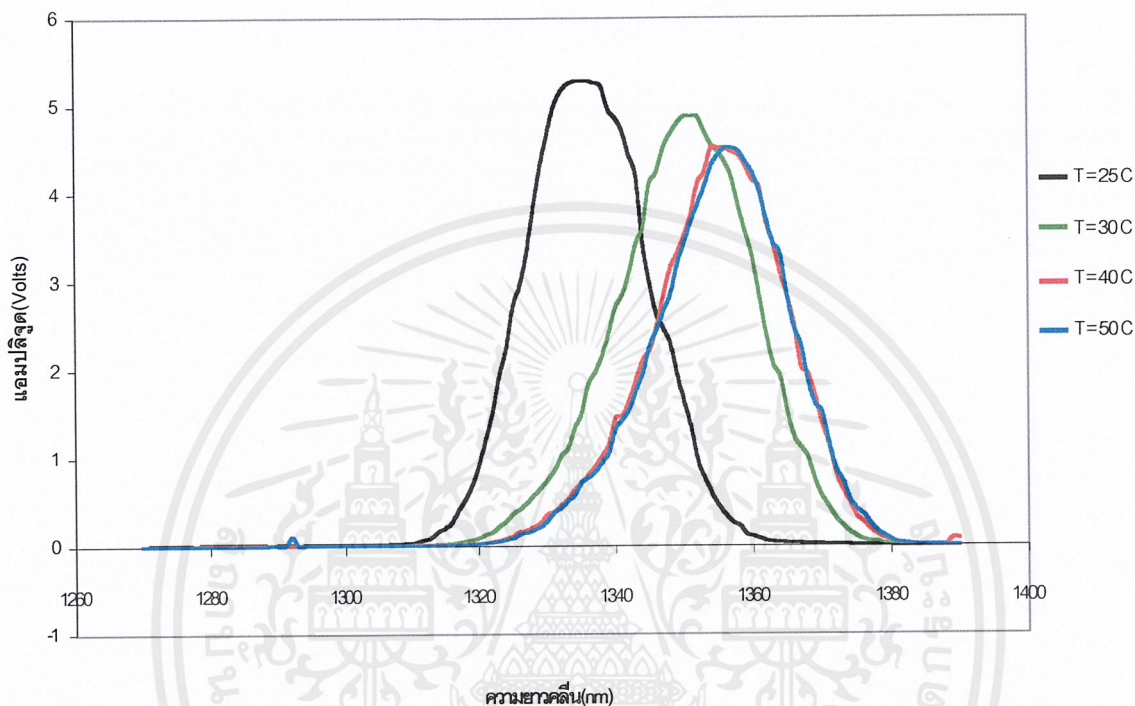
กราฟความยาวคลื่นกับความเข้มแสงที่อุณหภูมิต่างๆ



กราฟที่ 4.9 กราฟแสดงแอมพลิจูดของแสงที่ความยาวคลื่นต่างๆ ที่ 25,30,40 และ 50 องศาเซลเซียสครั้งที่ 1

โดย กราฟเส้นสีดำเป็นผลที่อุณหภูมิ 25 องศาเซลเซียส มีค่าความยาวคลื่นกลางที่ 1336 นาโนเมตร
 กราฟเส้นสีเขียวเป็นผลที่อุณหภูมิ 30 องศาเซลเซียส มีค่าความยาวคลื่นกลางที่ 1351 นาโนเมตร
 กราฟเส้นสีแดงเป็นผลที่อุณหภูมิ 40 องศาเซลเซียส มีค่าความยาวคลื่นกลางที่ 1355 นาโนเมตร
 กราฟเส้นสีน้ำเงินเป็นผลที่อุณหภูมิ 50 องศาเซลเซียส มีค่าความยาวคลื่นกลางที่ 1357 นาโนเมตร

กราฟความยาวคลื่นกับความเข้มแสงที่อุณหภูมิต่างๆ



กราฟที่ 4.10 กราฟแสดงแอมพลิจูดของแสงที่ความยาวคลื่นต่างๆ ที่ 25,30,40 และ 50 องศาเซลเซียสครั้งที่ 2

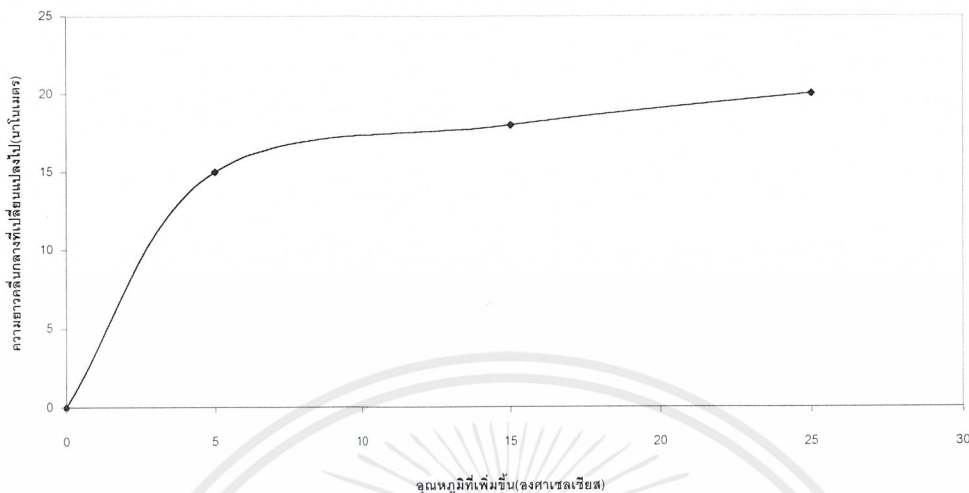
โดย กราฟเส้นสีดำเป็นผลที่อุณหภูมิ 25 องศาเซลเซียส มีค่าความยาวคลื่นกลางที่ 1335 นาโนเมตร

กราฟเส้นสีเขียวเป็นผลที่อุณหภูมิ 30 องศาเซลเซียส มีค่าความยาวคลื่นกลางที่ 1350 นาโนเมตร

กราฟเส้นสีแดงเป็นผลที่อุณหภูมิ 40 องศาเซลเซียส มีค่าความยาวคลื่นกลางที่ 1355 นาโนเมตร

กราฟเส้นสีน้ำเงินเป็นผลที่อุณหภูมิ 50 องศาเซลเซียส มีค่าความยาวคลื่นกลางที่ 1356 นาโนเมตร

กราฟระหว่างความยาวคลื่นกลางที่เปลี่ยนแปลงไปกับอุณหภูมิที่เพิ่มขึ้น



กราฟระหว่างความยาวคลื่นกลางที่เปลี่ยนแปลงไปกับอุณหภูมิที่เพิ่มขึ้น

ความชันของกราฟคือค่าการตอบสนองต่ออุณหภูมิ (sensitivity) ในช่วงอุณหภูมิเพิ่มขึ้นตั้งแต่ 0-5 องศาเซลเซียสจะมีการเปลี่ยนแปลงของความยาวคลื่นกลางมาก มีค่าการตอบสนองต่ออุณหภูมิ (sensitivity) เท่ากับ 3 นาโนเมตร/องศาเซลเซียส หลังจากนั้นในช่วงอุณหภูมิเพิ่มขึ้นตั้งแต่ 5-25 องศาเซลเซียสจะมีค่าการตอบสนองต่ออุณหภูมิ (sensitivity) เป็นแบบเชิงเส้นอย่างต่อเนื่อง เท่ากับ 0.25 นาโนเมตร/องศาเซลเซียส

4.2 วิจัยรณ

จากผลการทดลองและการวิเคราะห์จากกราฟจะเห็นว่าเมื่อเพิ่มอุณหภูมิมากขึ้นค่าความยาวคลื่นกลางที่ผ่านจากเกรตติงโดยแก้วนำแสงจะมีค่าสูงขึ้นตามไปด้วย ซึ่งจากค่าผลของอุณหภูมิที่เพิ่มขึ้นทำให้ค่าของความยาวคลื่นแบรกกนั้นเพิ่มขึ้นด้วยตามสมการ

$$\Delta\lambda_B = \lambda_B (\alpha + \zeta) \Delta T$$

และเมื่อความยาวคลื่นแบรกกมีค่าเปลี่ยนแปลงทำให้ค่าความยาวคลื่นที่ทะลุผ่าน λ_T มีค่าเปลี่ยนแปลงด้วยตามความสัมพันธ์

$$\lambda_T = \lambda - \lambda_B$$

ซึ่งค่าความยาวคลื่นกลางเปลี่ยนแปลงอย่างชัดเจนในการเพิ่มอุณหภูมิใดๆ จาก 25 เป็น 30 องศาเซลเซียส และเปลี่ยนแปลงน้อยลงในช่วงการเพิ่มอุณหภูมิหลังๆ เพิ่มอุณหภูมิเป็น 40 และ 50 องศาเซลเซียส ความยาวคลื่นกลางสามารถเปลี่ยนไปได้ 15-20 นาโนเมตร จากการเพิ่มอุณหภูมิ 5-25 องศาเซลเซียส และค่าแวนโงีม์แอมพลิจูดที่ความยาวคลื่นกลางมีค่าลดลงเมื่อความยาวคลื่นกลางเพิ่มมากขึ้น ซึ่งจะเห็นได้จากค่าการตอบสนองต่ออุณหภูมิ (sensitivity) ในช่วงต้นที่เพิ่มอุณหภูมิจาก 25 เป็น 30 องศาเซลเซียสมีค่าการตอบสนองต่ออุณหภูมิ (sensitivity) เท่ากับ 3 นาโนเมตร/องศาเซลเซียส และจะมีค่าการตอบสนองต่ออุณหภูมิ (sensitivity) เป็นเชิงเส้นอย่างต่อเนื่องในช่วงการเพิ่มอุณหภูมิตั้งแต่ 30 เป็น 40 และ 50 องศาเซลเซียสมีค่าการตอบสนองต่ออุณหภูมิ (sensitivity) เท่ากับ 0.25 นาโนเมตร/องศาเซลเซียส

บทที่ 5

สรุปผลการวิจัยและข้อเสนอแนะ

5.1 สรุปผลการวิจัย

จากการเพิ่มอุณหภูมิมีผลทำให้ค่าความยาวคลื่นแบรค(λ_B)ของเกรตติงใยแก้วนำแสงมีค่าเพิ่มขึ้นตามสมการ

$$\Delta\lambda_B = \lambda_B (\alpha + \zeta) \Delta T$$

ซึ่งมีผลทำให้ค่าความยาวคลื่นที่ทะลุผ่าน(λ_T) เปลี่ยนแปลงไปด้วยตามความสัมพันธ์

$$\lambda_T = \lambda - \lambda_B$$

อุณหภูมิที่เพิ่มขึ้น 5-25 องศาเซลเซียสจากอุณหภูมิที่เกรตติงใยแก้วนำแสงทำงานปกติ (ประมาณ 25 องศาเซลเซียส) สามารถทำให้ความยาวคลื่นกลางที่ทะลุผ่านจากเกรตติงใยแก้วนำแสงเพิ่มขึ้นจากอุณหภูมิทำงานปกติ 15-20 นาโนเมตร ซึ่งยังคงให้ค่าแอมพลิจูดที่ความถี่กลางได้ใกล้เคียงกับอุณหภูมิปกติ และสามารถประยุกต์ใช้ในช่วงความยาวคลื่นที่กว้างกว่าการใช้สัญญาณที่สะท้อนจากเกรตติงใยแก้วนำแสง ซึ่งจะใช้งานได้ในช่วงความยาวคลื่นใกล้เคียงกับความยาวคลื่นแบรคของเกรตติงใยแก้วนำแสง ทั้งยังมีจุดการเชื่อมต่อน้อยทำให้เกิดการสูญเสียของสัญญาณต่ำ

5.2 ข้อเสนอแนะ

- ในการทดลองไม่ควรปรับเปลี่ยนตำแหน่งของอุปกรณ์ที่ใช้ในการทดลองเนื่องจากจะมีผลต่อผลการทดลองที่ได้
- ควรจัดสถานะในการทดลองให้เหมือนเดิมทุกครั้ง เช่น ปิดม่าน ปิดไฟ เปิดเครื่องปรับอากาศที่อุณหภูมิเดียวกันทุกครั้ง
- ในการทดลองต้องระมัดระวังเป็นพิเศษเนื่องจากอุปกรณ์ที่ใช้แตกหักได้ง่ายและมีราคาสูง

5.3 แนวทางในการพัฒนา

ในการประยุกต์ใช้เกรตติงใยแก้วนำแสงในการเปลี่ยนความยาวคลื่นสามารถเลือกได้ทั้งสัญญาณที่ทะลุผ่านและสะท้อนกลับ ซึ่งหากใช้สัญญาณจากการทะลุผ่านและให้ความร้อนเช่นเดียวกับโครงการพิเศษนี้หากเพิ่มอุณหภูมิมากขึ้นแนวโน้มที่แอมพลิจูดที่ความยาวคลื่นกลางจะมีค่าลดลงโดยการนำไปใช้งานต้องตรวจสอบแอมพลิจูดว่าสูงเพียงพอต่อการนำไปใช้งานหรือไม่และควรเลือกเกรตติงใยแก้วนำแสงที่ทำจากวัสดุที่มีการนำความร้อนได้ดีและทนความร้อนได้สูงอีกแนวทางคือการใช้สัญญาณจากการสะท้อนซึ่งมีข้อดีที่ตัวส่งสัญญาณกับตัวรับสัญญาณนั้นอยู่ทางด้านเดียวกันเหมาะสม

กับการใช้งานที่ต้องใช้งานระยะไกลและค่าที่วัดได้จะวัดได้เป็นเชิงเส้นควรเลือกเกรตติงโยแก้วนำแสง ที่มีค่าการสะท้อนสูงๆ เพื่อให้มีค่าการสูญเสียของสัญญาณน้อยลง อาจพัฒนาไปใช้เป็นเซนเซอร์ อุณหภูมิได้อีกด้วย

5.4 ประโยชน์ที่ได้จากงานวิจัย

- สามารถนำไปใช้เปลี่ยนความยาวคลื่นแสงของแหล่งกำเนิดให้สามารถใช้เป็นแหล่งกำเนิดใหม่เพื่อใช้ประโยชน์ในด้านต่างๆ ทั้งทางด้านการศึกษาวิจัยและการสื่อสารทางแสง
- สามารถนำไปประยุกต์ใช้เป็นเซนเซอร์อุณหภูมิ



เอกสารนี้เป็นเอกสารที่สงวนไว้สำหรับการใช้งานเพื่อการศึกษาเท่านั้น ไม่อนุญาตให้นำไปใช้ประโยชน์ด้านการค้า ไม่ว่าจะกรณีใดๆ ทั้งสิ้น อีกทั้งห้ามมิให้ดัดแปลงเนื้อหาและต้องอ้างอิงถึงเจ้าของเอกสารทุกครั้งที่มีการนำไปใช้

ภาคผนวก



เอกสารนี้เป็นเอกสารที่สงวนไว้สำหรับการใช้งานเพื่อการศึกษาเท่านั้น ไม่อนุญาตให้นำไปใช้ประโยชน์ด้านการค้า
ไม่ว่ากรณีใดๆ ทั้งสิ้น อีกทั้งห้ามมิให้ดัดแปลงเนื้อหาและต้องอ้างอิงถึงเจ้าของเอกสารทุกครั้งที่มีการนำไปใช้

ตารางผลการทดลองที่ 4.1 แสดงค่าแอมพลิจูดที่ความยาวคลื่นต่างๆของอนุกรมมิต่างๆ ครั้งที่ 1

ความยาวคลื่น (nm)	แอมพลิจูด(Volts)ที่อนุกรมมิติ (องศาเซลเซียส)			
	25	30	40	50
1270	0.0112	0.0078	0.0076	0.007
1271	0.0128	0.008	0.0078	0.0074
1272	0.0132	0.008	0.0078	0.0078
1273	0.0144	0.0086	0.0076	0.008
1274	0.0156	0.0094	0.0082	0.0082
1275	0.016	0.0084	0.0084	0.0086
1276	0.0172	0.0088	0.0086	0.0082
1277	0.0172	0.0104	0.0086	0.0084
1278	0.018	0.0122	0.0094	0.0088
1279	0.018	0.0106	0.0106	0.009
1280	0.0186	0.0112	0.0108	0.0086
1281	0.0192	0.0118	0.0112	0.0084
1282	0.0196	0.0118	0.011	0.0086
1283	0.0196	0.0132	0.0116	0.009
1284	0.0194	0.015	0.0114	0.0088
1285	0.0178	0.0156	0.0116	0.0092
1286	0.018	0.0156	0.0122	0.0088
1287	0.018	0.0162	0.0134	0.0096
1288	0.0172	0.0174	0.0146	0.0104
1289	0.018	0.0176	0.0148	0.0106
1290	0.018	0.0166	0.015	0.0106
1291	0.0184	0.016	0.0152	0.011
1292	0.0188	0.0162	0.0164	0.114
1293	0.019	0.0176	0.0162	0.0128
1294	0.019	0.0164	0.0162	0.0132
1295	0.019	0.016	0.0164	0.0136
1296	0.0192	0.0154	0.016	0.0138
1297	0.0192	0.016	0.0158	0.0136
1298	0.0196	0.016	0.0158	0.014
1299	0.0198	0.0162	0.016	0.015

เอกสารนี้เป็นเอกสารที่สงวนไว้สำหรับการใช้งานเพื่อการศึกษาเท่านั้น ไม่อนุญาตให้นำไปใช้ประโยชน์ด้านการค้า
ไม่ว่ากรณีใดๆ ทั้งสิ้น อีกทั้งห้ามมิให้ดัดแปลงเนื้อหาและต้องอ้างอิงถึงเจ้าของเอกสารทุกครั้งที่มีการนำไปใช้

ความยาวคลื่น (nm)	แอมพลิจูด(Volts)ที่อุณหภูมิ (องศาเซลเซียส)			
	25	30	40	50
1300	0.02	0.0166	0.0162	0.0152
1301	0.0204	0.0168	0.0162	0.0156
1302	0.0208	0.0166	0.0164	0.0154
1303	0.0212	0.0166	0.0164	0.0148
1304	0.0224	0.0168	0.0166	0.0152
1305	0.0228	0.0168	0.0166	0.0156
1306	0.0236	0.017	0.0168	0.0162
1307	0.026	0.0172	0.017	0.0156
1308	0.0284	0.0172	0.017	0.0152
1309	0.0328	0.017	0.0172	0.0154
1310	0.0364	0.0182	0.0174	0.016
1311	0.056	0.019	0.0178	0.016
1312	0.0816	0.0208	0.0182	0.0162
1313	0.106	0.0236	0.0188	0.0162
1314	0.164	0.0272	0.0194	0.0164
1315	0.202	0.0316	0.0204	0.0168
1316	0.266	0.036	0.0224	0.0178
1317	0.412	0.0496	0.0244	0.0202
1318	0.54	0.064	0.0278	0.0222
1319	0.692	0.0776	0.0356	0.0308
1320	0.912	0.0984	0.0396	0.0336
1321	1.14	0.138	0.0444	0.0408
1322	1.42	0.164	0.0568	0.0492
1323	1.86	0.234	0.0696	0.0632
1324	2.16	0.292	0.0936	0.0824
1325	2.66	0.378	0.119	0.096
1326	2.92	0.428	0.168	0.142
1327	3.28	0.496	0.184	0.16
1328	3.76	0.584	0.222	0.192
1329	4.32	0.664	0.272	0.226
1330	4.68	0.76	0.364	0.298

เอกสารนี้เป็นเอกสารที่สงวนไว้สำหรับการใช้งานเพื่อการศึกษาเท่านั้น ไม่อนุญาตให้นำไปใช้ประโยชน์ด้านการค้า
ไม่ว่ากรณีใดๆ ทั้งสิ้น อีกทั้งห้ามมิให้ดัดแปลงเนื้อหาและต้องอ้างอิงถึงเจ้าของเอกสารทุกครั้งที่มีการนำไปใช้

ความยาวคลื่น (nm)	แอมพลิจูด(Volts)ที่อุณหภูมิ (องศาเซลเซียส)			
	25	30	40	50
1331	4.96	0.872	0.396	0.392
1332	4.96	1.03	0.468	0.444
1333	5.16	1.12	0.54	0.52
1334	5.24	1.35	0.648	0.592
1335	5.28	1.51	0.728	0.728
1336	5.28	1.84	0.816	0.784
1337	5.28	1.98	0.912	0.856
1338	5.2	2.16	1.03	0.96
1339	4.96	2.42	1.16	1.07
1340	4.96	2.72	1.46	1.34
1341	4.72	2.86	1.48	1.44
1342	4.4	3.1	1.66	1.56
1343	4	3.44	1.9	1.78
1344	3.48	3.62	2.12	1.98
1345	3.08	4.12	2.24	2.28
1346	2.64	4.24	2.5	2.46
1347	2.44	4.52	2.86	2.68
1348	2.24	4.68	3.16	2.86
1349	1.84	4.8	3.32	3.2
1350	1.6	4.88	3.52	3.44
1351	1.26	4.88	3.76	3.68
1352	0.98	4.88	4.12	3.88
1353	0.74	4.72	4.24	4.08
1354	0.62	4.56	4.52	4.32
1355	0.456	4.48	4.52	4.44
1356	0.352	4.36	4.52	4.52
1357	0.264	4.18	4.48	4.52
1358	0.228	3.84	4.44	4.48
1359	0.132	3.56	4.32	4.36
1360	0.114	3.28	4.16	4.24

เอกสารนี้เป็นเอกสารที่สงวนไว้สำหรับการใช้งานเพื่อการศึกษาเท่านั้น ไม่อนุญาตให้นำไปใช้ประโยชน์ด้านการค้า
ไม่ว่ากรณีใดๆ ทั้งสิ้น อีกทั้งห้ามมิให้ดัดแปลงเนื้อหาและต้องอ้างอิงถึงเจ้าของเอกสารทุกครั้งที่มีการนำไปใช้

ความยาวคลื่น (nm)	แอมพลิจูด(Volts)ที่อุณหภูมิ (องศาเซลเซียส)			
	25	30	40	50
1361	0.078	2.84	4.08	4.04
1362	0.056	2.4	3.68	3.72
1363	0.0448	2.06	3.44	3.44
1364	0.0352	1.92	3.12	3.32
1365	0.032	1.52	2.84	2.84
1366	0.0272	1.24	2.52	2.48
1367	0.0248	1.12	2.04	2.28
1368	0.0224	1	1.96	1.88
1369	0.02	0.74	1.7	1.62
1370	0.0176	0.562	1.4	1.52
1371	0.016	0.44	1.16	1.18
1372	0.016	0.312	0.832	0.88
1373	0.0136	0.232	0.64	0.74
1374	0.0112	0.16	0.496	0.528
1375	0.0096	0.112	0.34	0.424
1376	0.0096	0.072	0.272	0.36
1377	0.008	0.052	0.188	0.248
1378	0.0076	0.048	0.132	0.168
1379	0.0076	0.028	0.09	0.116
1380	0.007	0.022	0.054	0.068
1381	-	0.0208	0.042	0.0384
1382	-	0.0144	0.0228	0.0328
1383	-	0.0136	0.0208	0.021
1384	-	0.0128	0.0152	0.0134
1385	-	0.012	0.0118	0.012
1386	-	0.0108	0.0108	0.0116
1387	-	0.0096	0.0102	0.0112
1388	-	0.0086	0.0094	0.01
1389	-	0.0082	0.09	0.0096
1390	-	0.008	0.082	0.0088

เอกสารนี้เป็นเอกสารที่สงวนไว้สำหรับการใช้งานเพื่อการศึกษาเท่านั้น ไม่อนุญาตให้นำไปใช้ประโยชน์ด้านการค้า
ไม่ว่ากรณีใดๆ ทั้งสิ้น อีกทั้งห้ามมิให้ดัดแปลงเนื้อหาและต้องอ้างอิงถึงเจ้าของเอกสารทุกครั้งที่มีการนำไปใช้

ตารางผลการทดลองที่ 4.2 แสดงค่าแอมพลิจูดที่ความยาวคลื่นต่างๆของอนุกรมมิต่างๆ ครั้งที่ 2

ความยาวคลื่น (nm)	แอมพลิจูด(Volts)ที่อนุกรมมิ (องศาเซกเซียส)			
	25	30	40	50
1270	0.0098	0.008	0.0078	0.0076
1271	0.0114	0.008	0.0076	0.0074
1272	0.0126	0.0082	0.0076	0.0076
1273	0.0142	0.0088	0.0078	0.0078
1274	0.0148	0.0084	0.008	0.0082
1275	0.0158	0.0086	0.0082	0.0082
1276	0.017	0.0092	0.0084	0.0084
1277	0.0172	0.0104	0.0088	0.008
1278	0.0172	0.0108	0.0098	0.0086
1279	0.0176	0.0108	0.0112	0.0088
1280	0.0182	0.011	0.0114	0.0086
1281	0.019	0.0112	0.011	0.0082
1282	0.0194	0.0122	0.0112	0.0084
1283	0.0192	0.0136	0.0114	0.0088
1284	0.0184	0.0148	0.0116	0.0086
1285	0.0178	0.0154	0.0118	0.009
1286	0.018	0.0158	0.0124	0.0088
1287	0.0182	0.0164	0.0138	0.0094
1288	0.0176	0.0166	0.0144	0.0102
1289	0.0184	0.0168	0.0148	0.0104
1290	0.0186	0.0166	0.0152	0.0104
1291	0.0188	0.0162	0.0156	0.0108
1292	0.019	0.0166	0.016	0.112
1293	0.0192	0.0168	0.0162	0.0126
1294	0.0192	0.0164	0.0164	0.013
1295	0.0192	0.0162	0.0162	0.0132
1296	0.0194	0.0164	0.0162	0.0136
1297	0.0196	0.0164	0.016	0.0138
1298	0.0198	0.0164	0.0162	0.0144
1299	0.0198	0.0166	0.0164	0.0152

เอกสารนี้เป็นเอกสารที่สงวนไว้สำหรับการใช้งานเพื่อการศึกษาเท่านั้น ไม่อนุญาตให้นำไปใช้ประโยชน์ด้านการค้า
ไม่ว่ากรณีใดๆ ทั้งสิ้น อีกทั้งห้ามมิให้ดัดแปลงเนื้อหาและต้องอ้างอิงถึงเจ้าของเอกสารทุกครั้งที่มีการนำไปใช้

ความยาวคลื่น (nm)	แอมพลิจูด(Volts)ที่อุณหภูมิต่ำ (องศาเซลเซียส)			
	25	30	40	50
1300	0.0202	0.0166	0.0166	0.0154
1301	0.0204	0.0168	0.0164	0.0152
1302	0.0208	0.0166	0.0162	0.015
1303	0.0214	0.0168	0.0162	0.015
1304	0.0228	0.0168	0.0164	0.0152
1305	0.0228	0.017	0.0166	0.0154
1306	0.0238	0.0172	0.0168	0.015
1307	0.0264	0.0172	0.017	0.0154
1308	0.0288	0.0174	0.0172	0.0156
1309	0.0332	0.0176	0.0172	0.0152
1310	0.0368	0.0182	0.0176	0.0162
1311	0.0662	0.0188	0.0178	0.0162
1312	0.0822	0.0206	0.0184	0.0162
1313	0.114	0.0242	0.019	0.0164
1314	0.172	0.0278	0.0198	0.0166
1315	0.208	0.0322	0.0212	0.0168
1316	0.274	0.0364	0.0228	0.0182
1317	0.418	0.0512	0.0246	0.0212
1318	0.544	0.0644	0.028	0.0228
1319	0.702	0.0786	0.0362	0.0314
1320	0.932	0.0994	0.0398	0.0336
1321	1.22	0.144	0.0452	0.0404
1322	1.52	0.178	0.0572	0.0512
1323	1.94	0.244	0.0698	0.0636
1324	2.24	0.298	0.0942	0.0832
1325	2.72	0.382	0.122	0.0974
1326	2.96	0.434	0.168	0.138
1327	3.32	0.506	0.194	0.166
1328	3.84	0.586	0.226	0.19
1329	4.3	0.678	0.274	0.222
1330	4.66	0.772	0.368	0.302

เอกสารนี้เป็นเอกสารที่สงวนไว้สำหรับการใช้งานเพื่อการศึกษาเท่านั้น ไม่อนุญาตให้นำไปใช้ประโยชน์ด้านการค้า
ไม่ว่ากรณีใดๆ ทั้งสิ้น อีกทั้งห้ามมิให้ดัดแปลงเนื้อหาและต้องอ้างอิงถึงเจ้าของเอกสารทุกครั้งที่มีการนำไปใช้

ความยาวคลื่น (nm)	แอมป์ลิจูด(Volts)ที่อุณหภูมิ (องศาเซลเซียส)			
	25	30	40	50
1331	4.98	0.876	0.402	0.388
1332	5.16	1.04	0.472	0.446
1333	5.24	1.14	0.545	0.524
1334	5.28	1.38	0.654	0.586
1335	5.28	1.56	0.732	0.734
1336	5.28	1.88	0.822	0.782
1337	5.26	2.04	0.922	0.862
1338	5.22	2.22	1.06	0.972
1339	4.96	2.48	1.18	1.06
1340	4.86	2.76	1.52	1.26
1341	4.72	2.9	1.58	1.38
1342	4.44	3.18	1.68	1.48
1343	4.2	3.48	1.92	1.72
1344	3.42	3.76	2.14	1.89
1345	2.96	4.12	2.28	2.26
1346	2.62	4.34	2.52	2.52
1347	2.46	4.56	2.92	2.74
1348	2.28	4.78	3.18	2.92
1349	1.92	4.86	3.33	3.22
1350	1.62	4.86	3.56	3.46
1351	1.32	4.84	3.81	3.76
1352	0.94	4.72	4.14	3.86
1353	0.76	4.58	4.26	4.12
1354	0.58	4.44	4.48	4.36
1355	0.448	4.32	4.48	4.42
1356	0.346	4.2	4.48	4.42
1357	0.264	3.82	4.36	4.42
1358	0.224	3.48	4.34	4.4
1359	0.128	3.24	4.28	4.36
1360	0.108	2.88	4.16	4.22

เอกสารนี้เป็นเอกสารที่สงวนไว้สำหรับการใช้งานเพื่อการศึกษาเท่านั้น ไม่อนุญาตให้นำไปใช้ประโยชน์ด้านการค้า
ไม่ว่ากรณีใดๆ ทั้งสิ้น อีกทั้งห้ามมิให้ดัดแปลงเนื้อหาและต้องอ้างอิงถึงเจ้าของเอกสารทุกครั้งที่มีการนำไปใช้

ความยาวคลื่น (nm)	แอมป์ลิจูด(Volts)ที่อุณหภูมิ (องศาเซลเซียส)			
	25	30	40	50
1361	0.078	2.42	4.06	4.16
1362	0.052	2.1	3.78	3.76
1363	0.0428	1.94	3.54	3.36
1364	0.0348	1.56	3.14	3.28
1365	0.0324	1.26	2.84	2.98
1366	0.0274	1.12	2.54	2.56
1367	0.0252	1.02	2.06	2.34
1368	0.0236	0.76	1.88	1.98
1369	0.0212	0.548	1.72	1.74
1370	0.0182	0.426	1.46	1.46
1371	0.017	0.328	1.18	1.26
1372	0.0164	0.226	0.828	0.98
1373	0.0142	0.168	0.642	0.76
1374	0.0116	0.11	0.494	0.524
1375	0.0098	0.068	0.344	0.418
1376	0.0092	0.054	0.276	0.348
1377	0.0084	0.046	0.186	0.236
1378	0.008	0.032	0.126	0.174
1379	0.0078	0.026	0.094	0.108
1380	0.0074	0.0212	0.054	0.076
1381	-	0.0206	0.0422	0.0522
1382	-	0.014	0.0224	0.0436
1383	-	0.0134	0.0212	0.0252
1384	-	0.0126	0.0152	0.0174
1385	-	0.0118	0.012	0.0144
1386	-	0.0108	0.0114	0.0124
1387	-	0.0098	0.0108	0.0118
1388	-	0.0088	0.0096	0.0112
1389	-	0.0084	0.094	0.00106
1390	-	0.008	0.088	0.0096

เอกสารนี้เป็นเอกสารที่สงวนไว้สำหรับการใช้งานเพื่อการศึกษาเท่านั้น ไม่อนุญาตให้นำไปใช้ประโยชน์ด้านการค้า
ไม่ว่ากรณีใดๆ ทั้งสิ้น อีกทั้งห้ามมิให้ดัดแปลงเนื้อหาและต้องอ้างอิงถึงเจ้าของเอกสารทุกครั้งที่มีการนำไปใช้

เอกสารอ้างอิง

- [1] ปรีชา ยูพาพิน, วิศวกรรมใยแก้วนำแสง, สมาคมส่งเสริมเทคโนโลยี(ไทย-ญี่ปุ่น), กรุงเทพฯ, 2544
- [2] ปรีชา ยูพาพิน, เครือข่ายใยแก้วนำแสง, สมาคมส่งเสริมเทคโนโลยี(ไทย-ญี่ปุ่น), กรุงเทพฯ, 2541
- [3] M. Mansuripur, Launching Light into a Fiber , Optics & Photonics NEWS, August, 2001:56-59
- [4] J.P. Laude, Wavelength Division Multiplexing, Prentice Hall, London, 1993.
- [5] R. Kashyap, Fiber Bragg Grating, Accademic Press, San Diego, 1999.
- [6] Jung, J. et al , Fiber Bragg Grating Temperature Sensors with controllable sensitivity. Appl. Opt., 38(13) , 1999, pp. 2752-2754.
- [7] Hill, K.O. and Meltz, G., Fiber Bragg Grating Technology Fundamentals and Overview. Journal of Lightwave Technology, 15(8), 1997, pp. 1263-1276

ประวัติผู้เขียน



1. นายทินกร นีวันติ เกิดเมื่อวันที่ 17 พฤษภาคม 2520 เวลา 17.05 น. เป็นบุตรชายคนแรกของตระกูล นีวันติ จากจำนวนพี่น้อง 2 คน บิดาชื่อนาย เจริญ นีวันติ และ มารดาชื่อนางจันทร์เพ็ญ นีวันติ พื้นฐานเดิมเป็นคนเมือง รถม้า เข้ารับการศึกษาระดับอนุบาล 1 จนกระทั่งถึง ประถมศึกษา 6 ที่โรงเรียนอนุบาลลำปาง จากนั้นได้ศึกษา ต่อในระดับมัธยมศึกษาปีที่ 1 ถึง มัธยมศึกษาปีที่ 6 ณ

โรงเรียนบุญวาทย์วิทยาลัยจังหวัดลำปาง จากนั้นได้เอ็นทรานเข้าในระดับอุดมศึกษาได้ที่คณะ วิศวกรรมศาสตร์ มหาวิทยาลัยเกษตรศาสตร์ แต่มีเหตุอันควรต้องออกจากการศึกษาในช่วงปีที่สอง ของการศึกษา จึงได้เบนเข็มมาเรียนทางด้านวิทยาศาสตร์ ด้านฟิสิกส์ประยุกต์ สาขาโซลิตสเตท อิเล็กทรอนิกส์ สถาบันเทคโนโลยีพระจอมเกล้าเจ้าคุณทหารลาดกระบัง ความตั้งใจเดิมเมื่อจบการ ศึกษาคือนำความรู้ที่ได้กลับไปพัฒนาภูมิลำเนาเกิด



2. นายอรรถสิทธิ์ ปิพาสันต์ เกิดเมื่อวันที่ 29 พฤศจิกายน 2522 เวลา 12.10 น. ณ คลินิกแพทย์หญิงฉลวย จ.จันทบุรี บิดาชื่อนายอนันต์ ปิพาสันต์ มารดาชื่อนางอนันต์ แก้ว ศรี ภูมิลำเนาอยู่ที่จังหวัดจันทบุรี เข้ารับการศึกษาดังแต่ ระดับอนุบาลจนจบมัธยมศึกษาตอนต้นที่โรงเรียนบ้าน เนินมะหาด จ.จันทบุรี จากนั้นได้เข้าศึกษาต่อจนจบระดับ มัธยมศึกษาตอนปลายที่โรงเรียนศรียานุสรณ์

จ.จันทบุรี ต่อจากนั้นได้เข้าศึกษาต่อระดับปริญญาตรีในคณะวิทยาศาสตร์ ภาควิชาฟิสิกส์ประยุกต์ สาขาโซลิตสเตทอิเล็กทรอนิกส์ สถาบันเทคโนโลยีพระจอมเกล้าเจ้าคุณทหารลาดกระบัง